

INSTITUTUL POLITEHNIC "TRAIAN VUIA" TIMIȘOARA

FACULTATEA MECANICA

CIRCUITARI PRIVIND RECRYSTALLIZAREA PRIMAĂ SI
SECUNDARĂ A OALJULUI SILICIOS CU GRAUMI
ORIENTAȚII PENTRU TRANSFORMATORI ELECTRICI

TEZA DE DOCTORAT

BIBLIOTeca CENTRALă
UNIVERSITATEA "POLITEHNICA"
TIMIȘOARA

INSTITUTUL POLITEHNIC TIMIȘOARA

3

Volumul

Dublu

504401

2c7 G

Conducător științific

Prof. dr. ing. N. Drăguțeloscu

Autor

ing. Constantinescu Sora

T I M I Ş O A R A

- 1985 -

"Un obiectiv important al întregii activități este realizarea unei noi calități a muncii și vieții, accentuarea și dezvoltarea pe o bază superioară, a succesiuniei tehnico-științifice în România. În acest cadră, cunoștințelor de știință, cercetării științifice și tehnologice le revin răspundări de mare importanță care necesită concentrarea tuturor forțelor de cercetare, înștiință și producție într-un tot unitar, în vederea realizării tuturor programelor din fizica domeniului de activitate."

NICOLAE CIOBĂNU

Feminind acestui lucru, modul unor munci îndelungate și exațante, în cadrul cărora nu se întâlnește sănătatea și înțelepciunea unei profesii precum cea de medic. În cadrul unei vizite la un medic, în urmă cu o lună, am întâlnit în spitalul din orașul Sighetu Marmației, în cadrul unei consultații de medicina generală, un bărbat de vîrstă medie, care avea o boala de durată, care îi dădea suferință și care era în stare de sănătate foarte slabă. În cadrul unei vizite la un medic, în urmă cu o lună, am întâlnit în spitalul din orașul Sighetu Marmației, în cadrul unei consultații de medicina generală, un bărbat de vîrstă medie, care avea o boală de durată, care îi dădea suferință și care era în stare de sănătate foarte slabă.

Cuprins

	Pag.
Introducere	1
1. Studiul actual al cercurilor și fabricației banișor din oțel ciliocic cu grăunți orientați pentru transformatori electrici.	5
1.1 Principiile metalurgice de fabricație a banișor din oțel ciliocic cu grăunți orientați.	10
1.2 Parametrii tehnologici folosiți la fabricarea banișor din oțel ciliocic cu grăunți orientați	17
1.3 Bazele teoretice ale formării texturii cristalografice la recristalizarea oțelului cu 3 % M	33
2. Material și metodologia de cercetare	32
2.1 Metodologia generală de cercetare	32
2.2 Simularca în laborator a regimurilor termice de recristalizare primară și secundară	34
2.3 Metodologia de determinare a texturii cristalografice prin difracție de raze X și din curba momentului magnetic .	54
2.4 Metodologia de analiză cu microscopul electronic a densității și repartiției precipitatelor inhibitoare de MnS.	64
2.5 Metodologia de analiză a procesului de recristalinizare primară prin microscopie electronică de transmisie pe folii subțiri.	70
3. Rezultatul obținut	
3.1 Studiul caracteristicilor structurale și cristalografice ale banișor lamineate la cald din oțel 3 % M.	77
3.2 Studiul caracteristicilor structurale și cristalografice ale banișor după lamineare la rece.	82
3.2.1 Determinarea texturii cristalografice.	82
3.2.2 Distribuția și densitatea precipitatelor inhibitoare de MnS.	85
3.2.3 Determinarea concordanții de dislocație și orientarea fragmentelor de grăunți prin microscopie electronică de transmisie.	93

3.3 Studiu prin microscopie electronică de transmisie a modificărilor substructurii în etapile recristalizării primare.	94
3.3.1 Formarea cristalilor de dialecată	94
3.3.2 Relaționarea, formarea și orientarea subgraniților.	95
3.3.3 Creșterea subgraniților, terminarea recristalizării primare.	100
3.4 Analiza prin microscopie optică a recristalizării secundare, cercetat cu analiza inhibitorului în fiecare etapă.	119
3.5 Determinarea modificărilor de textură în fazele recristalizării secundare.	125
3.6 Cercetarea caracteristicilor structurale și criostatografice ale bozniilor cu proprietăți magnetice și analizarea pe clase cu calitate a fabricației industriale.	128
4. Concluzii	137
5. Bibliografie	144

INTRODUCERE

Activitățea de cercetare și proiectare tehnologică sub îndrumarea tovarășului academician dr. ing. Elena Cozaneacu, ilostrată cu de știință, susținătoare de resurse naționale, cu politie, prim vicepreședinte al Consiliului de Miniștri, președintele - consiliului Național pentru Științe și Tehnologie, a cunoscut o creștere continuă privind numărul de abordare și nivelul de rezolvare a problemelor legate de dezvoltarea integrată a economiei naționale inclusiv a ramurii metalurgice.

Astăzi, după cîțiva ani de activitate încerută, metalurgia națională continuă să fie frântată cu probleme decocidit de serioase presiuni venințioare în producție și principalelor agregate și fluxuri tehnologice în condițiile în care "punctul echipajului" cuprinde încă anumite restricții și limite. Prognosete pentru anul 1985 și în continuare depinde de a fi optimizate astăzi mult "răsolvate" și tocmai de aceea, cercetarea și proiectarea tehnologică din metalurgie este obiectul - nu cît sublinia - tovarășul Nicelae Cozaneacu, secretarul general al Partidului la Pleiera Consiliului Suprem al Revoluției Naționale din decembrie 1983 - și mult ca oricând să găsească și cătă stabilisesc soluții, în principal pentru valorificarea complexă a băncii proprii de materii prime, creșterea productivității, creșterea calității și diversificarea gamelor lor pe care producătorul de obicei le adăugă consumatorilor și obținere pe acestă cale a competitivității în desfășurarea unor contracte de lungă durată.

Situația de mancare a metalurgiei naționale, a băncii sale energetice și de materii prime evidențiază că s-a făcut o linie și că metalurgia noastră, după unor o zileșirile luate de conducătorii partidului și statului nostru, industria metalurgică a cunoscut o continuă dezvoltare, iar prin programul de investiții în care se desfășoară alturi de creaerea unor noi obiective, astăzi la modernisările importante a unei fluxuri existente. În acest context de cercetări și preocupări, cercetarea, proiectarea tehnologică și învățămîntul superior metalurgie a fost extinsă și integrat în milioane și mai multe, sau chiar cu cît complexitatea și diversitatea problemelor care se cer și fi soluționate a crescut foarte mult.

Într-o problemă particulară ce se impun și fi rezolvate de industria metalurgică o pondere mare ocupă tabele silicioase necesare industriei electrotehnice, ramuri cu tradiție și în plin există în lumea noastră. Produsele de tablă silicioasă cu proprietăți competitive pe plan mondial condiționă astăzi obținerea de valori ale inductiei magnetice de ordinul $1,9 - 2,1$ și de pierderi magnetice de $0,4 \text{ W/kg}$. Obținerea unei asemenea valori pentru proprietățile fizice menționate este posibilă numai prin cunoașterea profundă a transformărilor structurale ce se produc pe parcursul procesului tehnologic de fabricație a tablei silicioase.

Numerose cercetări efectuate în acest domeniu au arătat că materialul considerat ca fiind proprietăți tehnice utile numai în urmă cu un anumitul de operării de formare plastică - tratament termic în documul editoriu de inițiativă și se dezvoltă procese structurale ce implică migări ale atomilor și defectelor cristaline constitutive și dizolvarea lor compozită, transformări la nivelul rețelei cristaline etc. Multitudinea de date experimentale sunt aduse în acceeași domeniu, conducând la formarea unei noii tehnici fizicoare a microscopului microscopic ce conduce la proprietăți optice, la care nu se rezolvătoare o mare varietate de probleme ce privesc atât evoluția proceselor structurale emisive, cât și curenților lor cu proprietăți fizice și magnetice ale materialului.

Urările săi aduc contribuția la efortul științific și tehnic de perfecționare a procesului tehnologic de obținere a bozelii silicioase, în lucrarea de făcut am abordat trei direcții de rezolvare a acestei probleme și care privesc procesele structurale în aliajale feruș + 1) evoluția structurii și texturii materialelor pe planul de fabricație; 2) evoluția structurii materialelor în proces și ce reacționalizare primă; 3) influența particulelor submicroscopice în evoluția și dezvoltarea texturii (22a) [col].

În toate procesurile abordate procesele transduse să fie determinate de condiții ce au loc la nivelul rețelei cristaline; acest lucru impune utilizarea unei metodologii de lucru bune de o operării de înalt nivel tehnic.

Prin capitolul II lucrarii cuprinde un studiu documentar privind etapul următor al cercetărilor și fabricației bozelor din oțel silicioasă cu propriații potrivite pentru transformatori electrozi, și produsul următorul evoluției silicioasă pe planul mondial și diferențele variante de fabricație.

În final constă de posibilitățile și dotările industriale la noi în termen care tracut la fabricarea otelului ciliciu cu grăunți orientați în variație sulfidică. Pe baza datele din literatură și a rezultatelor obținute pînă în prezent se prezintă principiile metalurgice de fabricație și influența diferitelor parametrii tehnologici ce contribu la realizarea ușii vîntu de calitate.

Se prezintă de asemenea pe lung ~~baie~~ teoretice ale formelor texturii cristalografice la recristalinarea otelului ciliciu, proces ce constă într-o fapt cindativul parțială lăsată.

In capitolul 2 sînt expuse metodele și tehnica de lucru, legate de valoarea faptul că avem o lucru care propune învestigarea unui proces ce are loc la scară microscopie, a fost necesară utilizarea unei metode de analiză avansată, o tehnica de lucru și o aparatură ușoară.

Astfel, pe Mări analizele metalografice elaborează și doboră diverse caracteristicile magnetice pe întârziate obținute, să se utilizeze metoda determinării texturii prin difuzie de zese și se transmătă figurilor de poli și structură microscopială a fost analizată prin microscopie electronică pe felii subțiri, utilizând pentru prima dată în cercetarea metalurgiei ciliciale unul proces termic cu abordarea direcții a rezultatelor transformărilor la scară microscopie.

Se demonstrează, nu numai cu ajutorul unei metode de analiză statistică la prelucrarea și interpretarea rezultatelor, rezultat obținută prin utilizarea unei capete care să potră verificarea verității valorilor obținute sau recure de mai înainte la studiul corporativ prin cui valoarea metodei de investigație să se analizeze.

In capitolul 3 sunt prezentate experimentările efectuate, analiza și interpretarea rezultatelor obținute, să se efectueze analize pe probe prelevate din diferite etape ale procesului de fabricație și pe probe prelevate în laborator, astfel, să se studieze evoluția texturii și orientației grăunților în procesul de recristalinare prin care și în etape finale, să se trateze probe în laborator și să se efectueze studii de microscopie electronică privind evoluția strukturii și orientației grăunților în procesul de recristalinare prin care și se obțin, încercând să se analizeze rezultatul obținut pe aceste probe cu cele industriale. Experimentările au fost realizate astfel încât rezultatele obținute să se potrivească și să se pot verifica valoările anumitor parametrii tehnologici ce intervin pe fluxul industrial de fabricație, astfel, să se potru trage concluzii despre gradul de deformare, temperaturii de recristalinare primă și

sundări, ocupă importanței existenței fazelor inhibitoare în struc-
tura și rolul ei în obținerea texturii cristalografice.

În finalul leoridirii se prezintă corelații caracteristice
lor structurale și cristalografice ale benzii cu proprietățile mag-
netice finale, accentuându-se importanța realizării aior benzi cu
calitate.

Sunt realizate comparații benzi din două clase de calitate,
evidențiindu-se diferențe de natură și mărime electrică ce rezultă în
urmă procesării analiticei de calitate suplimentare, obiectiv ce con-
stituie în final tezul prezentat luerdiri.

General Studiul actual al cercetării și fabricației bobinilor din otel silicios cu graniță orientată „pentru transformatori electriți.

Introducere

Fabricația bobinilor electrotehnice din otel aliat cu si a început în Germania în anul 1903, livrarea fiindu-se în stare luminată la cald. În anul 1934, R.P.Goss patentase procedeul de fabricație a bobinilor electrotehnice cu textură cristalografică (110) <100>. Procedeul care-i purtau numele folosea doar luminări la rece, cu inhibitor de recristalinizare ocupându-și recocere finală la 1100°C . Producția industrială a bobinilor electrotehnice după acest procedeu a început la ARMCO STEEL CORPORATION în SUA și a continuat prin cumpărare de licență la majoritateaților industrializatoare, fiind procedeul folosit și în prezent pentru producerea celor mai mari părți (80%) a bobinilor electrotehnice cu graniță orientată.

Produsul mondial de bensi electrotehnice a crescut proporțional cu producția de energie electrică, înregistrând crescări spectaculoase în ultimile decenii, în special în Japonia (fig.1,2).

Calitatea bobinilor electrotehnice este îmbunătățită an de an datorită proceesorilor generale făcute în metalurgie și prin folosirea de utilaje tot mai perfectionate, fără să se aducă modificări semnificative procedeului brevetat de Goss, denumit și procedeul convențional.

Un progres remarcabil în fabricația bobinilor electrotehnice cu graniță orientată a fost obținut în anul 1968 de firmă Japoneză Nippon Steel Corporation, prin realizarea bobinilor cu graniță orientată având permeabilitatea magnetica min. 1,90 $\mu\text{b}/\text{m}^2$ la $600\text{A}/\text{m}$, cunoscută sub numele de bensi NIS.

Principiul, fabricarea bobinilor cu graniță orientată tip NIS se bazează pe folosirea unui inhibitor mai eficient de recristalinizare (al Si - față de Mn din procedeul convențional), creșterea gradului de reducere la ultima luminare la rece (800°C) și acoperirea bobinii cu un las termic.

Utilizarea bobinilor NIS în fabricația transformatorilor de putere

- 6 -

o sănătate creșterea performanțelor acestor produse ca urmare a calității supăriore a ceramicii (fig. 3).

În tabelul 1 se arată schematic fluxurile tehnologice folosite pentru fabricația bobinilor electrotehnice prin procedeul HIB, și procedeul convențional CO&L.

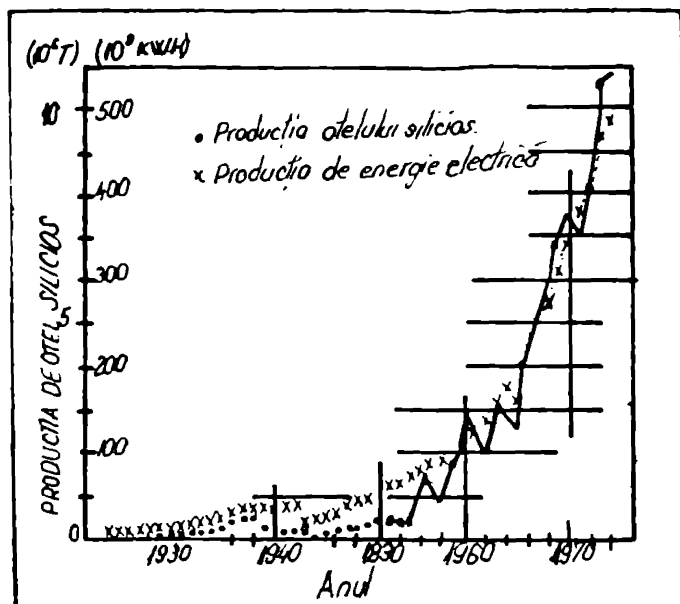


Fig.1 Producție otelului silicicos și de energie electrică în Japonia. / 1 /

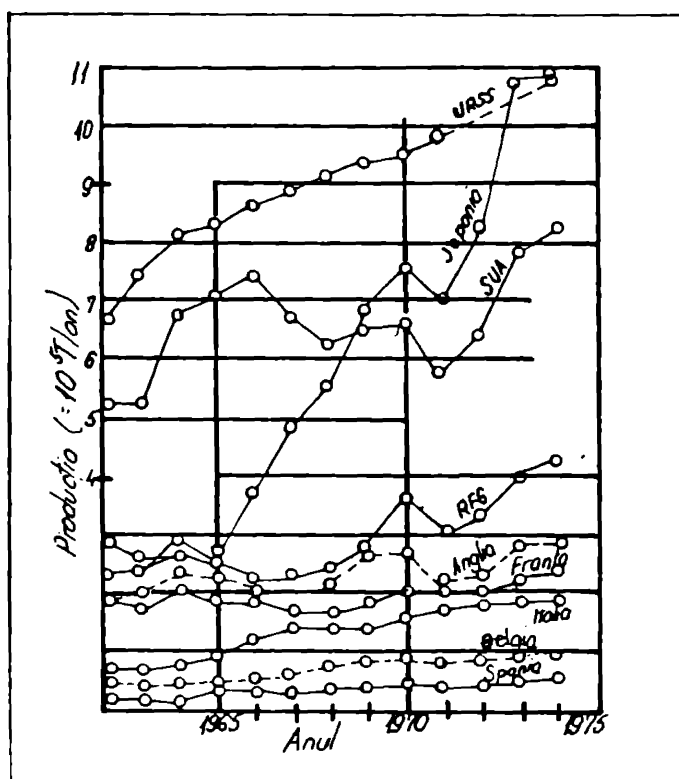


Fig.2 Producția otelului silicicos în diferite țări înscrise în linii. / 1 /

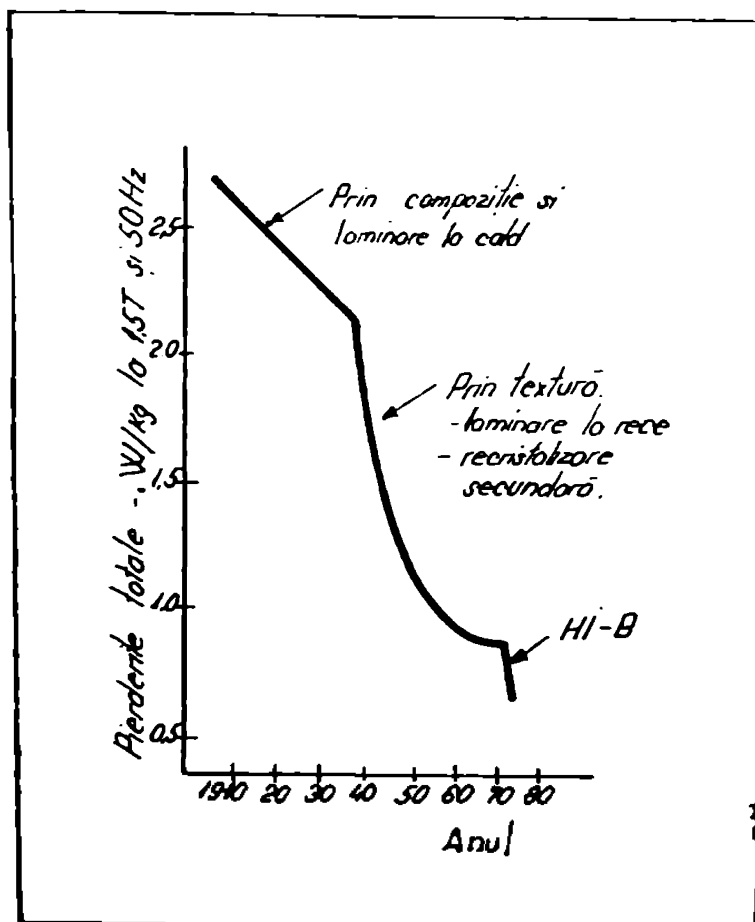


Fig.3 Cările de reducere a pierderilor magnetice pe benzile electrotehnice / 1 /

Tabelul 1

Fabricarea benzilor electrotehnice și pierderile maxime garantate

HIB

NIPPON, ALLEGHENY, TERNI

KAWASAKI

Procedeu de fabricație	HIB	Convențional			
Elaborare oțel(AIN, B)	Elaborare oțel(Sb, 6e)	Elaborare oțel(Mn, S)			
Laminare la cald	Laminare la cald	Laminare la cald			
Călire de punere în soluție	Normalizare	Normalizare			
Laminare la rece (85-90%)	Laminare la rece Recoacere Laminare la rece (65%)	Laminare la rece Recoacere Laminare la rece (60%)			
Decarburare	Decarburare	Decarburare			
Recoacere înaltă	Recoacere în 2 stadii	Recoacere finală			
Pierderi maxime garantate (W/kg la 1,7T și 50 Hz)	Marca M4H M5H M2H M1H MOH	0,30 mm. 0,37 1,23 1,17 1,11 1,05	Marca M6 M5 M4 M4 —	0,30 mm. 1,28 1,22 1,16 1,41 1,26	0,35 mm. 1,58 1,44 1,26

1.1. Principiile metalurgice de fabricație a benziilor din oțel silicioz cu grăunți orientați

Benziile electrotehnice din oțel silicioz cu grăunți orientați sunt benzi din oțel cu 3% Si care au 85-90% din grăunți orientați favorabil magnetizării upoare și anume, cu textura (110) <001> având o disperzie nesimetrică față de orientarea ideală de max. 7°.

Proprietățile magnetice corespunzătoare unei calități superioare de benzi electrotehnice (A4) sunt următoarele :

- inducție magnetică născută la 800 A/m²(B₀) este de cca 1,03
- inducție de saturare magnetică este de 1,00 T;
- pierderile magnetice la 1,7T sunt de 1,36 W/kg;

Pentru a apăra întregerea principiilor metalurgice de fabricație a benziilor electrotehnice, se va face o treiere în revistă a principalielor factori care influențează proprietățile magnetice .

1.1.1. Resistența electrică

Crescerea rezistențității electrice duce la scăderea pierderilor magnetice prin curenti Eddy. Creșterea rezistențității se obține prin alierea oțelului cu și pînă la limite tehnologice de fabricație. Alierea cu și nu poate depăși 4% din cauza fragilității accentuate a oțelului și datorită faptului că, pe lângă aliajii fierului cu și, rețeaua cristalinală se tensionează și inducția magnetică începe să crească. În fig.4 se prezintă variația pierderilor magnetice în funcție de conținutul de .i .

1.1.2. Grosimea benzi

Reducerea grosimii benzi este ca efect reducerea pierderilor prin curenti Eddy și deci a pierderilor totale prin întreruperea circuitului curentilor turbionari, dar aceste productivitatea în fabricația benziilor electrotehnice și a transformatorilor electriți . În SUA și Europa se fabrică benzi electrotehnice cu grosimi de 0,27 mm fără de 0,30 mm în Japonia, pentru a menține calitatea metalurgică superioară a producătorilor japonezi, fig.5 prezintă influența grosimii benzi asupra pierderilor magnetice ale unor benzi cu grăunți orientați.

1.1.3. Mărimea granulației

Mărimea granulației condiționează mărimea domeniilor magnetice (cu cît granulația este mai mare, energia necesară orientării domeniilor magnetice este mai mare și pierderile magnetice prin histeresi vor fi mai mari). Inductia magnetică este în general influențată favorabil de mărimea granulației, în primul rînd datorită creșterii orientării cu creșterea granulației.

(boala obișnuită unui oțel cu grâunți orientați). Cu toate acestea există unii oțeli cu posibilitate ridicată de granulație mai fină.

In fig.6 și 7 se prezintă influența lungimii grâunților (măsurată în direcția de luminare) asupra pierderilor și a inducției magnetice.

1.1.4. Gradul de orientare al cristalizării

Oncile cu grâunți orientați de tip Goss au o disperzie medie față de orientarea ideală (110) <001> de aproximativ 7° (M). Gradul de orientare al grâunților este foarte bine reprezentat de densitatea fluxului magnetic (inducție) la 600 A/m (38) care este cu atât mai mare, cu cît orientarea cristalografică este mai aproape. Graficul din Fig.8 indică scăderea pierderilor magnetice cu creșterea gradului de orientare măsurat prin valoarea inducției B₆₀₀.

1.1.5. Texitura cristalografică (110) <001>

În cazul bobinelor electrotomnice pentru transformatori texitura cristalografică astindio anisotropie magnetică a monocrystalului de feru în columnă întregii bani, îmbunătățind proprietățile magnetice ale banișii în direcția de luminare.

Într-un摇ionul C.V.C. a fierului din direcția de magnetizare este după muchia cubului elementar [100], iar direcția de magnetizare este mai joasă cît după diagonala cubului [111].

Poseabilitatea magnetica maximă teoretică a oțelului este 1000 GS. Practic, oțelul pur oțel tot are impurități care coad posibilitatea; practic, posibilitatea maximă este de 1900 GS. Aceste performanțe sunt un oțel care să aibă o orientare apropiată de a monocrystalului cu direcțiile de magnetizare ușor paralele cu direcția de luminare. În prezent se obțin banișii din oțel cu 3° cu texitura (110) <001>.

Această textură este grâunții cu planul diagonal (110) paralel cu suprafața banișii și direcția muchiei cubului <001> paralelă cu direcția de luminare și se numește "texitura Goss" sau "cub pe muchie".

Plăcuțe grâunțe din oțel silicicos este împărțit (conform te-

- 12 -

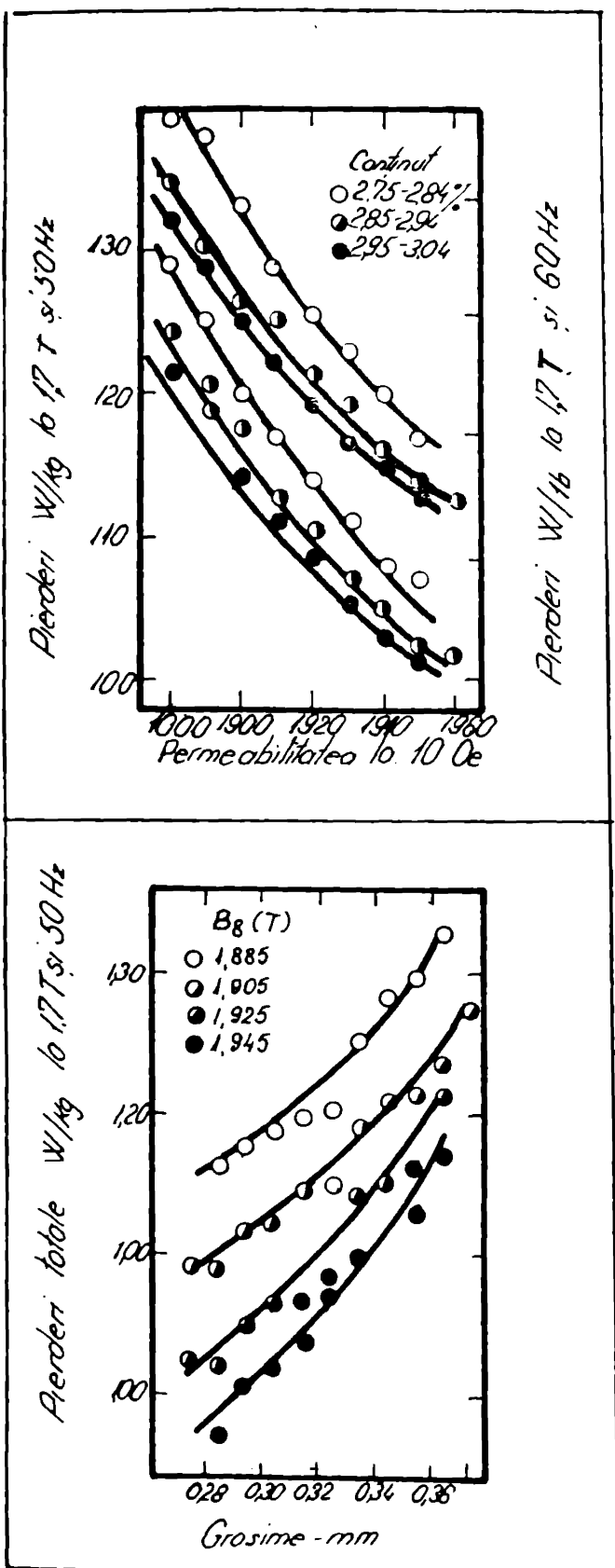


Fig.4 Influență conținutului de Si asupra pierderilor magnetice totale,
/ 2 /

Fig.5 Influență grosimii benzii asupra pierderilor totale, / 1 /

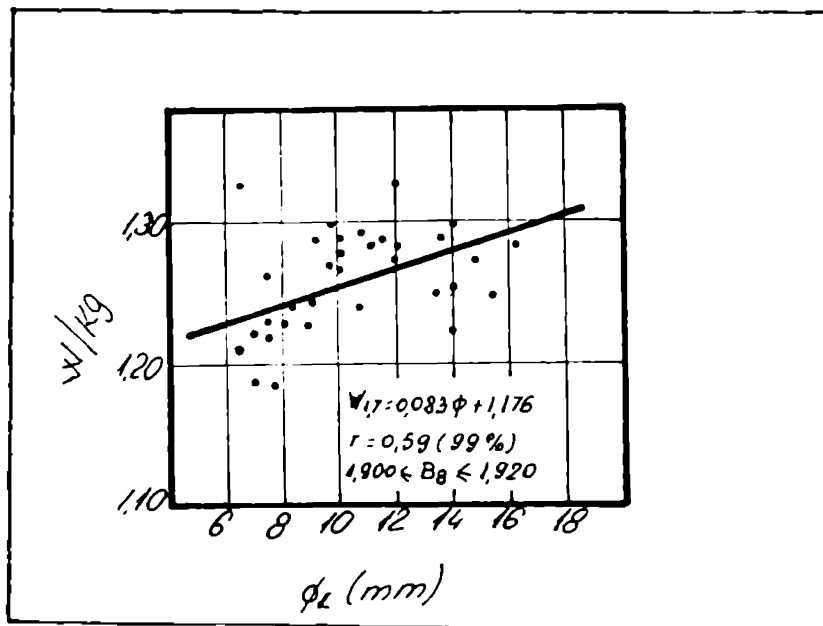


Fig.6 Influența mărimii grăunților asupra pierderilor magnetice totale

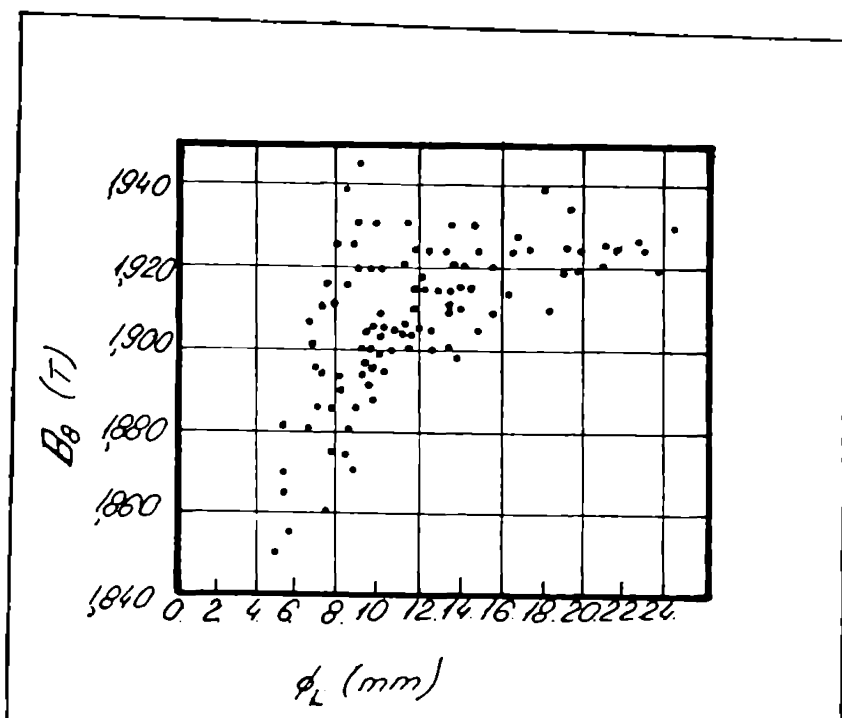


Fig.7 Influența mărimii grăunților asupra inducției magnetice

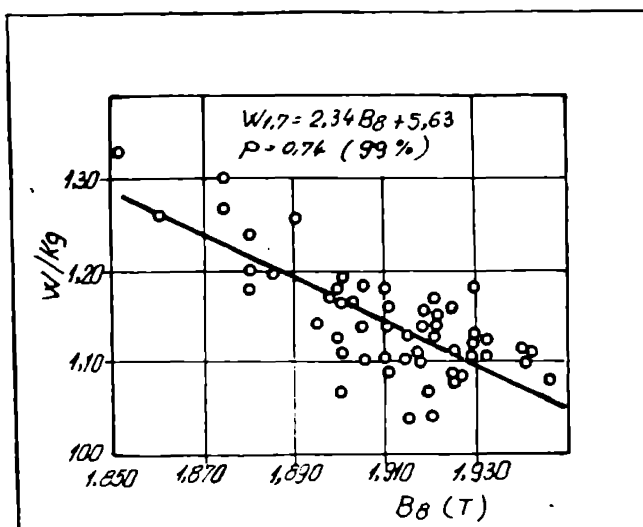


Fig.8 Influența gradiului de cricătare (lăc) [kg] măsurat prin inducție B_B asupra pierderilor magnetice

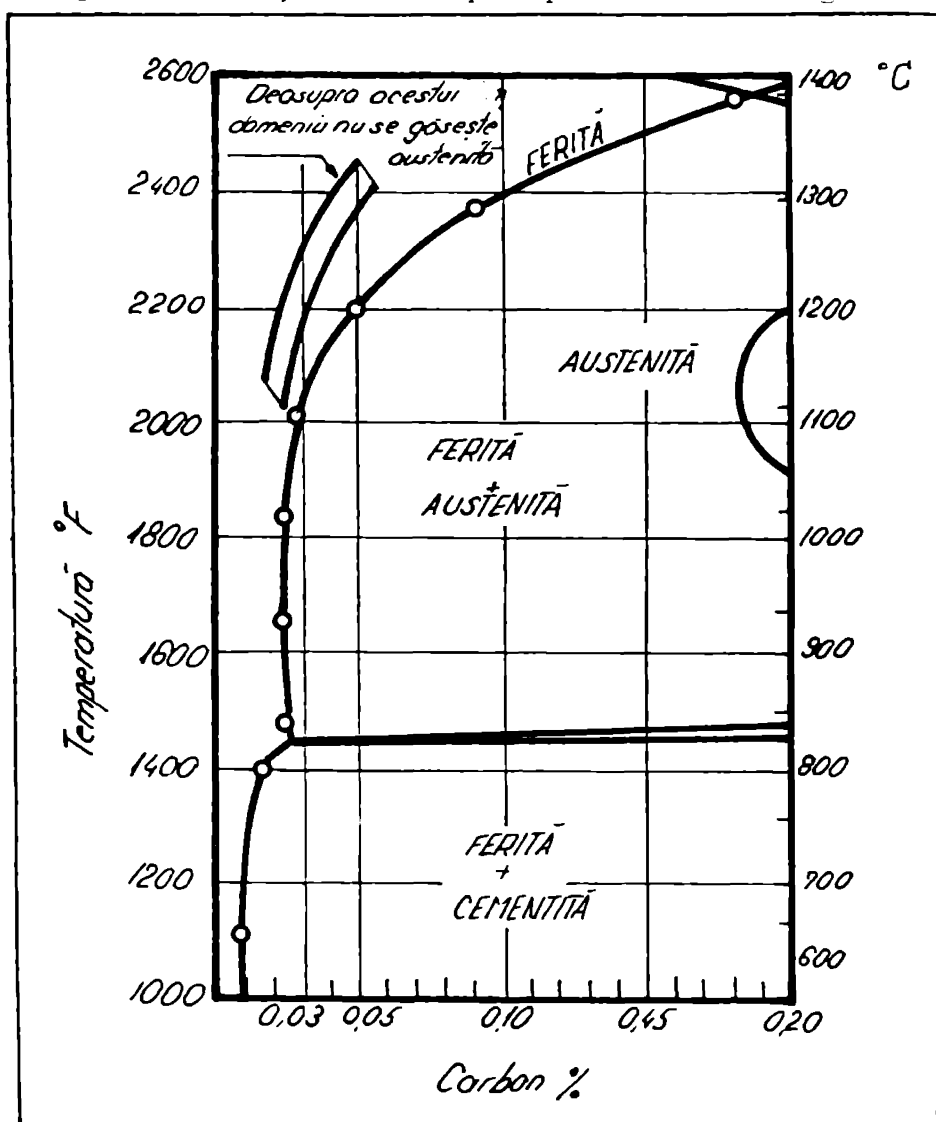


Fig.9 Diagram de echilibru Fe-C pentru un obiect cu $C = 0.1\%$

orică domenii magnetice a lui "eiss) intr-un care număr de domenii magnetice, mici blocuri de rețea complet magnetizate. Singurul mod în care un domeniu poate fi demagnetizat este încălzirea sa deasupra temperaturii Curie.

În grăunții de oțel silicios vectorul de magnetizare \mathbf{M} este direcționat de-alungul direcției Co magnetizare majoră $\langle 100 \rangle$. Întrucât în rețeaua C₆V₂C₆ există și direcții $\langle 100 \rangle$ pentru alinarea tuturor domeniilor cu vectorul \mathbf{M} orientat la fol, trebuie aplicată un ciup magnetic exterior care poate să fie ușor eliberat, cu cît textura este mai perfectă.

În calculul teoretic și cercetările experimentale rezultă că este deosebit de testuri cu forme acăi în mod obișnuit în bozile laminează seco și recristalizate din metalic cu structură C₆V₂C₆, ponderea texturii depinzând de energia înmagazinată la laminare în sistemul cristalografic respectiv și condițiile de eliberare a acesteia, factori care la rindul lor depind de gradul de reducere în timpul laminării și temperatură de recristalizare. La acest nivel ai cunoștințelor teoretice, practica tehnologică sugerează că bozii bozii pentru electrotermică cu textură "cub pe muchie" favorabilă proprietăților magnetice, prin alegerea corespondență a gradului de reducere și condițiilor de recristalizare.

Textura cristalografică $(110) <001>$ se obține în timpul recrystalizării finale la temperatură ridicată prin recristalizarea secundară preferențială a grăunților orientați $(110) <001>$, fenomenul constând în creșterea preferențială a grăunților $(110) <001>$ prin consumarea grăunților vecini și este controlat de următoarea ecuație

$$E/V = K \left(\frac{GM}{DM} - \frac{GG}{DG} \right) - I \quad (1) [3]$$

unde :

- E/V = energia de recristalizare secundară pe unitatea de volum V;
- K = constantă;
- GM = energia limită a grăunților mai mari de bază a oțelului inițial recristalizării secundare;
- DM = diametrul median al grăunților mai mari de bază a oțelului inițial recristalizării secundare;
- GG = energia limită între grăunții cu orientare $(110) <001>$ și grăunții mai mici care să nu înainteze recristalizării secundare;
- DG = diametrul median al grăunților cu orientare $(110) <001>$ mai mici în numărătore de recristalizarea secundară;
- I = forță de inhibare a mișcărilor limită a grăunții de către precipitatolo de inhibitor.

Recristalinarea secundară a grănitilor (Mn_2Si) este ca este unii potențiali și este forță de inhibare a precipitațiilor. I este mai mare, ca și energia grănitilor (Mn_2Si) σ_{G} este mai mare, și ca și diametrul grănitilor (Mn_2Si), D_G este mai mare decât diametrul median al grănitilor măsură de obicei, D_M , înaintea începerii recristalinării secundare.

Procedurile de fabricație a banișorilor electrotehnice folosesc pentru creșterea forței de inhibare a migrației limitelor de grăniți, sau și cu un mulții inhibitori, ca de exemplu : MnS (Vossen-UA, AISI (Nippon Steel - Japonia), IN (Allegheny Ludlum - SUA), AISI + MnS (Tosca-Italia), Ce + Sp (Kawasaki Steel - Japonia)).

1.1.5. Condiții impuse fazaui metalice (inhibitorului)

Stimularea procesului de formare a texturii, în care influență este determinată de gradul de disperzie a inclusiunilor.

În punct de vedere termodynamic, frânera creșterii grănitilor cu inclusiuni metalice se datorează faptului că acclirarea de către limită a particulei strâns duce la creșterea întinerii suprafeței între fazele grănușe - inclusiuni și ca urmare la creșterea energiei superficiale a grănușelor crescute. Forța F care frânează migrarea limitei în prezența celei două faze, este egală cu

$$F = \frac{3 \sigma \Gamma}{d} \quad (2) \quad [5]$$

unde :

- σ = ponderea volumetrică a inclusiunilor ;
- d = dimensiunea medie a inclusiunilor ;
- Γ = energia superficială la limita inclusiunii - matrice.

Dimensiunea maximă a grănitilor D , după care migrarea limitelor de întărrire, este egală cu :

$$D = \frac{4}{\Gamma} \quad (3) \quad [6]$$

Ce urmare, siguranța stabilității matricei crește odată cu creșterea gradului de disperzie a inclusiunilor la un volum total constant și respectiv cu creșterea gradului de neconveniență a rețelei matricei și inclusiunilor.

Pentru ca și inițialini rețul de inhibitor, particulele de faza nonmetalică trebuie să împlicească următoarele condiții :

- să rămână stabile, adică practic să nu se dissolvă în ferită și să

- nu se crește pînă la temperatură de început și de recristalizare secundară;
- să se dissolve la temperatură de recristalizare secundară pentru a permite creșterea grăunților;
- cantitatea de inhibitori trebuie să fie optimă. La o cantitate insuficientă de inclusiuni nu se respectă condiția stabilizării matricei. În excedent de inclusiuni, forța lor de fricare poate fi atât de mare, încît chiar și la temperaturi care depășesc temperatura de început de recristalizare secundară, migrația limitelor grăunților se va produce lent și centre potențiale de creștere (grăunți cu orientare preferențială) nu vor fi avanțațe prea mult dințional față de ceilalți grăunți mari, și procesul de formare a texturii nu se va desvolta;
- să fie uniform distribuite în matrice și să aibă o compoziție corespondă. Cinetica creșterii grăunților secundari depinde de uniformitatea configurației acestui proces în volumul metalului. Locii difuziți grăunți sau porțiuni din limitele lor sunt blocate cu inclusiuni de compoziție diferită sau în cantitate diferită, astunci vor fi favorizați la creștere acei grăunți care vor avea la limitele lor concentrată inclusiuni mai puține și mai puțin stabile, sau inclusiuni care posedă o viteză de coagulare mai mare. Ca rezultat, unii grăunți cu orientare arbitrară pot crește pînă la dimensiuni mari, în timp ce alții pot rămâne relativ mici.

1.2. Parametrii tehnologici folosiți la fabricarea bonzilor din oțel silicic cu grăunți orientați .

În tehnologie industrială de obținere a bonzilor cu textură cristalografică orientată dirijat, intervin un număr foarte mare de parametrii tehnologici care concordă la desfășurarea corectă a fenomenelor de texturare prezентate în paragraful precedent. Realizarea acestor parametrii constituie, în general, subiectul unei serii de brevete realizate prin înelungata experimentări. Principal, tehnologia de realizare a bonzilor pentru electrotehnică cu textură orientată dirijat, trebuie să respecte următorii parametri:

- Majorarea în compoziție oțelului a elementelor care formează faza secundară în cantitate optimă pentru a putea juca rolul de inhibitor. Astfel, pentru formarea unei cantități suficiente de MnS în bonzile electrotehnice, oțelul trebuie să conțină $S \sim 0,02\%$ și raportul $Mn/S = 1,72$;
- Inodizarea pentru banișarea la cald trebuie făcută la temperaturi la care faza secundară este complet dissolvată în masă de bază a oțelului, atunci elementelor constitutive fiind uniform repartizate în

materiale. Bensiile electrotehnice trebuie încălzite pentru completă disoluțare a MnS și uniformizarea raportării atomilor de Mn și S la circa 1400°C ;

- În timpul și după laminare, bensiile trebuie să fie rapid în interval de temperaturi în care faza secundară precipită. Pentru bensiile electrotehnice intervalul acesta este $1200\text{-}900^{\circ}\text{C}$. În urmă răcirei rapide, faza secundară de cincenii submicroscopice se obține fin dispersată în toută masă, putind juca un rol activ de inhibitor la recristalinare;

• Gradul de reducere la laminarea la rece se aleje astfel ca planale și direcțiile cristalografice care urmează să formeze textura, să aibă un maximum de energie înmagazinată la deformare. Acea determinat experimental că gradul de deformare optim pentru bensi electrotehnice cu testuri "cub pe nucleu" este 50-60.;

- Încălzirea la recristalinare secundară se face la temperaturi care să permită disoluțarea MnS și creșterea puternică a grăunților orientație. Practic, încălzirea pentru recristalinare secundară se face la lăcoare 1200°C . Acești parametrii sunt esențiali în diverse etape ale procesului de fabricație a bensiilor electrotehnice din oțel silicios cu grăunți orientați, proces ce este prezentat schematic în continuare.

1.2.1. Elaborarea oțelului

Procedoul cel mai răspândit este procesul de elaborare în convertor cu oxigen (Japonia, SUA), urmat de procesul de elaborare în cuptorul electric (Italia, Arco-SUA). Dacă metoda de elaborare nu influențează major proprietățile finale ale produsului, esențiala fiind realizarea compoziției chimice, totuși elaborarea oțelului trebuie astfel condusă încât să ducă la un oțel cât mai curat.

Incluziunile de MnS și Al₂O₃, care sunt folosite ca inhibitori de recristalinare, sunt înălțurate din oțel în timpul tratamentului de recocere la temperatură ridicată. Celelalte incluziuni ca de ex. SiO₂ și Al₂O₃, nu mai pot fi înălțurate și rămân în produsul final în măsură în care arău în linguri. Conținutul de incluziuni, și mai ales disperzia lor influențează în mod negativ pierderile magnetice totale datorită eroziunii pionorilor prin histeresi.

Întrucât realizarea compoziției este caracterul principal al elaborării oțelului silicios pentru bensi electrotehnice, în continuare se vor prezenta limitele de variație și influența elementelor de aliere asupra proprietăților finale ale bensiilor.

Silicium este principalul element de aliere din compoziția oțelului silicios și are două principale efecte pozitive :

1- reduce pierderile magnetice prin curenti Eddy ca urmare a cresterii rezistivitatii otelului;

2- nirecte domenial ale otelului astfel ca la valori mai mari de 2,9% Mn, otelul este monofasic feritic (fig.9). Efektele positive ale siliciului nu pot fi exploatare în întregime, deoarece la creșterea peste 4% a procentului de Si, otelul devine complet fragil la deformarea la rece. Se observă, inducția de entăretie scade cu creșterea conținutului de Si al otelului.

Pe baza datelor experimentale obtinute după anii de cercetare, literatura de specialitate prezintă diagramă ca cea din fig.10 din care se poate observa variația pierderilor în netice cu conținutul de Mn și cu temperatură după ultime caje degresicăre (D4). Practic la temperatură D4 este $1240-1270^{\circ}\text{C}$ rezultă un conținut optim de Si de 3-3,2%.

Manganul. Diagrama din figura 11 prezintă variația pierderilor magnetice funcție de conținutul de Mn și temperatura la D4. Se observă că procentul optim de Mn este 0,070-0,085%.

Sulful. Pe aceleași considerante, conținutul optim de S este stabilit la valoarea 0,024-0,028%, în conformitate cu datele prezentate în fig.12.

Produsul Mn-Si

Sulfurul de mangan, pentru a avea o eficiență maximă asupra formării texturii cristalografice trebuie să fie sub formă de particule fine (100-500Å) uniform distribuite în masa de bază. Astfel de particulele se obțin prin disolvarea completă a sulfurilor la încălzirea otelului și răcirea rapidă în regimul de temperatură la care nu se precipită.

Prin experimentări cu microscopul electronic s-a determinat curba de solubilitate a MnS în ferita cu 3% Si (fig.13). Scunția curbei este :

$$\log_{10}(\%) \text{ Mn} (\text{Mn}) = \frac{1052}{T} + 4,0,92 \quad (4)$$

Din ecuație și din reprezentarea grafică, rezultă că temperatura de disolvare a MnS și deci temperatura de încălzire a otelurilor depinde de procentul concentrațiilor (Mn) și (Si), fiind cuprinsă între $1340-1390^{\circ}\text{C}$, după concentrațiile sănt la limita inferioară sau superioară a intervalului prescris.

Taboul 2

Mn	Si	Al	Temperatură de solidificare
0,070	0,024	0,0017	1340°C
0,065	0,026	0,0024	1390°C

Acste temperaturi lezonabile de ridicate necesare la fose la înălțarea aleborilor fiind grupă de curba solidus, duc la topirea suprafetei ale borului și elastrajerea vîtrei cuporului. Din acest motiv s-a făcut experimentările pentru stabilirea unei tehnologii care să permită înălțarea aleborilor pentru laminare la temperaturi mai scăzute. Principal, cercetările au portat de la reducerea producătorului (Mn) și (Si) prin reducerea conținutului de Mn și adăugarea unei cantități suplimentare de Al care să crească un nou inhibitor (AlN) pentru recristalizare. Un astfel de oțel are compoziția prezentată mai jos :

Taboul 3

C	Mn	P	S	Si	Al	N
0,031	0,055	0,006	0,020	2,97	0,002 (solubil)	0,005

Produsul Mn A : și fiind 0,011, temperaturile de disoluție și încălzire a aleborilor, calculate și experimentate au fost de 1260-1300°C, cu mult mai scăzute decât cele prezentate anterior.

Carbozul în produsul final are influență negativă asupra proprietăților magnetice ale oțelui. Ca urmare a tratamentului de decarbonizare ai oțelilor lăsată la roșe, carbozul în oțel la elaborare nu mai are o influență directă negativă asupra proprietăților magnetice.

Analiza statistică a oțelor din producția industrială prezentată în diagrame din Fig.14 indică nivelul optim al conținutului de carbon la oale ~ 0,025 - 0,030.

1.2.2. Îndepărtarea borilor la cold

Sulfurul de aurigan este foarte eficient ca inhibitor de dirijare a cristalizării la recristalizare cînd are dimensiunile de $100 - 500 \mu\text{m}$ și este uniform disperzat în matricea feritică. Pentru controlul pre-

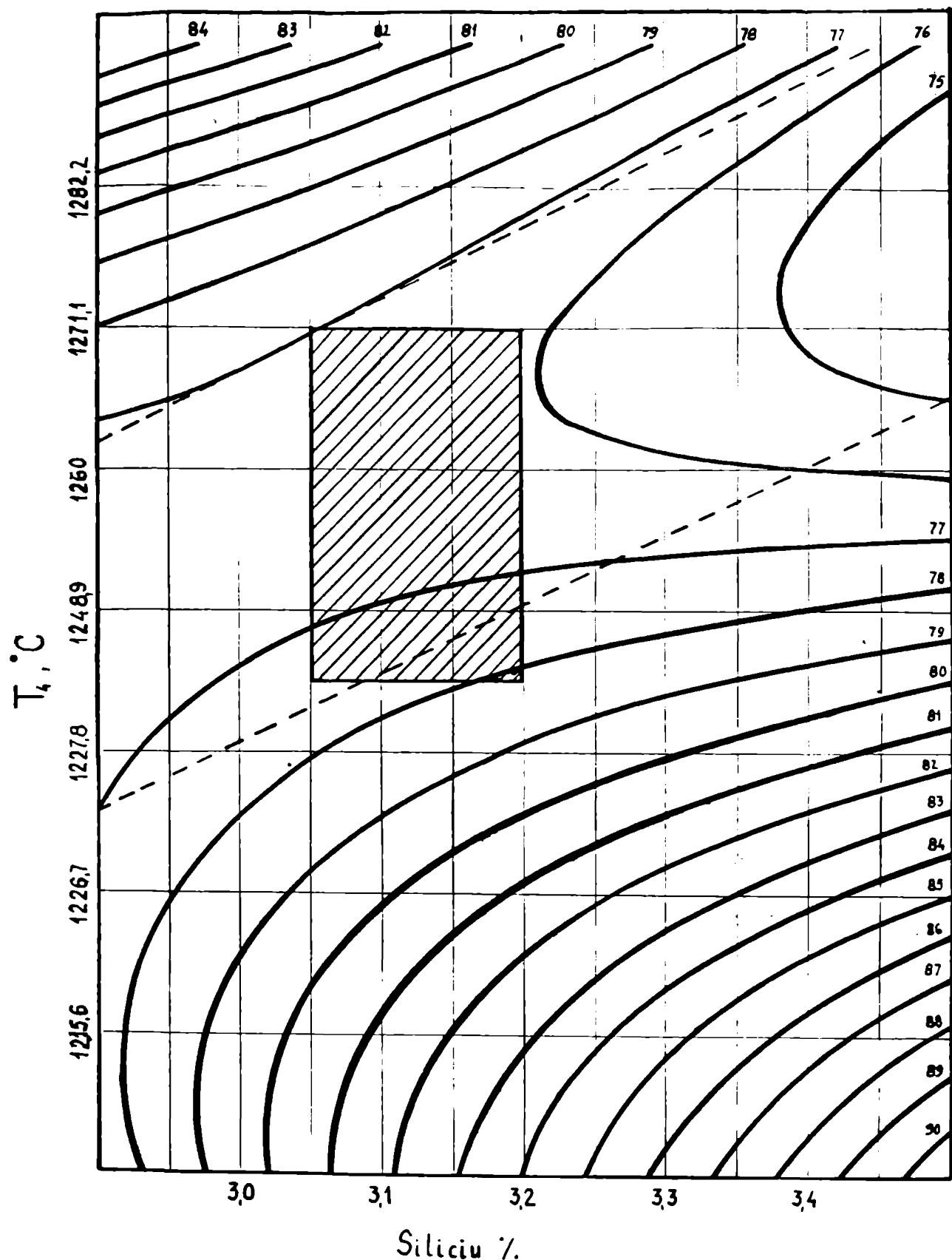


Fig.10 Diagrama reprezentând domeniul optim al conținutului Cc și și temperaturii cuprului

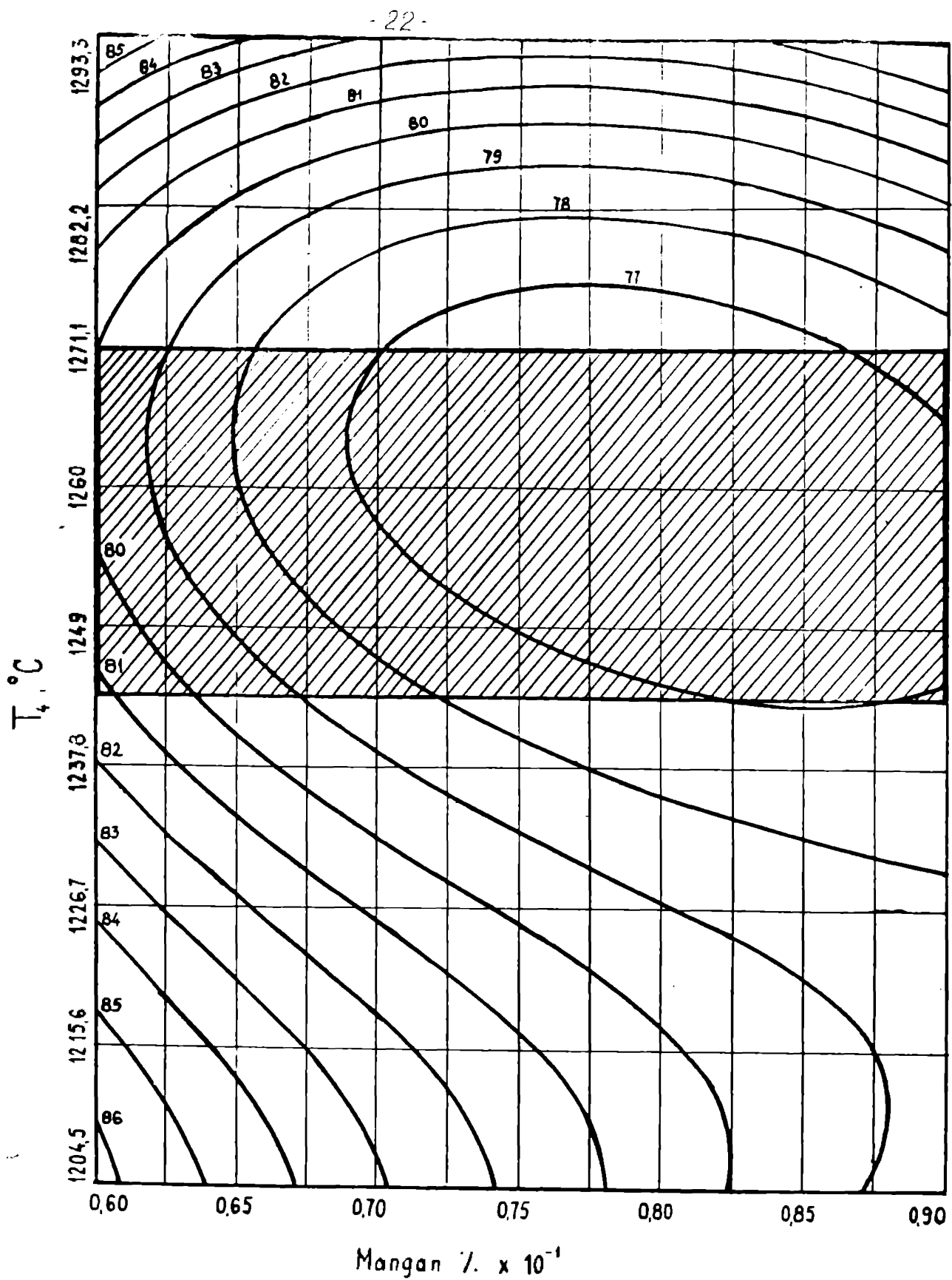
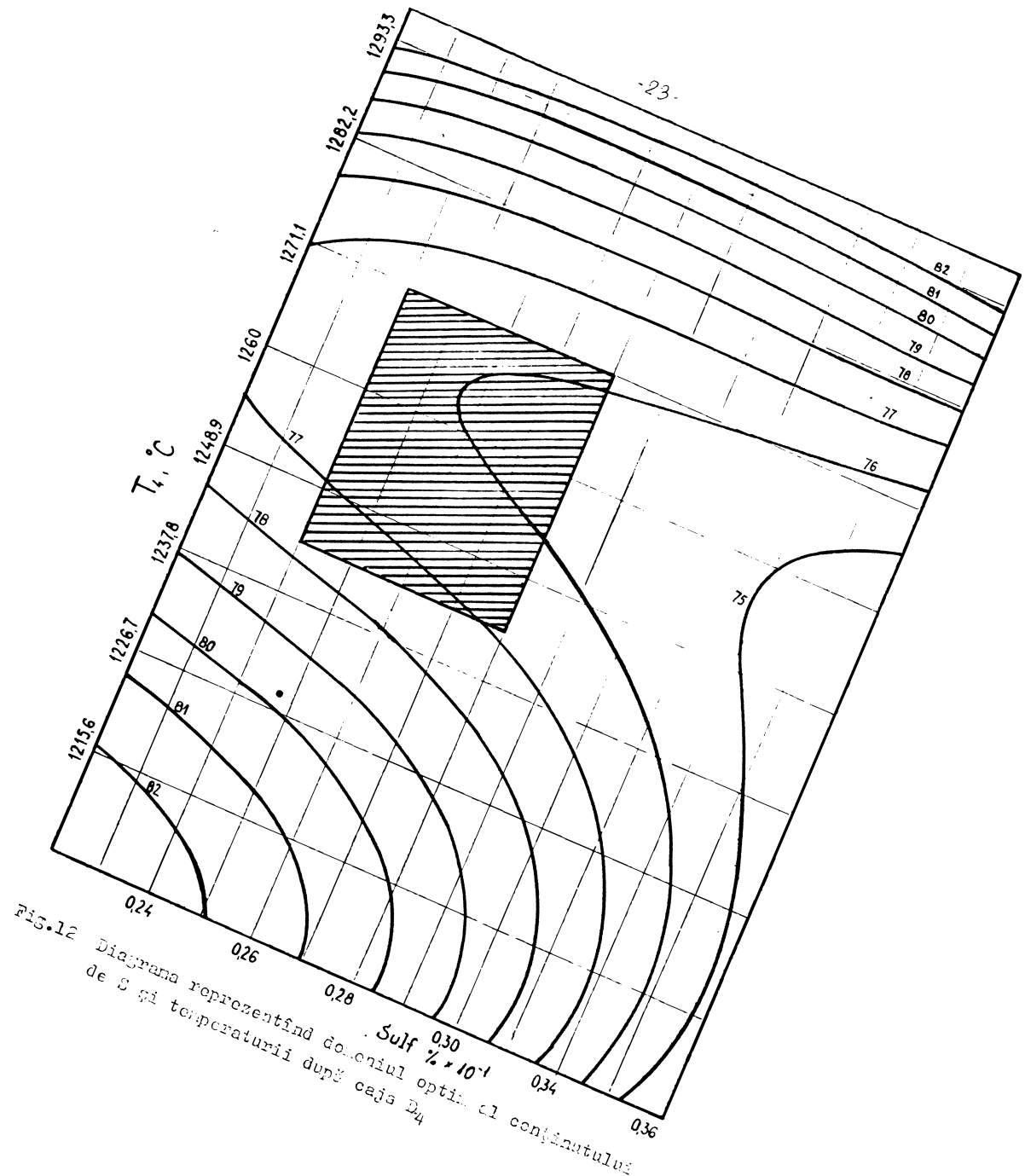


Fig.11 Diagrama reprezentând domeniul optim al conținutului de Mn și temperaturii după etape E_4 .



-24-

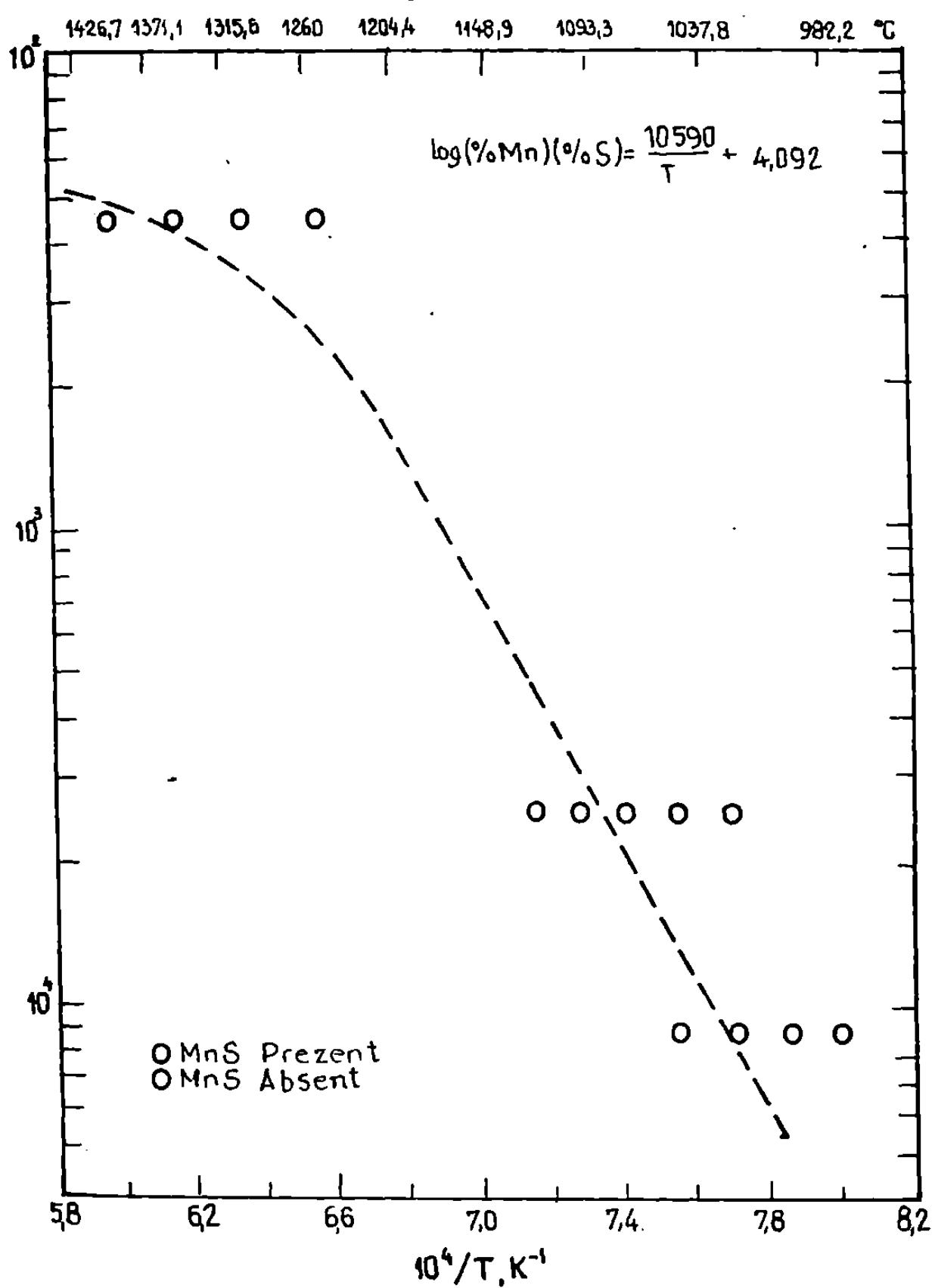


Fig.13 Curba de solubilitate a MnS în ferita cu Si /4/

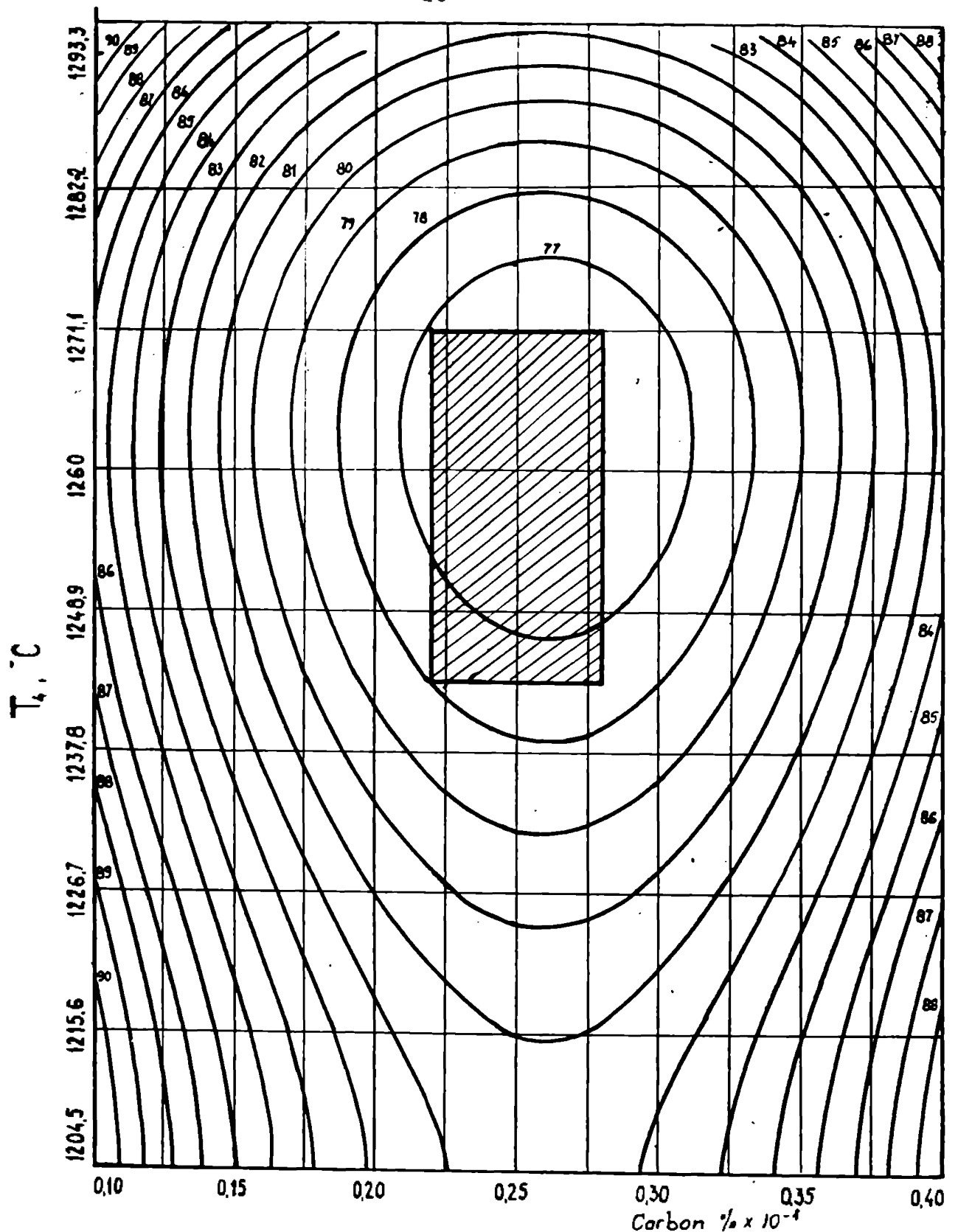


Fig.14 Diagrama reprezentând domeniul optim al conținutului de C și temperaturii după caja D4

cipitării MnS , banda laminată la cald trebuie răciti rapid în intervalul de temperaturi $1250\text{--}900^\circ\text{C}$ interval în care are loc precipitarea. MnS se obține fin disperzată cind precipitarea are loc în timpul deformării plastice de laminare (tratament termomecanic).

În condițiile industriale de laminare a bandelor la cald, stabilirea parametrilor optimi de lucru a panteelor de control și valorii temperaturilor cu care se controlează procesul, se face prin analiza statistică a datelor de producție. Datele obținute nu pot fi aplicate direct pe laminorul pe care a fost efectuată analiza statistică și ele nu pot servi decât ca valori orientative. Astfel, în graficul din fig. 15 a,b se prezintă valorile pierderilor magnetice în funcție de temperatura de sfîrșit de laminare care este folosită ca parametru de control al precipitării MnS . Din acest grafic rezultă că intervalul optim pentru temperatură de sfîrșit de laminare în condițiile de la U.S.Steel este $900\text{--}938^\circ\text{C}$. Pierderile magnetice la benzile electrotehnice sunt sensibil influențate și de mărimea și distribuția Fe_3C în produsul finit. O cantitate redusă de carburi și cu o distribuție uniformă în masa de bază duc la valori mai scăzute ale ciupului coercitiv și în final ale pierderilor magnetice. Din fig. 16 rezultă că pentru o precipitare fină și uniformă a carburiilor în benzile laminate la cald, viteza de răcire trebuie să fie mare în intervalul de temperaturi $800\text{--}500^\circ\text{C}$, prin urmare rularea benzilor după laminarea la cald ar trebui efectuată la aproximativ 500°C . Întrucât după laminarea la cald se aplică tratamentul de normalizare în timpul căruia Fe_3C este redislocuit și reprecipitat, practic temperatura de rulare nu mai este critică, rularea putindu-se efectua în condiții de productivitate maximă a laminorului. Imaginea din fig. 15c arată că din analiza statistică nu rezultă o influență a temperaturii de rulare asupra proprietăților magnetice finale ale benzii.

1.2.3. Normalizare

Tratamentul termic de normalizare are ca efect îmbunătățirea proprietăților magnetice în banda finală pe de o parte datorită procesului de uniformizare a structurii pe lungimea benzii care a fost laminată la temperaturi diferite, și pe de altă parte, datorită faptului că la temperaturi finale (980°C) are loc dezvoltarea precipitării MnS care a rămas neprecipitată în laminarea la cald și punerea în soluție + precipitarea fină a carburiilor la răcire.

1.2.4. Laminarea la rece și recocerea în suptor continuu

După normalisare și decepare benzile laminate la cald sunt supuse următoarelor operații tehnologice :

A. Laminarea la rece numărul 1, cu grad de reducere aerisitie. Alegerea gradului de reducere depinde numai de grosimea fine-13 de realizat, fiind ușor de 70-75%. Temperatura de laminare este supericardă temperaturii de tranziție ductil-fragil ($100-150^{\circ}\text{C}$) pentru a reduce pierderile de metal prin supere la laminare.

B. Recoacerea și recristalizarea are ca scop recristalizarea structurii în vederea colaj de a doua laminări la rece fără o creștere a grăunților mai mare de punctajul 7-8, care ar fi dăunătoare texturii finale. Deosebit de important în această etapă este evitarea oxidării suprafeței benzii, care trebuie să rămână la luciu metalic. Formarea unui strat de oxid crează serioase probleme la a doua laminare la rece. Pentru evitarea acestui fenomen, atmosfera suptorului trebuie să fie uscată cu punct de rouă -4°C . Condițiile complete de tratament sunt prezentate în diagrame din fig.17.

C. Laminarea la rece numărul 2

Gradul de deformare la a doua laminare la rece este deosebit de important pentru obținerea texturii finale a benzilor. Energia de deformare înmagazinată în diferite sisteme cristalografice depinde de valoarea gradului de deformare la rece. După recoacerea finală la temperatură înaltă, textura predominantă va fi reprezentată de planele cristalografice care au avut ocază mai mare cantitate de energie de deformare înmagazinată, pe baza căreia au recristalizat preferențial. Pentru obținerea texturii GCS (110) \times 100, gradul optim de deformare la rece este 50-60%.

D. Recoacerea și decarbonizarea

Se aplică după a doua laminare la rece și are ca principal scop reducerea conținutului de carbon la aprox. 0,003%. Diagrame de tratament sunt prezentate în fig.18.

E. Acoperirea cu MgO

Înaintea operației de recoacere finală, benzile se acoperă cu un strat protector de 450 µm pentru a evita lipirea spiralor în timpul recoacerii la 1200°C . În temperatura de reconcere MgO reacționează cu oxidelul de pe suprafața benzii și formează un strat sticlos de silicat de magneziu și fier ($\text{MgO} \cdot \text{FeO} \cdot \text{SiO}_2$) cu proprietăți izolaționale foarte bune.

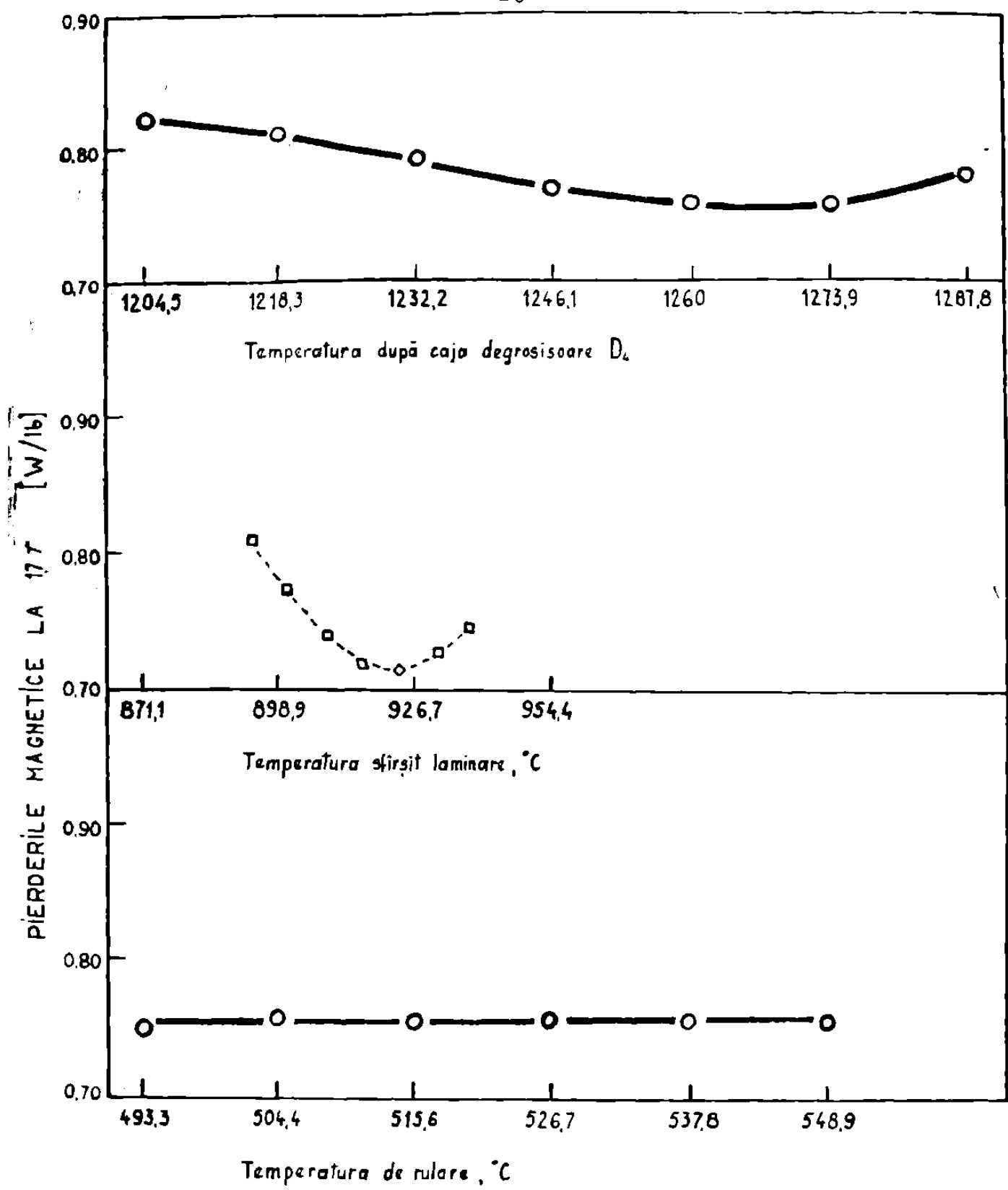


Fig.15 Influența temperaturilor benzii la laminatrea la cald asupra pierderilor magnetice

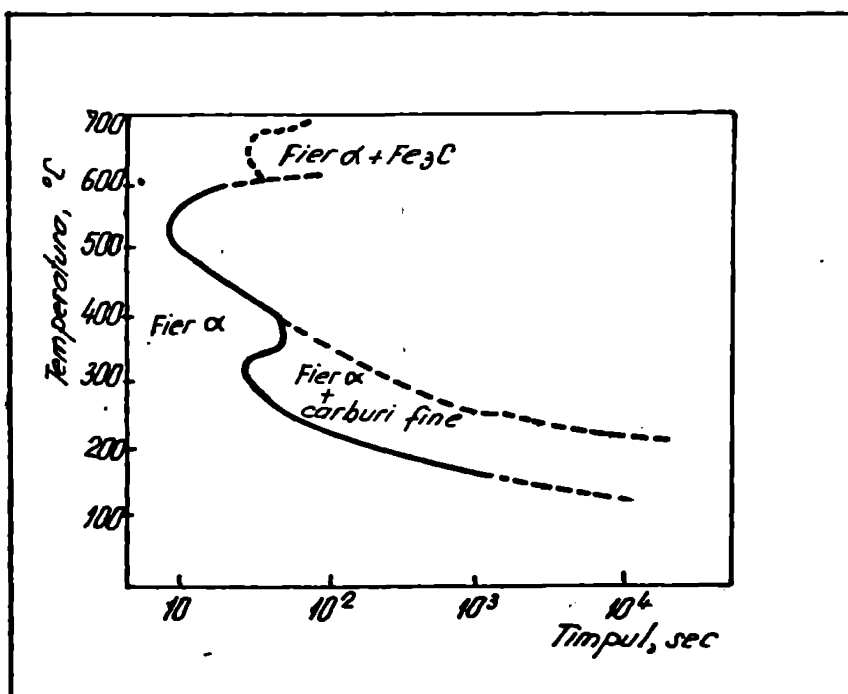


Fig.16 Precipitarea carburilor dintr-o soluție solidă suprasaturată de Fe-3% Si prin răcire rapidă de la 775°C la diferite temperaturi

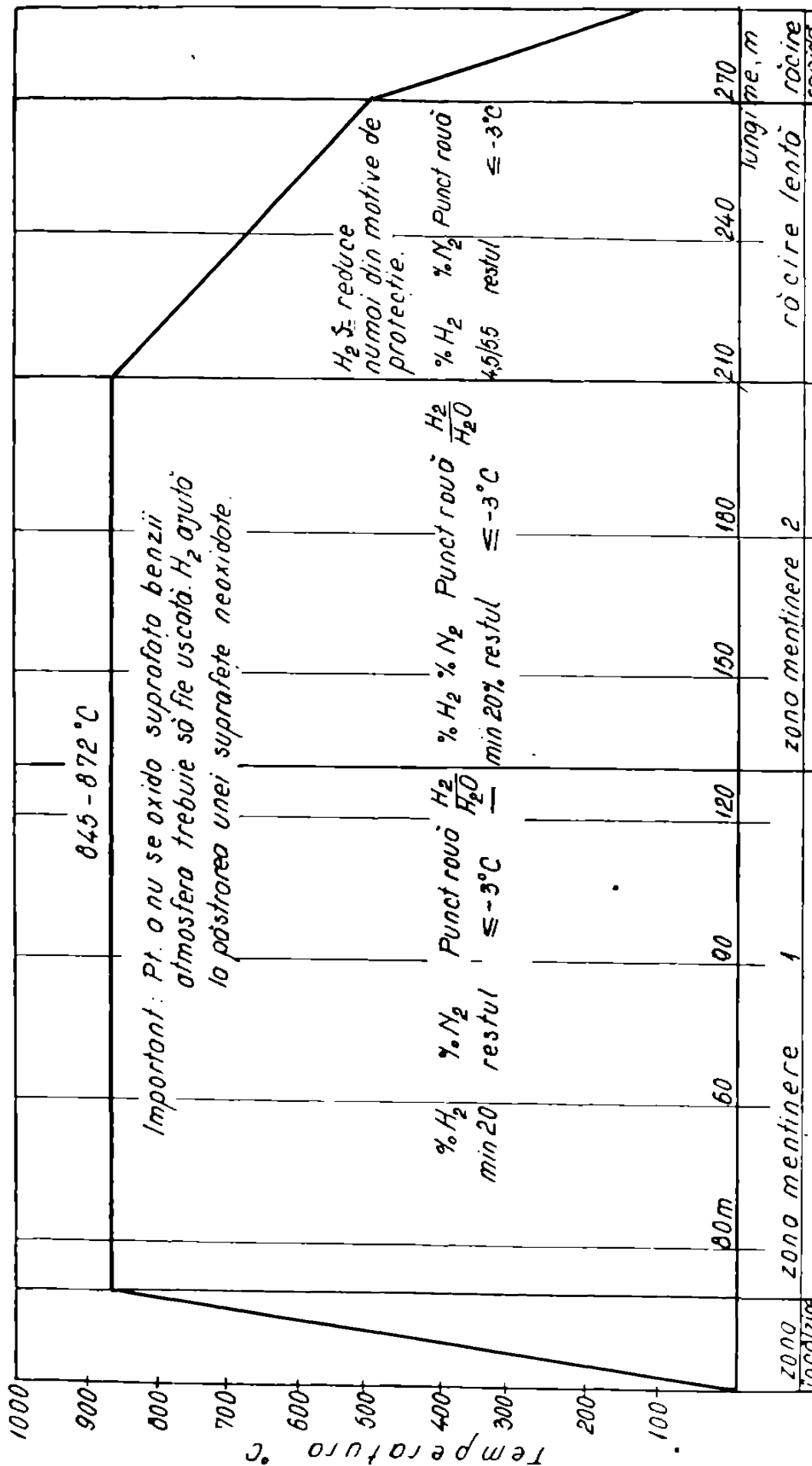


Fig. 17 - Diagrama tratamentului termic de recoacere continuă de recristalizare

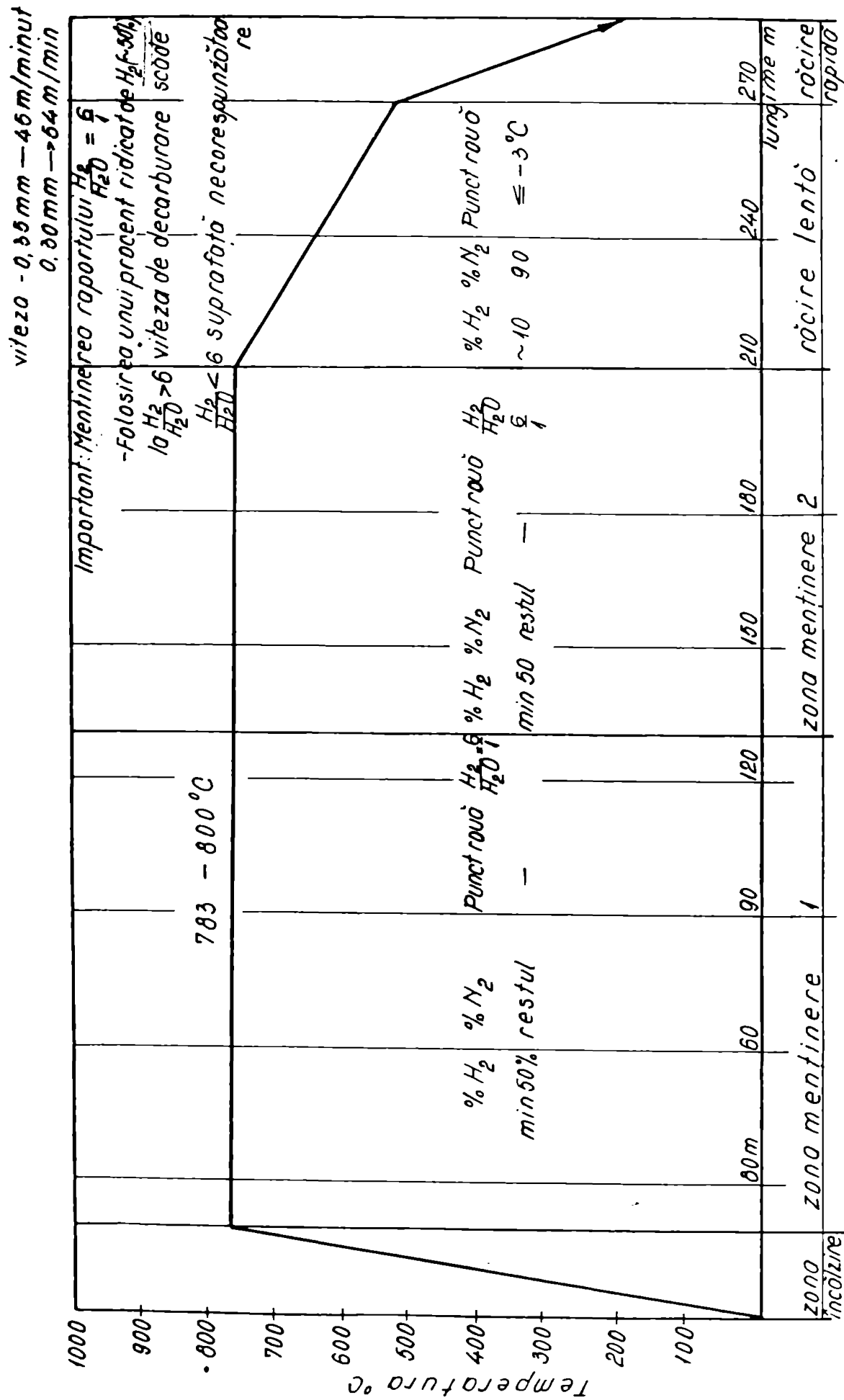
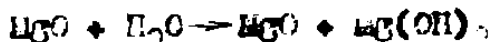


Fig 18. Diagrama tratamentului termic de recacere continuă de decarburare

Reacție de acoperire coto următoare :

- se amestecă MgO cu apă pulbereată la temperatură de aproz. 10°C , cind are loc reacția :



Procentul de Mg(OH)_2 să trebuiască să depășească 10% și pentru aceasta temperatură de amestecare se menține cu strictate la 10°C .

- se acoperă băndă prin încălzire cu amestecul format și se rulășă cît se poate de strîns (cît cît cît nu ești stratul de $\text{MgO} + \text{Mg(OH)}_2$)

- se controlează uniformitatea stielor formati, care să trebuiască să depășească 3... 11% . În timpul recocorii o parte din apă se îndepărtaază prin evaporație :



Să recomandăm să nu se lase rulările mai mult de 24 de ore între acoperire și încărcarea pentru recocere, pentru a nu se contamineze uniformitatea din atmosferă.

1.2.4. Recocerea la temperatură înaltă pentru precipitarea argoșului secundar

Este tratamentul cel mai important în producția benajilor electrochimice prin care se realizează o orientare "cab pe nucleu" (110) <100> la aproz. 90% din grăunți.

În principiu, pînă la 900°C , creșterea grăunților este frinată de particulele de inhibitor (110) uniform repartizate în masă de basă. Energia necesară creșterii grăunților în această etapă este dată de relația :

$$P = E = E_1 \left(\frac{1}{\rho} + E_2 \frac{V}{r} \right) \quad (9)$$

unde :

- ΔE = energia libera înmagazinată în grăunți la luminarea la foc;
- ρ = masa grăunților;
- D = dimensiunea precipitatelor;
- r = raza grăunțului;
- V = volumul;
- E_1, E_2 = constante;

Cea mai mare energie înmagazinată la luminarea la foc este la planul (110). Ca urmare, vor putea trece bariera de energie impusă creșterii în primul rînd grăunții cu orientarea (110)<100> rezultând o tortură cu cîte mai puternică, cu cît precipitatelor de inhibitori și un rol mai activ în frinarea creșterii grăunților.

Totuși, croitoroa grăunților nu se va putea face la o dimensiune mai mare decât un diametru critic:

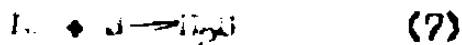
$$D_{cr} = 4 \pi / 3f \quad (6)$$

unde :

- π = rază particulei inhibitoare (nm);
 f = proporția de MnS în metal;

Pentru precipitatoare MnS de 300 \AA și un procent de MnS de 0,11%, rezultă un diametru critic de $35 \mu\text{m}$, cu mult inferior corințelor pentru tehnica electrotermică.

În croitoroa temperaturii la 1100°C , MnS se disolvă în fier și sulful este eliminat prin reacția cu hidrogenul din atmosfera cupitorului după reacția :



În același condiții croitoroa grăunților nu va fi frânată și arună și cu orientarea (110)<001> croște rapid prin consumarea grăunților vecini care au o cantitate mai mică de energie liberă în legătură la deformare. Se obțin grăunți cu un diametru de aproximativ 5 mm, temperatură (110)<001> fiind în proporție de $85 \sim 90\%$.

Diagrama de tratament este prezentată în fig. 19.

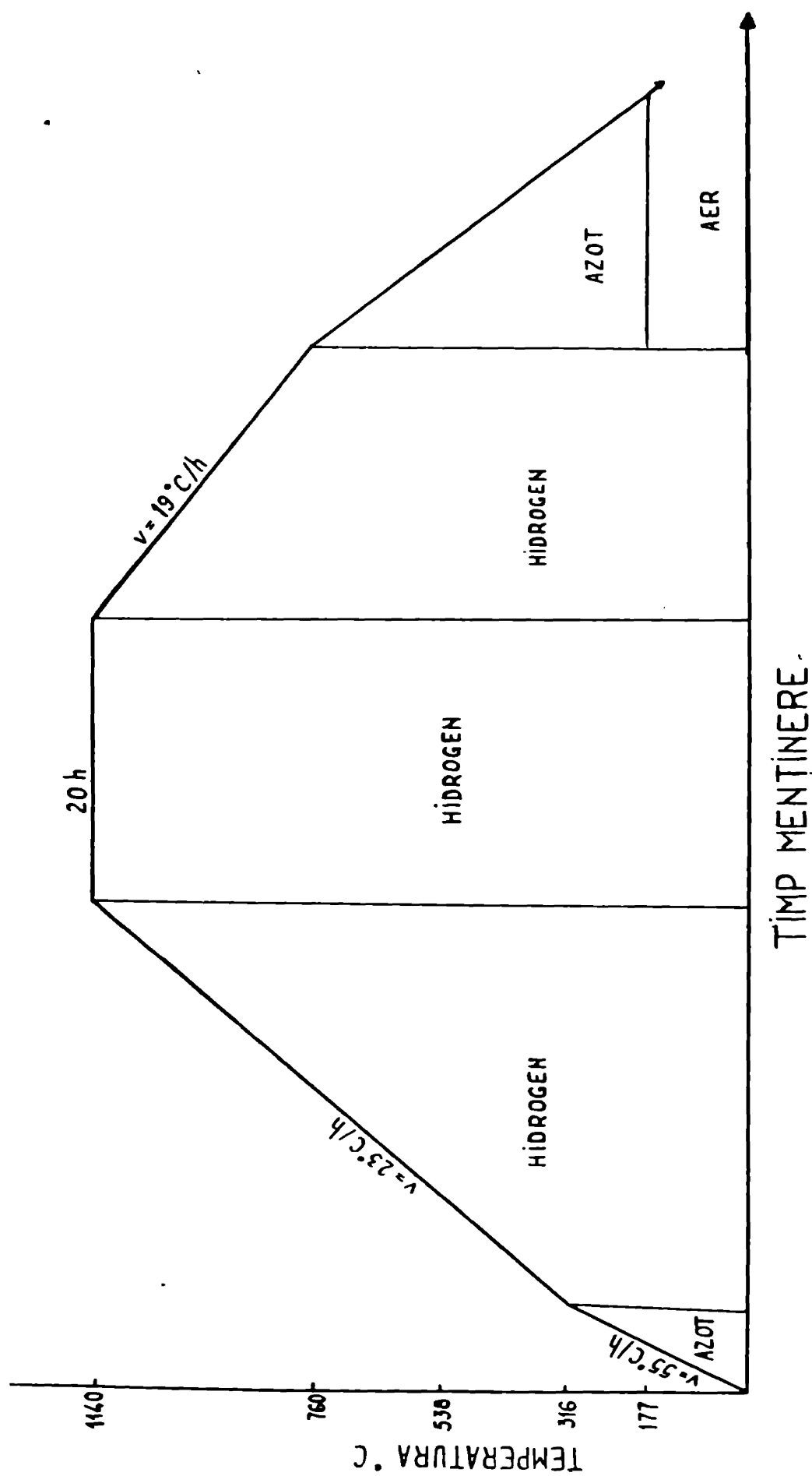


Fig. 19 Diagrama tratamentului termic de recacere de recristalizare secundară

1.3 Baza teoretica ale formării texturii cristalografice la recristalizarea otelului cu 3. M

1.3.1. Influente texturii cristalografice cu privire la proprietățile mecanice

Otelurile electrotermice cu 3. Să fiat materialo magnetic coi, care trebuie să aibă un ciclu de hysteresis îngust, permeabilitate magnetică înaltă și pierderi mici de magnetizare.

Micarea de spin și orbitală a electronilor magnetic interacționând cu structura cristalină prin intermediul funcțiilor de undă care interferă din rezultatul diforită în funcție de disociație cristalină. În felul acesta orientarea vectorului de magnetizare în paralel cu cîmpul exterior aplicat se produce un grup sau val ușor după diforitatea cristalografică, magnetizarea prezintând o anisotropie cristalină. Direcțiile cristalografice după care magnetizarea se produce mai ușor se numesc direcții de magnetizare ușoare, iar direcțiile după care magnetizarea se produce în întindută mai mari ale cîmpului exterior, se numesc direcții de magnetizare grea.

Procesul de magnetizare a cristalilor materialelor feromagnetic necesită diforită consumări de energie în funcție de orientarea cristalilor. Energia anisotropiei magnețice, care determină diferență pentru cristalele cubice, se exprimă prin următoarea ecuație :

$$F_k = k_1 (\alpha_1^2 \alpha_2^2 + \alpha_2^2 \alpha_3^2 + \alpha_3^2 \alpha_1^2) + k_2 \alpha_1^2 \alpha_2^2 \alpha_3^2 \quad (8) [5]$$

unde :

k_1, k_2 = constantele anisotropică;

α_i = componentele directoare ale vectorului de magnetizare față de muchiile cubului ;

De aici rezultă că pentru otelul cilindric (C.V.C.) direcția magnetizării ușoare reprezentată este $\langle 100 \rangle$, iar direcția magnetizării celei mai dificile - este $\langle 111 \rangle$. Acea $\langle 110 \rangle$ ocupă în acest casă o poziție intermediară (fig.20.).

Din această cauză, pentru obținerea unei permeabilități magnetice superioare, materialul trebuie să aibă o orientare a grăunților proprii de a monocrystalului, cu direcțiile de magnetizare ușoare, paralele cu direcția de lumină (fig.21).

Această textură are geometria cu planul diagonal (110) paralel cu suprafața basculi și direcția muchiei cubului $\langle 001 \rangle$ paralel

Iată ca direcția de lărgire și poziții domeniile de ferită 6060 sau "cab pe mănde".

Piesele studiu din boala de oțel silicic este împărțit într-un număr mare de domenii magnetice, mici blocuri de rețea compus magnetizato, conform fig.2.

Pentru oțelurile silicioase dimensiunile domeniilor magnetice sunt de 10^{-7} cm.

Magnetizarea și remagnetizarea feromagnetilor cu constantă de anisotropie care diferă de 0 în cimpuri nicide, se produce în urmă deplasării limitelor domeniilor. Totodată, creșterea volumului domeniilor, cu vectorii de magnetizare (I_a) care cu col mai mic unghi față de cimpul magnetic exterior, este condiționată de domenile magnetice care sunt orientate sub un unghi mai mare față de cimpul exterior. În cimpurile mai înalte, atunci cînd este încheiat procesul de deplasare (cum uneori concomitant cu el), are loc rotația vectorului de magnetizare I_a , la care direcția se apropie de direcția cimpului exterior. Practic, în cimpurile magnetice tehnice importante în care se exploatașă oțelurile electrotehnice, procesul de magnetizare și remagnetizare se realizează în principal prin deplasarea granitelor domeniilor, mobilitatea cărora este determinată în primul rînd de perfeționarea structurale a materialelor.

În magnetizarea și remagnetizarea tablăi torturăte în direcție longitudinală, se apreciază astăzi procesul de deplasare a limitelor domeniilor și și procesul de rotație, decareea la majoritatea grăunților una din axele de magnetizare egalei $\langle 100 \rangle$ coincide aproximativ cu direcția longitudinală.

Datele prezentate în fig.23 și fig.24 arată importanța mare a obținerea texturii perfecte în oțelul pentru transformator laminat la rece. Niegăzare unghiului de dispersie a texturii cu o mirină critică duce la faptul că domenii devin "orientate" și cresc entuziasmat mult. Conform datelor din literatura de specialitate, minim de pierderi totale se observă la desorientarea cristalelor de $3-4^\circ$ [5].

În influență mare asupra mirinii domeniilor magnetice e are dimensiunea granitelui din material. Un material cu grăunți mai mici are mai multe domenii pe unitatea de volum, decareea limitele de grăunți inhibă mobilitatea domeniilor magnetice. De asemenea, în final trebuie să se obțină un material cu grăunți mari.

În tipic se limitele domeniilor magnetice se mișcă la aplicarea unui câmp magnetic exterior limitate de grăunți sărind imobile. Principala obstacole în negăzarea limitele de domenii magnetice

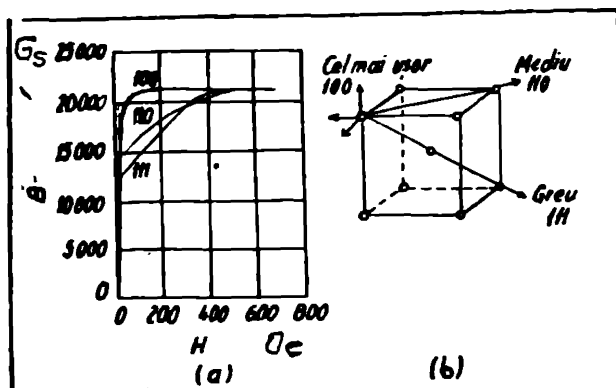


Fig.20 Dependență între intensitatea de magnetizare a fierului cu direcțile cristalografice

- b- rețeaua c.v.c. cu principalele direcții de magnetizare
- a- valorile intensității de magnetizare în funcție de direcția cristalografică

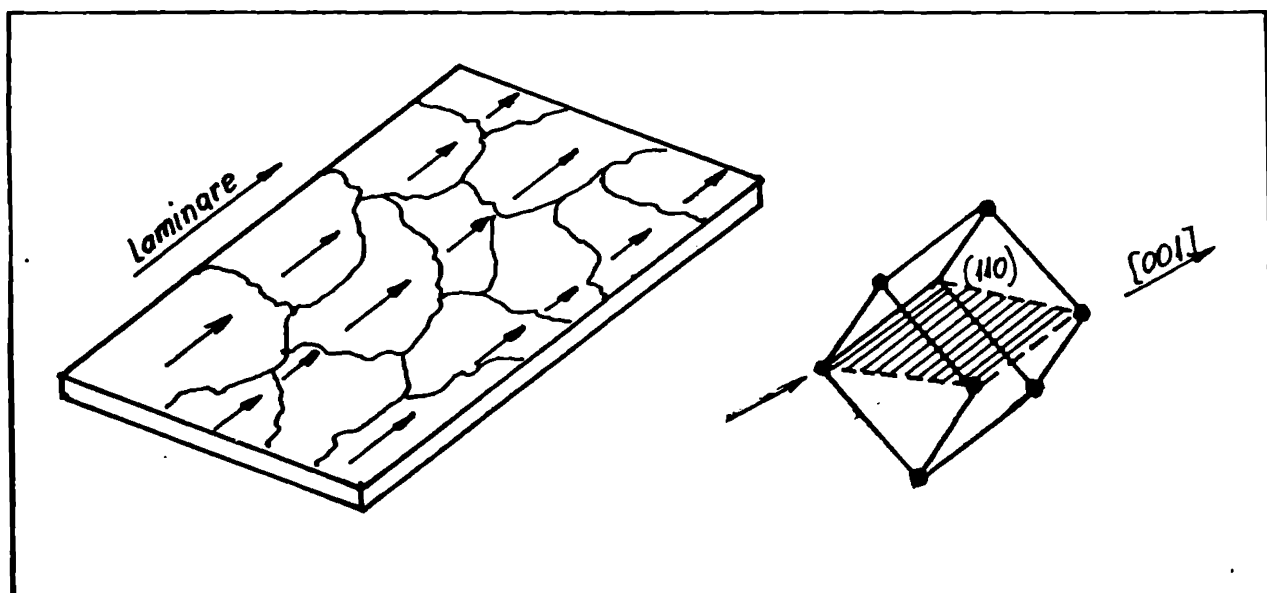


Fig.21 Orientarea cristalografică a grăunților în benzi din oțel cu 3% Si

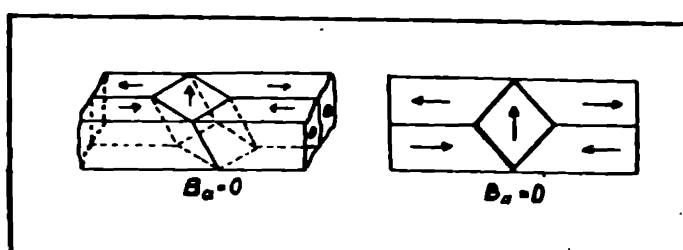


Fig.22 Domenii magnetice puse în evidență într-un monocristal de Fe-Si

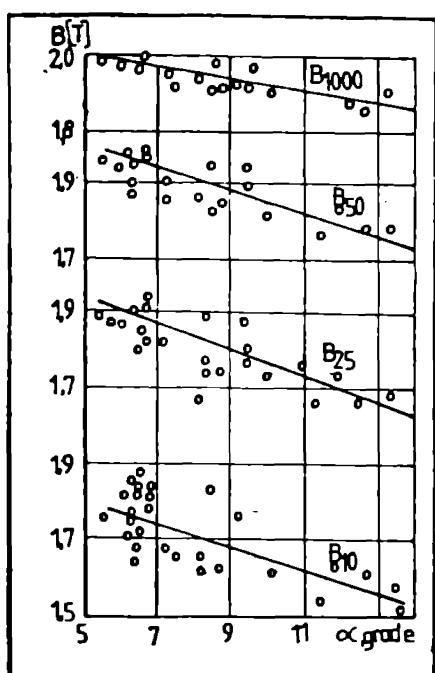


Fig.23 Influența gradului de perfecțiune a texturii asupra inducției magnetice în oțelul de transformator

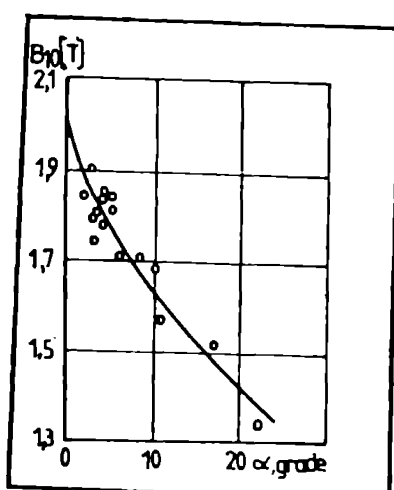


Fig.24 Influența unghiului de deviere de la orientarea ideală asupra inducției magnetice în oțelul de transformator.

cint, conform teoricii cimpului coercitiv, impuritățile și tensiunile interne [5]

Cind acestea cint eft mai scăzute posibil, magnetizarea este neșărtă și aliajul Fe-Si devine saturat la un cimp exterior suficient de mare.

1.3.2. Teoria propulsă a recristalinizării

Structura în stare deformată la răsco

Pierul policratalin se deformează după mod multe plană și direcții de alungare, dezvoltindu-se dislocații care formenă celule de deformare" sau, cum se uneori numesc "blocuri în mozaic". În timpul deformării (la gradi mari) celulele se alungesc în direcția de lungime și poroșii lor devin mai subțiri și mai difuzi. Înmulțindu-se celulelor sunt cu creșterea deformării fiind de circa $3 \mu\text{m}$ după o deformare de 5 și de $1 \mu\text{m}$ după o deformare de 60-70 [6].

Cu cint deformarea este mai severă, cu atât tensiunea de formare a celulelor structurale în interiorul granăilor este mai scăzută. Conditia de dislocații într-un metal deformant puternic la răsco este de $10^{10} - 10^{12}$ dislo. etii po cm². Perfectiunea structurii celulare (în mozaic) depinde și de impuritățile conținute în material. În materialul împărățării celulelor se insulă deosebite. Desorientarea de-alongul poroșilor celulelor este mai mică de 4, dar gradul total de desorientare în interiorul unei granăuri este în general mare (20). După recristalinizare densitatea de dislocații este puternică, ajungând la $10^7 - 10^8$ dislocații po cm².

Pe alții se arătă loc deformație, începând cu dezvoltarea crăpătorilor profunziști (tortura) după coconzianul descris în paragraful precedent.

Liberia interacționată și creșterea liberă a materialului în stare lărgită la răsco

Cea mai mare parte a materiei de deformare se transformă în căldură și numai o fracție mică de circa 10 se interacționează în rețea sub formă de defecte create în timpul deformării. Aceste defecte fiind dislocațiile și defectele punctiforme. Intrucât energia de deformare asociată unei răscoze este mult mai mică decât cea asociată unei atacuri interstitiali, se poate preciza că variațile se vor forma într-un număr mai mare decât atunci interstitiali.

Energia liberă a celulelor deformată este mai mare decât în stare receptă, având o creștere aproape de egală cu mărimea de deformare inițială. În timpul deformării plastice, creșterea entropică este secundară făcă de creșterea energiei și interne pe

absorarea energiei inițiale înstate la deformare. Astfel, relația energiei libere

$$P = E - TS \quad \text{devine} \quad P = S \quad (9)$$

unde :

- P = energia deformării la rece ;
E = energia internă (îmaginează);
T = temperatură absolute ;
S = entropia asociată deformării

Metalul nu trage spontan de la starea deformată, cu energie liberă mare, spre starea recristalizată cu energie liberă mică, din cauza complexității modificărilor rețelei cristaline. Rețelele care duc la refacerea rețelei cristaline sunt de regulă nici măcar atenționate și vocațiile din rețea, puternic activată termic.

Cel mai corectă informații despre natura sunetelor care se fac cind un metal deformat la rece revine la starea sa inițială, pot fi obținute cu studii despre eliberările energiei inițiale în temperatură de recocere a unui metal deformat anterior și a unui nedeformat. Faptul că metalul deformat se încălzește mai ușor înainte decât se poate observa nici energii inițiale care se eliberează în timpul recocărilor de revenire la starea netensionată. În figura 25 se prezintă corespondența diferențelor dintre energia necesară încălzirii a două probe, una deformată la rece și alta nă. Asociind sunetele experimentării cu studiul metalografic al probelor în diverse etape ale încălzirii, s-a observat că maximul energiei eliberate de pe curba din fig. 25 corespunde formării de noi cristale în noul metalului deformat. Procesul poartă numele de recristalizare și se produce prin rezonajarea sunetelor în cristalele vechi cu emisarea energiei libere. Conform curbei din fig. 25, energia începe să fie eliberată înaintea recristalizării. Pentru un ciclu de încălzire dinaintea maximului corespondător recristalizării, pe care se eliberează totuși o parte din energia de restaurare. Totuși un proces în care are loc revenirea la o stare determinată fără să se producă cristale noi. Când procesul de restaurare și recristalizare sunt complete, la încălzirea în continuare a metalelor se produce creșterea grăunților, proces ce nu mai este susținut de eliberarea de energie. Aceste trei etări ale protocolului de recristalizare vor fi prezentate detaliat în continuare.

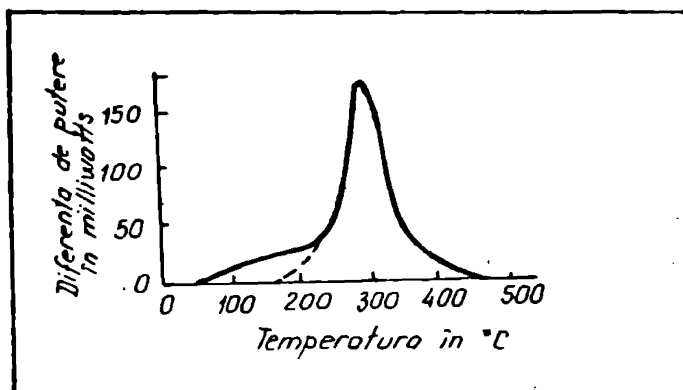


Fig.25 Curba de rezistență anisotermică pentru un material G.V.C.

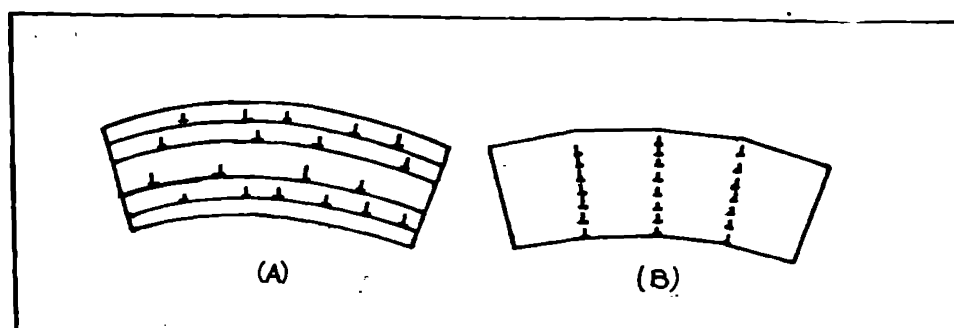


Fig.26 Rearanjarea dislocațiilor în timpul poligonizării

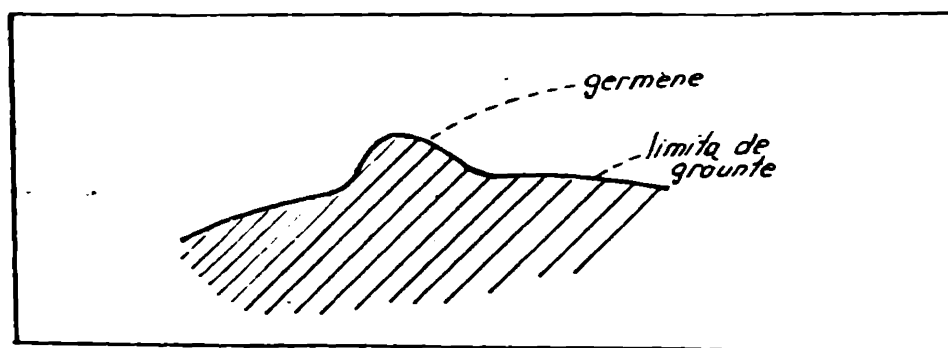


Fig. 27 Formarea germenului în mecanismul Bailey și Hirsch / 9

Restaurarea și poligonizarea

În etapă de restaurare proprietățile mecanice ale metalului au fost schimbată, ca urmare a secțiilor de trecere spre starea inițială. Astfel, cauză valorile duratăii și rezistențăii și cresc valorile ductilității, fenomene ce duc la deteriorarea rotoloii cristaline, fără a modifica eșantia structură matricială.

Restaurarea este asociată cu o formă simplă de deformare plastică în care are loc un proces de anihilarea și extinderea de dislocații, prin mijlocul lor spre un aranjament cu energia liberă mai mică (fig. 36). Conform teoriei dislocațiilor sub acțiunea efectului termic, dislocații marginale aranjate întâmplător în materialul deformat, se desprind pe planul ce alcătuiește eliniindu-se. În acest aranjament cristalul este plastic supărat în subîncălcare separata prin limite la ușchii mici care sunt formate din dislocații marginale aşezate unele sub altul. Fenomenul poartă numele de poligonizare și a fost pus în evidență prin analiza cu ruse X.

Poligonizarea este un proces complex care implică eliniindarea și extinderea dislocațiilor, procese ce implică activarea termică. Imediat, pentru o poligonizare rapidă este necesară temperaturi relativ ridicata. La temperaturi scăzute restaurarea se produce numai prin reducerea numărului de defecte punctiforme (în special vacanțe) spre valoarea de echilibru.

Recristalizarea

Procesul de recristalizare se produce pe porțiunile de măslină a carbui de conergie liberă, conducând materialul spre o stare de echilibru stabil (conergie liberă minimă).

Este un proces complex ce se caracterizează prin temperatură de recristalizare, viteza de gomărire și viteza de creștere a grăunților.

Temperatura de recristalizare reprezintă temperatură la care un anumit metal cu un anumit grad de deformare la recristalizare complet între perioade de timp, în general 1 l oră. Viteza de gomărire V_g , este definită ca razăul de nucleu (germeni) care se formează în timp de o secundă între-un continuu cub de matrice nerecristalizată.

Viteza lineară de creștere, G , este viteza cu care operează schimbările în vîrinoarea diametrală a grăunților recristalizați.

Nedele cristale gomăsești în punctele de mare conergie de deformare ale nuclei, ce intersecție planelor ce direcțiiile de eliniindare, regiunile de la intersecția grăunților.

În orice eșec, ca parte a jumătății sunt loc la punctele de curbură puternică a rețeloi. Deoarece nucleii se formează în locuri cu defor- marea centrală a rețelei bine localizate, locurile unde vor găsi aceste predeterminante. Germenii de acest tip sunt germenii preformati [7].

Au fost elaborați numeroase modele care să explică cum este posibil ca să se formeze volume de rețea perfectă, lipsită de tensiuni, care crește și conține matricea deformată din jumătate. Aceste modele respectă în general următoarele două restricții :

- O regiune de cristal poate deveni gemen și poate crește astfel încât să formeze o valoare minimă de tensiune, care crește și conține matricea deformată din jumătate.

- Un germen trebuie să fie înconjurat de către o parte de limite la unghiuri mari sau cabilante ale acestora. Această condiție se numește mobilitatea limitelor la unghiuri mari este foarte sensibilă.

Limita de grăunți și intergrăunți tipice de grăunți sunt regiuni unde există deja limite la unghiuri mari, o condiție fără deosebire. Un mecanism tipic aplicabil la polimeriale este cel imaginat de Dailey și Hirsh [9] care consideră că există o diferență în densitatea de dislocații de-a lungul unei limite în totalul deformat la rețea, la recunoaștere o porțiune din grăuntele cu rețea mai perfectă poate migra în grăuntele cu puțin perfect sub acțiunea forței determinată de diferența de densitate de-a lungul unei limite. În urma acestor mișcări de migrație a dislocațiilor limitei se va forma astfel o buclă cu rețea aproape lipsită de tensiuni (fig.27). Dacă această buclă depășește un anumit punct la un germen, aceste condiții necesare recristalinizării vor fi satisfăcute.

Într-o anumită teorie și ipoteze, privind jumătatea și creșterea cristalelor, au rezultat atât de două mecanisme de găsimere, cu probabilitate mai mare de aplicare :

- Modelul lui Ladd [10] presupune că într-un poligonajirii este posibil să se obțin grupuri capabile să crească în matricea înconjurătoare poligonajirii.

- Modelul apărelor și subgrăunților presupune că subgrăunții se combină pentru a forma o regiune de rețea lipsită de deformări suficient de mici pentru a crește. Mijlocarea sublimiteelor în această teorie poate rezulta prin rotirea subgrăunților în cauză (fig.28). În partea A a fig.28 sunt arătați doi subgrăunți lărgi de coaleconști, rotiți la avind orientări diferite. Prin rotirea unui din subgrăunți (fig.28B) rețelele capătă aceeași orientare (fig.28C) și în final se unesc.

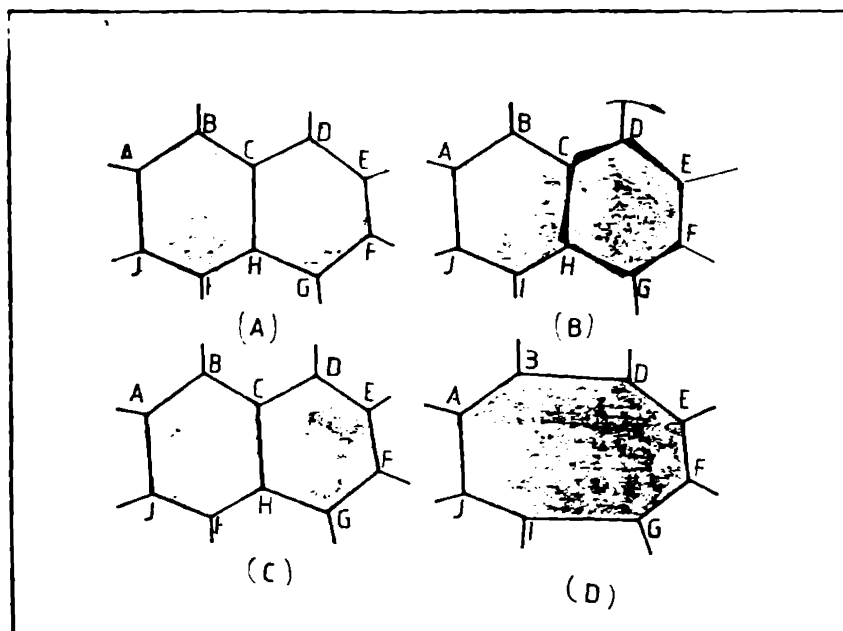


Fig.28 Coalescența grăunților prin rotația unuia din grăunți /lo/

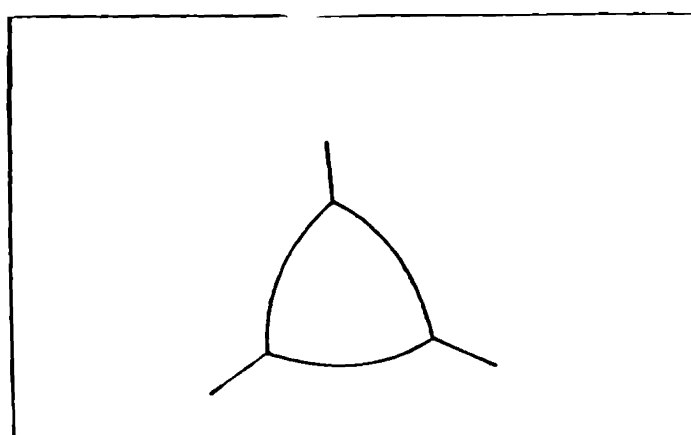


Fig.29 Forma de echilibru a unei celule cu trei lobi

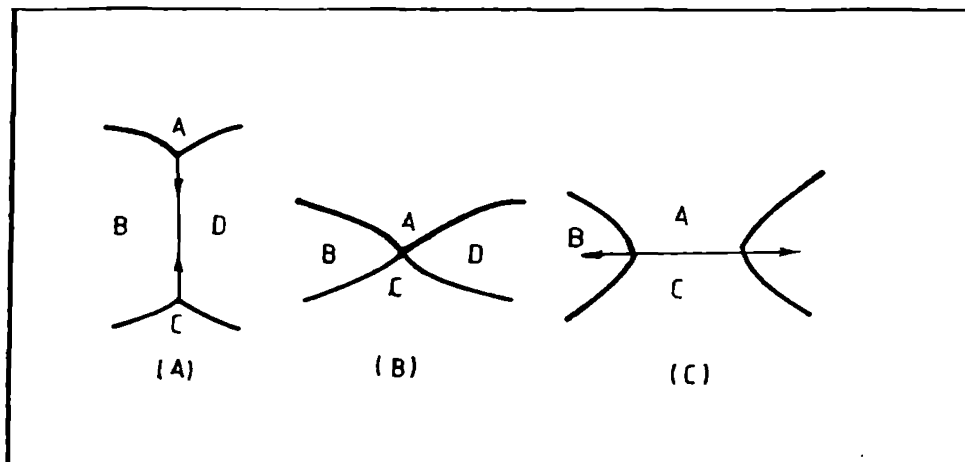


Fig.30 Mecanismul schimbării numărului de laturi ale grăun-
ților în procesul de creștere a grăunților / 11/

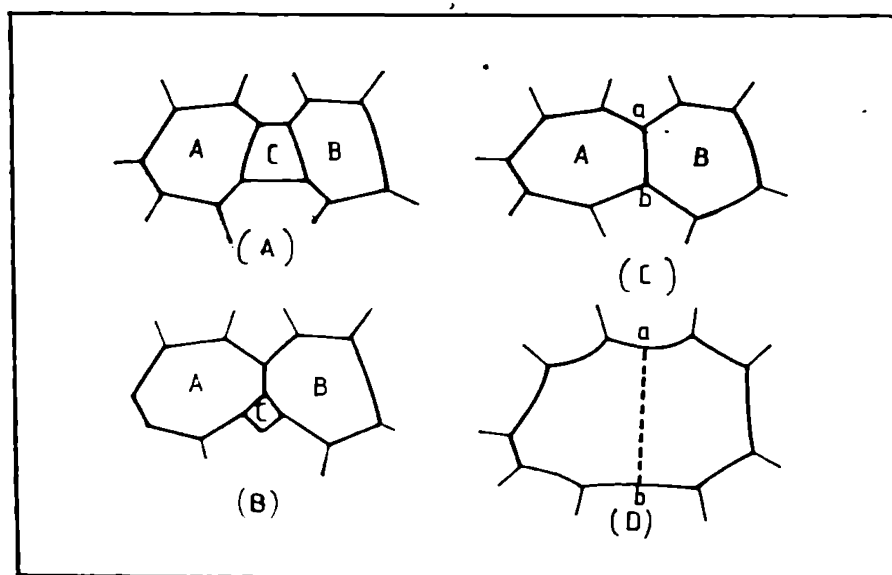


Fig.31 Coalescența geometrică a grăunților /13/

an adâncur subțiriante (fig.28 I). Coalecțește subțiriile postei și prezintă ca un rezultat al mișcării diabolocărilor de-a lungul subliniilor care corespund celei doi subgrănăție. În general se presupune că în acest proces se produce mișcarea diabolocărilor atât prin elunecare cât și prin cățărare (climb).

Mișcarea de "climb" presupune desplasarea granițelor din roțea, proces activat teratic, ce urmărește coalecția și un proces activat teratic. Mișcarea granițelor reacționalizată depinde de gradul de deformare la roțea, se reportă A/G, se parțătoea și complicită chineză a automobilului.

Croitorii celululați

În prezent este general recunoscut că în modulul cuplării se manifestă forță tractive pentru croitorii granițelor este legată de croitorii suprafațiali și limitelor. Cu cît croitorii urmăresc deținutul, mai multă lor soluție, acela se preface totuși.

Un propus mai multă măsură pentru ameliorarea nonconformității de croitorii și granițelor.

Ele sunt ca la capitolul cu existența și similaritatea dintre croitorii și granițelor și croitorii bulelor de căpușă, astfel fiind garantate de energie suprafațială. Croitorii bulelor să o pună poate să lucreze ca un model a croitorii celulure.

Se consideră o bulă aferentă de căpușă. Acea lucru în fizica de căpușă are totdeauna o precinse mai mare decât cel din afară, din cauza tensiunii superficiale a filmului de căpușă. Din cauza diferențelor de presiune care există transversal pe filmul curbat de căpușă, are loc difuzia gazului, curentul căciu transversal filmul din partea cu precinse finită în partea cu precinse jocoș, rezultând în final o adâncere a graniței bulii.

Clăuții și ecuații care trei laturi, condiția de colibru a trei suprafețe în contact care nu corespund tonurile suprafațială este ca unghiul de intersecție al fie de 120° (fig.28).

În general, celulele cu mai multe laturi cu unirea celulei cu forme de ecălibru să fie hexagonale cu unghiuri între laturi de 120° . Celulele cu un număr mai mic de laturi nu corespundă opre lateralelor celulei, deci precinse să fie mai mari în interior și ca urmare să urmeze lăsă difuzia din interior spre exterior dacă în microzonă polularul în trecă pînă la disperație. Celulele cu mai mult de patru laturi nu corespundă în afară, precinse mai mici în exterior, lăsă difuzia spre interior și vor ca să se scadă presiunea căciu din partea de patru laturi.

Un alt mecanism propus pentru croitorii granițelor este

distorsiuni auxiliare de leturi ale grănușilor [13] (fig. 39).

Datorită curățării leturilor care separă cele două B și B de la perimetru și la C, limitașele microscopice elinătoare letura AC și crează o nouă letură între grănușii A și C. Astfel, unii grănușii pierd din leturi pe cînd alții capătuă leturi.

Nielson [13] a propus un model simplificat, de coacereșteală a grănușilor, pozitionându-l geometrico.

Conform fig. 39, coacereșteală se bazează pe probabilitatea existenței unei grupuri de către doi grănușii A și B cu orientarea patră difuză, separată între ei printre-un alt grănuș C cu oprobilitate mică (mărimea de leturi). În urma coacereștealării grănușului C (energia superficială a limitelor este mai mică), grănușii A și B vin în contact pe lîngă limitele lor microscopice. În această situație, grănușii A și B devin de fapt subgrănușii între-un grănuș comun (B).

Coacereșteală reacțională se bazează pe cea mai importantă dezvoltare în cazul materialelor puternic texturate, unde posibilitatea ca doi grănușii cu orientare aproape identică să se coacereșteală în sprijinul unei mări.

Decararea nu se desfășoară fără detaliat structura limitelor de grănuș, este prin deosebită frecvență de creștere a grănușilor. În baza observațiilor și cercetărilor întreprinse pînă în prezent, se poate afirma cărora că creșterea, că în procesul de creștere, atomii din metal difuzană îl partează coacerei spre partea coniacă a limitelor de grănușe. Cu altă cîtătău curbură, cu altă cîtătău procesuală și fizică. Cu atât mai mare curbură, cu atât mai procesuală va fi procesul. Cu atât mai leu cîtătău a limitelor în dimensiunea opusă centralului de curbură.

Crescerea grănușilor este influențată de mulți factori, între care un rol important au particulele de floci secundari care pot să inhibe procesul de creștere, de unde cînd denumirea de "inhibitor". Rezistența secundară este cu atât mai puternică cu cît sunt mai fin distiluite și în constitația mai mare. Aceste secundari constituie obiectele chimice din cîteva milioane de inhibitori de hrană.

Între cei mai obișnuși procese care fac decăderea acestui inhibitor este doar că decararea prin extindere le face rezistență a creșterii grănușilor, se obțin rezultate mai bune cînd apoi se orientează leturile în sensul creșterii grănușilor comuni. Această secundară al creșterii inhibători este influențată printre restul proceselor la temperatură înaltă, temperatură la care particulele de floci secundari se disolvă în matrice, și la lipsei secundară are loc creșterea grănușilor, formând cîteva de granulații secundare.

Recristalizarea secundară este fenomenul de creștere intensă a grăunților, care are loc ca rezultat al acțiunii energiei supraficiale, apărând deosebita de recristalizarea primă și care se determină în principal energia de deformare imaginată în timpul deformării la roca. Recristalizarea secundară are loc la temperaturi de recristalizare (loc_c-loc⁰) și se desfășoară numai pe același scăderii energiei superficiale a limitelor, grăunții crescând în direcția concavității limitelor.

Recristalizarea secundară are o mare importanță în procesul de obținere a unor grăunți mari, orientație cristalografică {110}<100> din bazaile electrotehnice fabricate din oțel cu 3% Si.

1.3.3. Obținerea texturii cristalografice la recristalizarea otelului cu 3% Si

Numerose încercări sînt destinate problemei privind mecanismul de formare a texturii și determinarea influenței difiziilor parametrii tehnologici de fabricație asupra perfeclionării texturii. În decursul decenilor ce au trecut de la începutul elaborării otelului cu textură "cub pe muchie," s-a acumulat un bogat material experimental care permite să se formuleze dețul de corect condițiile de obținere a texturii perfecționate a otelului pentru transformatori.

Consele creșterii selective a grăunților, cu "cub pe muchie" la recristalizarea secundară, cu toate că s-au făcut multe preocupări, rămîn pînă în prezent neclare.

În continuare se prezintă succint o analiză a principalelor teorii care au încercat să elucidese mecanismul obținerii texturii "cub pe muchie" [5].

Conform uneia din primele ipoteze, forța motrice a creșterii anormale a grăunților cu "cub pe muchie" este condiționată de energia lor volumetrică mai mică (densitatea cristaliștilor mai mici) față de energia volumetrică a grăunților cu alte orientări a matricei de recristalizare primă. [12]. Nu s-a obținut însă date corespunzătoare în sprijinul acestei teorii.

Este apoi teoria lui SILLIK conform căreia creșterea grăunților se produce ca rezultat al coalecției grăunților mici, cu orientare apropiată [13]. În conformitate cu această teorie, ar trebui să crească și grăunții (111) <112> care au orientare apropiată în urmă lărgirii la roca ce împinge materialul lui acasă în textură.

Alți autori consideră ca forță motrice a creșterii produsă de grăunților cu "cub pe muchie" la recristalizarea secundară,

cândină sistemului spre minimum de energie la limitele graniților [14,15]. Această cete justifică termodynamica în casă în care la începutul recristalizării secundare graniții cu "cub pe muchie" au un orientaj dimensional (de exemplu, ca rezultat al gomieririi mai tipurii). Înă, lucrările ulterioare au dovedit nejustitatea acestui punct de vedere. Cu certitudine că graniții $\langle 110 \rangle <100>$ nu apar încă din altor granițe și nu predominau în studiu precedent recristalizării secundare.

Peste fi considerat mai mult sau mai puțin justificat punctul de vedere conform căruia energia la limite graniților este cu un aport important la forța motoare a recristalizării secundare, care nu determină orientarea granițelor în creștere.

În răspindite sunt ipotezele care legă formarea temperaturii de mobilitatea limită a limitelor granițelor $\langle 110 \rangle <100>$ [16]. Această fapt căr explica prin caracterul dovezit al structurii limitelor între granițe $\langle 110 \rangle <100>$ și granițe $\langle 111 \rangle <112>$ care predominau în textura după recristalizarea primară. Aceste două orientări în rețea cubică cu volum contractat sănătate legate printre rotire reciprocă cu un unghi de 35° în jurul axei comună $\langle 110 \rangle$, care se află în planul tablei perpendicular pe direcția de luminare, totodată, o parte din nodurile ambelor rețele coincid [17]. Astfel de limite între granițe cu rotație parțială "conjugată", sau "speciale", au o energie redusă [18] și în unele condiții o mobilitate marită față de limitele obișnuite [19,20].

Un argument indirect în favoarea extinderii ipotezei limitelor "conjugate" este faptul că pentru dezvoltarea texturii $\langle 110 \rangle <100>$ la recristalizarea secundară, este nevoie de o componentă mai mult sau mai puțin pronunțată $\langle 111 \rangle <112>$ în textura de deformare și recristalizare primară [21]. În același timp, după părerea autorilor, anotă deosebită motivă care pun la înălțat rolul limitelor conjugate în formarea gomonilor de recristalizare secundară. În principal, aceasta ești :

a - deci o perche de granițe alăturăți cu orientare $\langle 110 \rangle <100>$ și $\langle 111 \rangle <112>$ ce răsuogătă concomitant cu 90° în jurul axei comună $\langle 110 \rangle$ atât orientarea lor dovine $\langle 110 \rangle <100>$ și $\langle 112 \rangle <111>$. Caracterul limitelor între granițe evidență nu se modifică. Este deci să este sătăcătoare în textura recristalizării secundare, să spargă componente și orientarea $\langle 112 \rangle <111>$, cum ce nu să-ea pac în evidență.

Acest și fătă [16,18] au stabilit că limitele conjugate cupătă proporțional în viteza de migrație în prezența unei anumite

cantități de otană. Coroările au fost filcate pe plumb.

In ceea ce priveste transformator, elaborat în condiții industriale nu sunt prezente o serie de impurități, în cantități diferite, printre care și otană. De aceea, ceea ce poate fi obiectul teoriei să fie găsită noi argumente pro.

Succesul cu colaboratorii [22], apreciind probabilitatea vecinătății graniților (110) <100> cu alți graniță sau care să pot să formeze limite parțial conjugate cu ajutorul la concluzia că numărul limitelor "speciale" în textura recristalizării primare este foarte neîncorât. Astfel, teoria limitelor parțial conjugate nu dă o explicație satisfăcătoare a procesului de formare a texturii în ceea ce priveste electrochimie.

În ceea ce priveste teoria selecției a granițelor (110) <001> este legată de tendința cristalului să se miște de energie liberă a suprafeței de suprafață metal-otanofor. În aceste condiții, recristalizarea secundară este stimulată de o energie superficială redusă a granițelor (110) <001>. Analiza datelor publicate arată că există două variante de obținere a texturii "sub po machio", diferență fiind mecanismul, ale cărui particularități principale sunt următoarele :

• Prin din acesta proces se realizează în condiții de atmosferă de rocasare strict controlată (cu un frigvent vid otanofor), care conține multă de impurități în metal și o anumită densitate a suprafeței buni, ceea ce configură o energie superficială minimă a planurilor de tip (110) care au densitatea particulilor maximă în rocasă C, V, C. Variatia compozitiei atmosferelor, (de exemplu o schimbare nu prea mare a potențialului de oxigen) și temperaturii sau a duratelor de rocasare, poate să ducă la modificarea tipului de textură sau în general la supraveghere recristalizării secundare.

• Un exemplu tipic al celui de-al doilea proces constă în obținerea ceea ce în condiții industriale otanii și atmosferă poate fi diferență ; în aceste condiții metalul este supărat considerabil și pe suprafața buna se găsesc poliude grosiere de către și diferențe structurale.

În aceste condiții energia superficială a diferențelor plane cristalografice practic se egalizează. În afară de aceasta, în aceste casă devenind recristalizării secundare se formează nu pe suprafața bunei, ci la o cercare adiacentă.

De menționat de acasă că, în primul caz, ceea ce se obține grosimiță bunei se urmărește procesul de obținere a texturii

Afecte (ca urmare a creșterii apărării energeticăi superficiale la forțe motrice a creșterii grăunților) și ca poate fi obținută la grosimișimi la $0,05 \text{--} 0,025 \text{ mm}$ (și mai mică chiar); în cel de-al doilea proces se observă o legătare inversă -- la o grosime $0,1 \text{ mm}$ a banchii, obținerea torturii "cub pe măchie" este înprezentă. Astfel cel puțin în studiul inițial de recristalizare secundară, energia superficială are jocul un rol important la stimularea creșterii grăunților "cub pe măchie".

Unii cercetători fac o legătură între formarea torturii la recristalizarea eocuaderii și acțiunea coloacției a inclusiunilor asupra intensității de migrație a limitelor grăunților de orientare diforite. Astfel Brown [25] a preocupat că deformările influențează distribuirea impurităților astfel încât este posibilă limitarea direjării a creșterii grăunților. Această idee este admisă și de fricașe atât mai multe în direcție normală față de planul de lenjerie, atunci planul (llo) poate să treacă ușor peste această limită și ca rezultat se formează textura (llo) <col>.

Totodată preocuparea că genunii recristalizării secundare reprezintă grăunți ale căror limite sunt relativ libere de inclusiuni. Întrucât se folosesc diferențe inclusiuni (inhibitori) pentru stimularea formării torturii, este greu de acceptat ideea că orice-ora tuturor inclusiunilor (cu diferențe tipuri de roțea cristalină) este condiția favorabilă pentru creșterea în excludativitate a grăun-ților "cub pe măchie".

În ceea ce așez, rezultă că nu există o teorie cîtiva deosebită care să explice principalele date experimentale referitoare la recristalizarea eocuaderii în operele cu Z. și peșteru transformatorii.

Capitolul 2 Materiale și metodologia de cercetare

2.1. Metodologia generală de cercetare

Configurarea lucrărilor de cercetare care formează subiectul prezentei tese a suprins următoarele etape principale :

• studiul caracteristicilor structurale și cristalografe ale banchii lamineră la cald din oțel cu β și γ .

• studiul caracteristicilor structurale și cristalografe ale banchii lamineră la rece (textura cristalografică, distribuția și densitatea principalelor inhibitoare de β , constituită de dislocație și orientarea fragmentelor de graniță).

• studiul modificărilor structurale în tipul recristalizării primare (formarea celulelor de dislocație, poligonizarea, formarea gemenilor și noi cristale, creșterea și orientarea cuboideuzelor).

• studiul modificărilor structurale în tipul recristalizării secundare (creșterea granulelor, dezvoltarea inhibitorului, textura de recristalizare secundară).

In cadrul acestor experimentări s-a folosit mai multe metode de lucru și anume : analiza structurii prin microscopie optică, analiza cuboideuzelor prin microscopie electronică de transmisie, analiza texturii prin difracție de raze X și din cadrul instrumentului magnetooptic. Aceste metode vor fi prezentate în larg în subcapitolul 2.3., 2.4 și 2.5.

In ceea ce privește materialul analizat, s-a utilizat proba din banchă lamineră la cald la Cedefer (Bunegr) proba din banchă lamineră la rece la CCR (C. Bunegr).

Compoziția chimică este dată în tabelul nr.4

2.2. Simularea în laborator a răcirenilor termice de recristalizare și a oxidației

Pentru evidențierea modificărilor structurale ce apar în procesul de recristalizare primară și secundară, s-a circulațat în laborator regimurile termice corespunzătoare, (tabelul 3). S-a lucrat în atmosferă de protecție, prelevindu-se probă din aprobate în aprobate, pe tot parcursul tratamentului termic.

Social 4

In paralel cu acest ciclu de tratament s-a urmat evidențierea procesului de recristalizare prin modificarea microstructurii prin observarea directă a transformărilor ce au loc în material la încălzire. Această lucru a fost posibil prin studiu la microscopul electronic, utilizând un dispozitiv special de încălzire a probelor în spatele părții la o temperatură de 1000°C (în vid), astfel posibilitatea că se urmărește modificarea microstructurii pe accesoriu sănătă. Utilizând tehnica de fotografie a imaginilor propriile spații, s-a obținut în final în filă al procesului de recristalizare, rezultatele obținute fiind prezentate în capitolul 3.

..3. Metodologia de determinare a texturii cristalografice prin direcție de raze X și din curba accentului magnetizării

3.3.1. Determinarea texturii pe cale cristalografică

Texitura în raport cu volumul cristalilor polycristalini cuprinde secțiunile deformărilor mecanice dirijate după axamite direct și (laminare, prescurtare, ...) sau a efelelor termice în condiții ce favorizează recristalizarea. În esență textura se poate definii ca abordarea la anisotropia perfectă a orientărilor fragmentelor cristaline într-un polycristalini. Se spune că o formă întărită există între cristalul perfect și pulberea perfect isotropică.

Texitura influențează proprietățile mecanice, electrice, magnetică, termică și aspectul chimic al solidelor polycristalini, fapt care face să încearcă o importanță considerabilă în stabilirea calităților unui material. Spre exemplu laminatul se folosește în industriea electrotehnicii.

Din calea expusă rezultă că determinarea orientării preferentiale a polycristalilor dintr-un material și proceselor constitutivă a acestora se impune ca o necesitate pentru reprezentarea procesului de fabricație în vederea obținerii texturii dorite.

Reprezentarea texturii

Pentru reprezentarea texturii se utilizează reprezentarea polardă. Polul unui plan cristalografic este punctul de impact al normali planului respectiv cu o sferă avind ca centru cristalul.

Reprezentarea polardă a cristalului perfect oferă îngrinde unui ansamblu de puncte perfect definite prin relații unghiulare reciproce. Pulberea perfect isotropică se caracterizează printr-o distribuție uniformă de părți corespunzătoare cristalelor din volum. Perturbarile isotropiei atrăgează după sine apariția unui variații a densității de poli pe sferă. În funcție de direcțiile preferențiale se stabilesc relații unghiulare între punctele de maximă densitate de poli putându-se deduce astfel direcții și plane preferențiale de deformare. [27].

Precizia se recurge la reprezentarea figurilor polare prin proiecții stereografice. Cea mai utilizată este proiecția stereografică care prezintă unghiul conservării relațiilor unghiulare pe totuși uria proiecției. Pentru table se folosesc două mărimi unghiulare variabile: unghiul făcă de suprafață laminată și unghiul făcă de direcția de laminare.

Pentru determinarea exponențială a texturii unui polimerizat se folosește metoda de difracție a razeilor X.

Orientarea preferențială a cristalelor unui polimerizat și textura sa - poate fi pusă în evidență prin difracția razei X. Legea Bragg de reflexieată îl bazează înțelegerii teoriului riffractografic în toate ceeașile. Această lege

$$2 d \sin \theta = \lambda n \quad (1)$$

stabiliește o legătură între lungimea de undă λ , distanța d între planurile cristaline și unghiul de reflexie θ , n fiind ordinul de reflexie. Dacă relația și cu o anumită lungime de undă cade pe o probă ale cărui cristale sunt neorientate, în acest caz ce vor fi și o mulțime de cristale care să îndeplinească legea Bragg de reflexie, iar reacția reflectată va forma un con de deschidere 4θ . Intersecția unui con cu un plan perpendicular pe direcția incidentă a făcătorului va da un cerc, numit inelul Debye. El este continuarea dacă orientarea este isotropică și întrerupt dacă orientarea este preferențială. Dacă $(h k l)$ este planul de reflexie, distribuția spațială a nemănuitei acelei plane, transpusă pe o sferă de proiecție formă o figură de poli (2a). Radierea reflectată este înregistrată cu ajutorul unui coator cu canticula, montat pe un goniometru care încreză după principiul Bragg - Bremmer (fig. 32).

Coatorul va înregistra numai intensitatea de pe ecuatorul canticului de proiecție. De aceea proba trebuie rotită în jurul normalului la planul său de la 0° la 90° astfel încât să existe posibilitatea să se urmărească distribuția intensității pe întreg conul de reflexie. Aceste intensități se transpusă pe afara de proiecție. Planul de proiecție este planul de luminare în care se află direcția de luminare D.L și direcția transversală D.T. Încărcarea punct al proiecției este determinată de două coordonate (α, ψ) unde α este unghiul dintre suprafața probei și punctul dat, ψ este unghiul punctului. Amplasarea ecuatorului de difracție poate fi făcută prin două posibilități, prin reflexie și prin transmisie.

Metodologia naivă construirii figurilor de poli și determinarea texturii

Pentru construirea figurilor de poli și determinarea texturii unui material trebuie parcursă următoarea etapă :

- 1) Înălțarea probei; pleinarea și aducerea la dimensiunile capului goniometric folosit pentru determinarea texturii. Este necesar să fie figuraș plană și în poziția 0° corectă pe capul

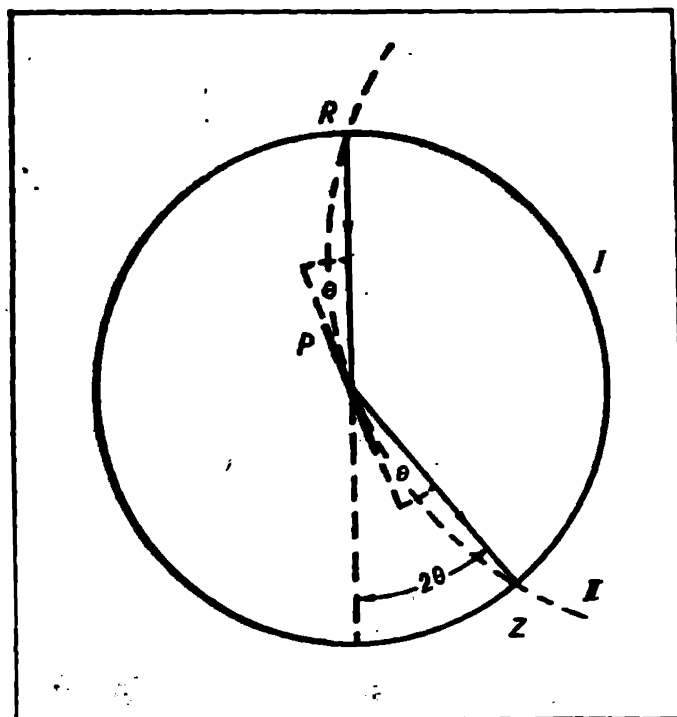


Fig.32 Schema de principiu a așezării contorului Z a probei P și sursei de radiație R în montaj de lucru (2θ pentru contor și θ pentru probă)

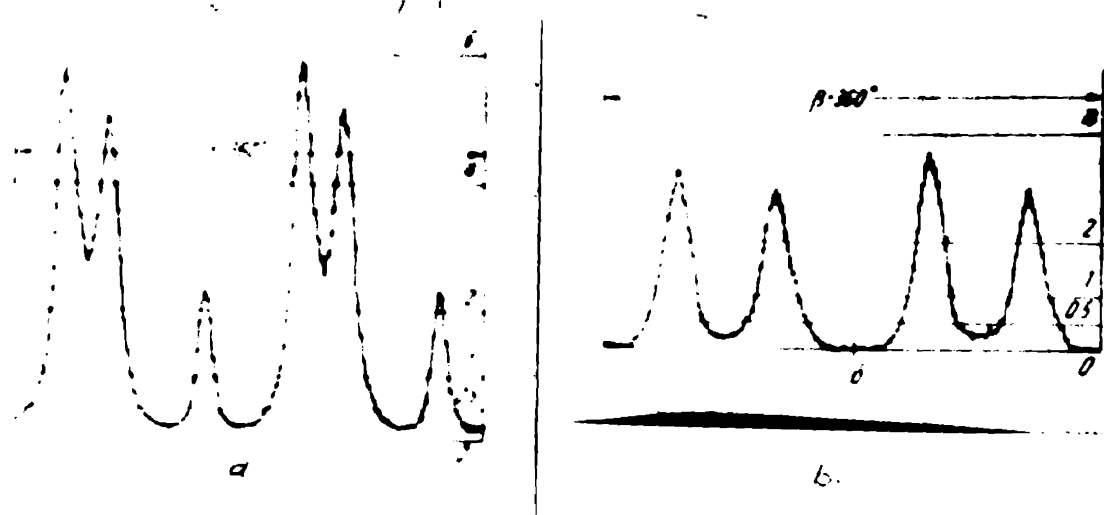


Fig.33 Curba intensității pentru $\beta = 0 - 360^\circ$

a. $\alpha' = 0^\circ$

b. $\alpha' = 40^\circ$

Liniile de nivel notate cu 0,5; 1; 2; 4; sunt trasate în raport cu o probă etalon netexturată.

gonionetric și fie riguros verticală, lucru care se verifică cu ajutorul controlorului. În poziția 0° a probelui și 180° în contor trebuie să se obțină ocoala similară de impulzuri. Reclarea este asigurată de construcția capului gonionetric. Întru lucrul prin transmisie proba trebuie adusă la grosimea de $0,005\text{mm}$ prin metoda electrochimică.

O soluție cu rezultate bune este următoarea:

apă distilată	10 ml
apă oxigenată	85 ml
acid fluorhidric	5 ml

Acesul este foarte rapid dar se recomandă ca o operație cu fie repetată la 2-3 minute și grosimea controlorului, pînă se obțin dimensiunile corectătoare. Cu totuții acesta se constată o disolvare mai rapidă a probelui către margini. Se recomandă deci că nu se va operă din dimensiuni mai mici.

2) Alocarea radiației de lucru corectătoare. De obicei Fe^{2+} , Cr^{2+} , Mn^{2+} , Ag^{+} . Se preferă Fe^{2+} și Cr^{2+} pentru metoda prin reflexie iar Mn^{2+} , Ag^{+} pentru metoda prin transmisie.

De recomandat că tubul de raze X și fie montat corect la pozitivitatea din proiectul de lucru, decarore către se produce o defocalizare care duce la scăderea și deplasarea nejustificate de factori strucțurali, a liniei de difracție.

3) Se trăiescă o diagrame de difracție peștru o variație a lui α de la 0° la 90° și se stabilește geometria instalației în așa fel ca normalele principale să se incerte pe hărția de înregistrator.

4) Pe diagrame de la pacetul 3 se înlescă în 2-3 pasi să se determine 2θ .

5) De fără control la 2θ corectătoare numai din măsură de la punctul 4, ce corespunde axei $(h \parallel 1)$.

6) Când controlul fizic la poziția 2θ peștru un plan $(h \parallel 1)$ se rotește proba în planul său de la 0° la 360° peștru inclinări $\angle = 0^\circ, 5^\circ, 10^\circ, \dots, 90^\circ$. Se obțin diagrame corectătoare celele din figura 33a și b unde $\angle = 0^\circ$ și $\angle = 45^\circ$. Se repetă aceleși operații din 5° în 5° , ideal pînă la 90° , practic însă posibil doar pînă la $70-80^\circ$.

7) Punctele de egală intensitate de pe aceste diagrame se transpun pe o afăru de proiecție (fig.34) și se obțin figuri de poli corectătoare celele din (fig.35 a, b).

8) Aceste determinări se plasează de lumenare și o direcție de lumenare se folosesc rețele standard (fig.36-38).

Se caută o rețea și cără poli se suprapun în totalitate pește polii probă corectate. Unor există mai multe une de testare și trebuie să combinaști mai multe proiecții standard.

9) Aprecierea cantitativă se face în raport cu o probă stătoare după ce intensitățile de reflecție au fost normalize.

2.3.2. Determinarea naturii probei cristalului magnetic

Metoda cristalului magnetic constă în măsurarea momentului magnetic inducă de un cîmp magnetic constant pe diferite direcții cristalografice ale unei probe, momentul total reprezentând suma momentelor gențiilor cu același orientare.

În cazul rotolei cubice, energia de magnetizare pentru o direcție dată a rotolei este dată de relația :

$$E = E_0 + K_1 (S_1^2 S_2^2 + S_2^2 S_3^2 + S_3^2 S_1^2) + K_2 S_1^2 S_2^2 S_3^2 \quad (13)$$

unde :

E = energia per/volum pentru ce o direcție dată că se magnetizează la saturare;

E_0 = energia de magnetizare la saturare/per/volum pe direcție principială;

K_1, K_2 = constante de anisotropie definite;

S_1, S_2, S_3 = coeziunile directori ai unei direcții corectate

Acuzația a fost folosită de Bogorth pentru stabilirea expresiei variatiei momentului magnetic pe diferite une cristoalografice. [33]

$$\frac{dE}{d\alpha} \quad (14)$$

unde :

L = momentul magnetic per /unitate volum

E = energia de magnetizare

α = unghiul dintr-o direcție de magnetizare și planul cristalografic de referință.

Prin urmare, din simetria cubică, de energie de magnetizare pentru acest tip de structură, se va obține valoarea momentului magnetic pentru diferite plane (tabelul 6) [33 + 35] .

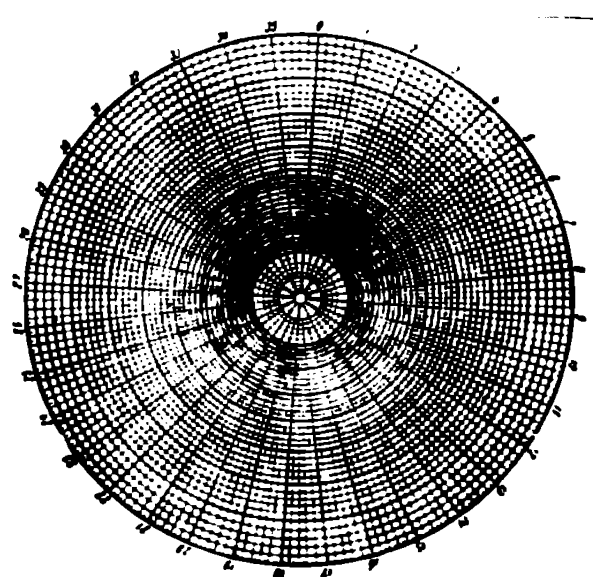


Fig.34. Sferă de proiecție. Cercurile sunt concentrice și traseate din 2° în 2° . /28/

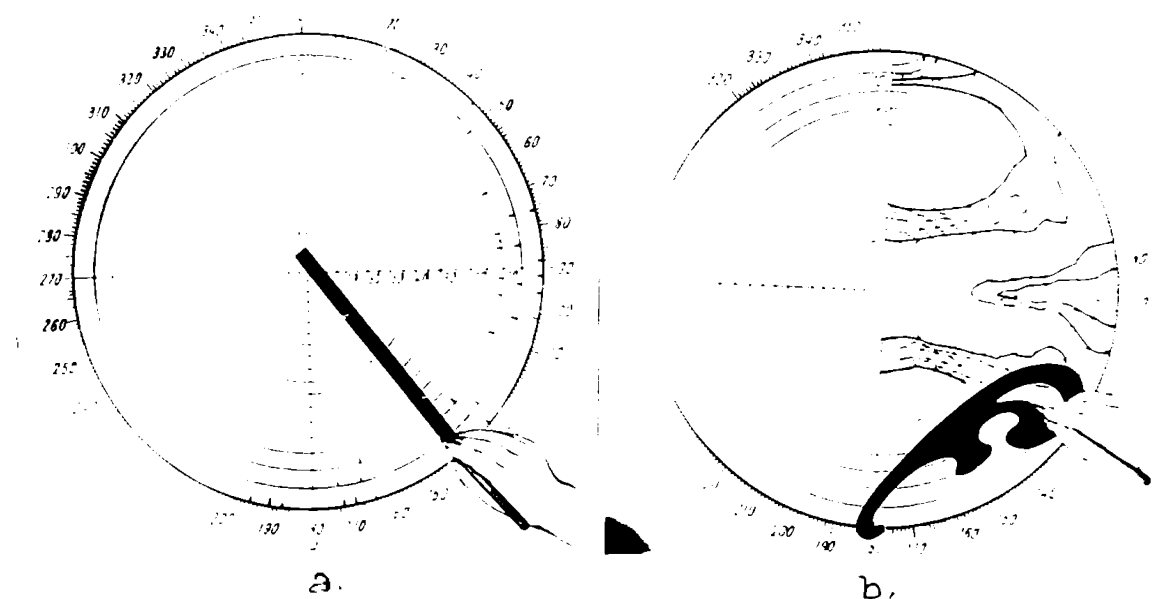


Fig.35. Modul de construire a unei figuri de poli /28/

- se notează punctele de egală intensitate;
- se unesc punctele de egală intensitate și se obțin curbe de nivel ce conturează figura de poli.

- 60 -

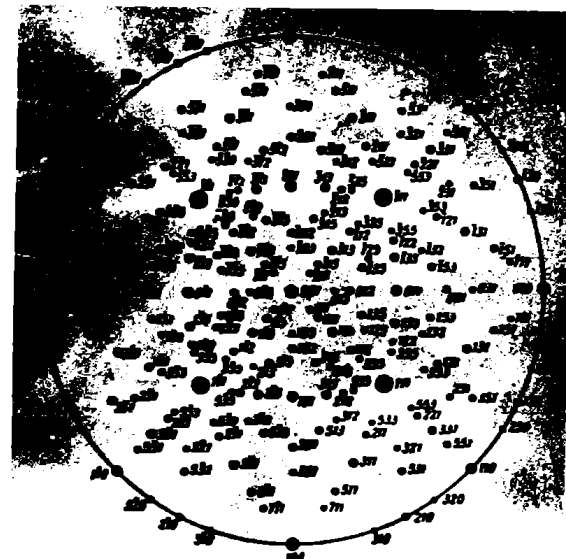


Fig. 36 Sfera de proiecție (001)

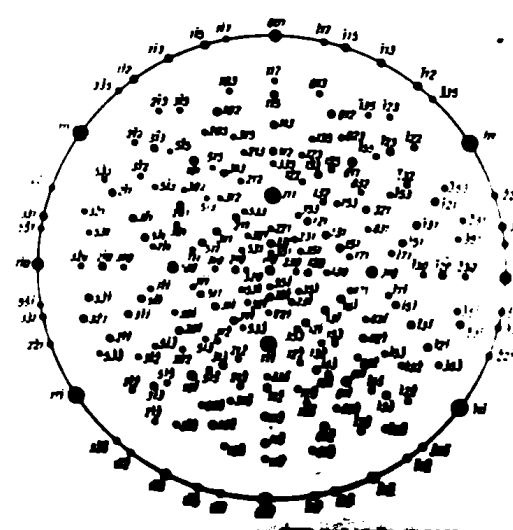


Fig. 37 Sfera de proiecție (110)

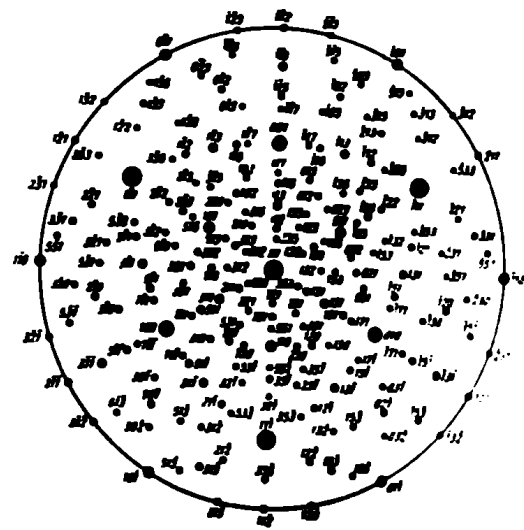


Fig. 38 Sfera de proiecție (111)

PARTIAL 5

No. crt.	(Hz)	[EKL]	L
a.	100	100	$\frac{k_1}{2} (\sin \alpha)$
b.	100	110	$\frac{k_1}{2} (\cos \alpha)$
c.	110	100	$\frac{k_1}{2} (-2 \sin^2 \alpha + 3 \sin 4\alpha) + \frac{k_2}{2} (-\sin 2\alpha)$
d.	110	120	$\frac{k_1}{2} (2 \sin^2 \alpha - 3 \sin 4\alpha) + \frac{k_2}{2} (\sin 2\alpha)$
e.	111	110	$\frac{k_1}{2} (-\sin 6\alpha)$
f.	211	110	$\frac{k_1}{2} (-2 \sin^2 \alpha + 7 \sin 4\alpha) + \frac{k_2}{2} (13 \sin 2\alpha)$

Comparind datele teoretice cu rezultatelor experimentale, s-a stabilit că numai termenii ce conțin pe $\sin 2\theta$ și $\sin 4\theta$ au o contribuție semnificativă, ceea ce condorente cu ecuația formula :

$$L = A_2 \sin 2\alpha + A_4 \sin 4\alpha \quad (15)$$

unde :

A_2 și A_4 sunt constante care se determină empiric.

În cadrul ciclului PMSM, texturile propulsante din tip (a) și (b), și cele din texturile (c) și (d), iar cele de tip (e) și (f) nu sunt luate în considerație, urmărind un volum residual (V_r).

În funcție de valorile coeficientelor A_2 și A_4 sunt stabiliști următoarele tipuri de texturi (taboul 6) [30,37]

Tabelul 6

Δ_2	Δ_3	V_a	V_b	V_c	V_d	V_e
< 0	$< \frac{3}{2} \Delta_2$	$\frac{3\Delta_2 - 2\Delta_4}{2}$	0	$\frac{-4\Delta_2}{E_1}$	0	$2\Delta_2 - V_0$
< 0	$> \frac{3}{2} \Delta_2$	0	$\frac{2\Delta_4 - 3\Delta_2}{E_1}$	$\frac{-4\Delta_2}{E_1}$	0	$2\Delta_2 - V_0$
> 0	$< \frac{3}{2} \Delta_2$	$\frac{-2\Delta_2 + 2\Delta_4}{E_1}$	0	0	$\frac{4\Delta_2}{E_1}$	$2\Delta_2 - V_0$
> 0	$> \frac{3}{2} \Delta_2$	0	$\frac{2\Delta_4 + 3\Delta_2}{E_1}$	0	$\frac{4\Delta_2}{E_1}$	$2\Delta_2 - V_0 = V_d$

Valoarea lui k_1 depinde de compozitie chimică a concretului cimentat. În cazul otelului silicic, următoare a propus următoarea relație pentru calculul lui k_1 [36 - 37]

$$k_1 = (0,21 - 0,532p) \cdot 10^5 \quad (16)$$

unde :

p = procentul de siliciu din otel

Experimentul se procedează în felul urmator : momentul magnetic se înregistrează continuu în magnetometru pentru o rotație a proiec $0^\circ \rightarrow 360^\circ$ în clipă constantă (figura 39).

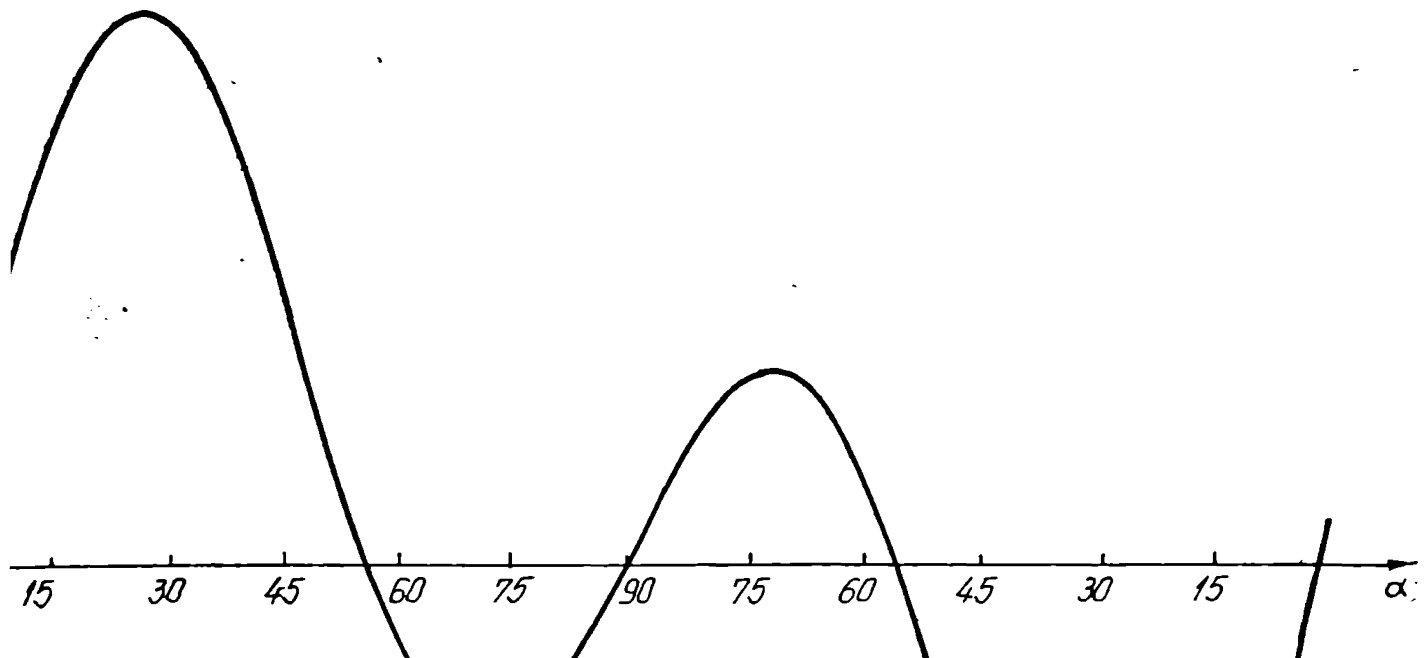
Să determinăm prin măsurare valorile lui L pentru $\alpha = 15^\circ, 30^\circ, 45^\circ, 60^\circ, 75^\circ, 90^\circ, \dots, 180^\circ$. De la 90° la 180° curba este născotă și cu cos de la 0° la 90° față de axă. Se calculează valoarea nodului și se introduce în ecuația (15).

Să determinăm valorile Δ_2, Δ_4 care dau timpul de testură. Se calculează k_1 din relația (16) și se stabilește compoziția de testuri V_a, V_b, V_c, V_d .

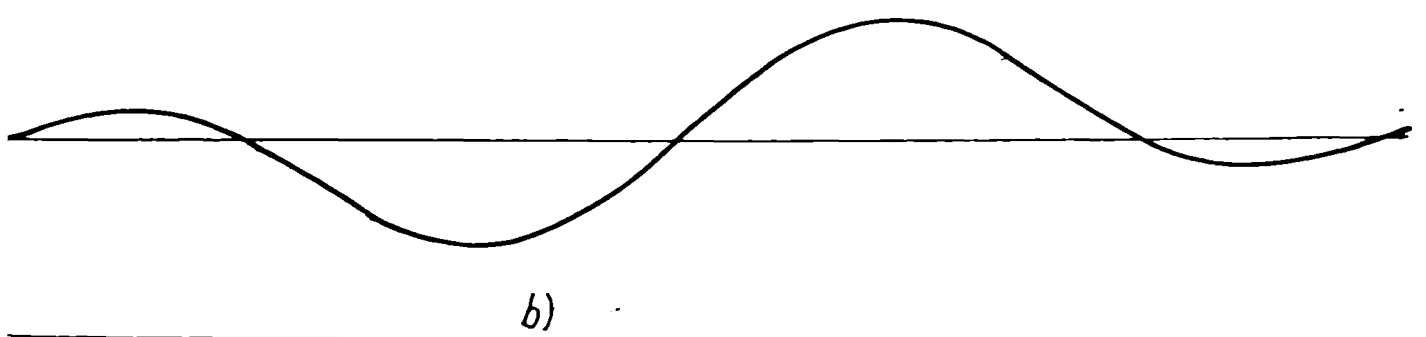
Să fiind un trunchi cuboidal, componentele de testură se grupăază către două (aceea ce se vede și din tabelul 5).

Aceste lucru și faptul că testurile de tip (e) și (f) nu sunt luate în considerație, făc ca această metodă să nu fie eficientă în determinarea testurii unui material. De se completează cu analiza seismografică prezentată în subcapitolul precedent.

Metoda compozitului de beton se aplică la baza finală de oțel silicic și testura șase oțete proponerentă.



a)



b)

Fig. 39 Curba momentului magnetic;
a) material texturat
b) material netexturat

2.4 Metodologie de analiză cu microscopul electronic a densității și repartitionii precipitatelor inhibitoare de RnS

Să făstă determinante în dezvoltarea recristalizării secundare, după cum s-a mai arătat în capitolul 1, o conotinție prezentă microinclusiunilor de RnS.

Importanța inclusionsilor de RnS a fost pentru prima dată menționată de către May și Turnbull [38]. În urma cărora dezvoltarea testurii (Ilo) [60], pe parcursul tratamentului termic la care este supus aliajul FeSi, este nevoie ca materialul să conțină o a doua fază în stare disperzată. Această testură multiconcentrată se dezvoltă printr-un proces de recristalizare secundară, care atrăbește calea de-a doua fază funcționalitatea de stimulator al acestui proces. În ceea ce privește această funcționalitate, s-a trezit concordanță cu ea constată în principal, în inhibarea eroziunii normale a grăboi-exploratorului recristalizării primare. În urma cedanței ei se face rotura la care se produce efectul extinsat, (turbura prezentată și recristalizarea secundară) împingând concentratia și stabilitatea calei de-a doua fază. Cauza asta este considerată să fi cultura cu unjan (RnS). "condiție importantă" ce trebuie să se realizeze. De particulele de RnS pentru a-și îndeplini rolul de inhibatori, este nevoie să prezinte încă din stadiul de uniformă distribuție". Aceasta lucru se realizează în timpul încălzirii la $1350^{\circ}\text{C} \sim 1400^{\circ}\text{C}$ unde procesul laminar se oprește și în locul lui se desfășoară colubilizarea culturii de unjan (fig.43).

Recalcul este apus după unei zile rapide (de ordinul lunielor) pînă la o temperatură sub 900°C , "având în vedere că precipitația particulelor de RnS cu diametru de ordinul celor de angstroni.

Studii efectuate de diversi cercișori au constat la un rezultat referitoare la dimensiunile, densitatea, morfologia și compoziția particulelor inhibitoare, dovezită de importanță pentru caracterisarea condițiilor în care ele își îndeplinesc rolul de inhibatori ai recristalizării primare. Așa, experimentările efectuate de I. Iocșea și Kassas [39] au evidențiat dependența de temperatură a dimensiunilor și densității de particule inhibitoare. Așa, dacă în cursul tratamentului termic efectuat la 750°C , dimensiunea medie a particulelor este găsită a fi de 580 \AA , la 980°C se ajunge cu fie de 1000 \AA . La 750°C densitatea de particule este de $6 \times 10^{12} \text{ part./cm}^3$, iar la 980°C este $1,5 \times 10^{13} \text{ part./cm}^3$. Formă

particulelor este oferită pentru tratamente termice efectuate la temperaturi cuprinse între 750°C și 1090°C , iar în epociere de 1200°C particulele se "bolișoară" ceea ce face cubicii sănătoși să devină hranăzăli. Atingerea și depășirea acestei temperaturi conduce la dezvoltarea aproapeabilă a materialului și în structura acestuia se văd pot observa cumării isolat particule de fier, ale căror dimensiuni nu sunt aproapeabile.

In ceea ce privește compoziția chimică, Flouresc și Karsa ajung la concluzia că precipitația inclusiunilor pot conduce la egruție oricărui din fazele α , β sau γ caracteristice acestui compus chimic.

In ceea ce privește corelația dintre dimensiunea medie a inclusiunilor și funcționalitatea lor ca stimulatori indirecti ai recristalizării secundare, merită subliniato rezultatele experimentale obținute de Molotilov și Iakovskia [40].

În urma arătatelor și studiilor care au realizat, în GDR din cercul de studii, dimensiunea medie a fost de 50nm , iar în restul cercurilor de 100nm ; dimensiunea minimă observată a fost de 25nm , iar "ca maxim" de 1000nm . Metoda mărită de densitatea de particule și conduce la valori cuprinse între 6×10^{12} și 4×10^{14} particule/ cm^3 . În probă în care dezvoltarea recristalizării secundare nu a fost favorizată de prezența inclusiunilor, dimensiunea medie a acestora este de 100nm , înținându-se în mod frecvent particule cu dimensiuni cuprinse între 1500 și 4000nm , limita superioară observată fiind de 10000nm ; densitatea medie determinată în aceste probe a avut valori cuprinse între 2×10^9 și 10^{10} particule/ cm^3 . Valurile obținute în cazul în care inclusiunile făgăind linie de funcție de inhibitor, atât pentru dimensiunea medie a particulelor cât și pentru densitatea lor concordă bine cu valurile reportate de Flouresc și Karsa pentru tratamentul termic la 750°C . Pentru determinarea compoziției chimice a inclusiunilor, Molotilov și Iakovskia au folosit atât criteriul experimental "indirect" al analizei struc-
turale cât și cel "direct" al observării spectrului razeelor X de emisie. În următoarele paragrafe se vor prezenta rezultatele obținute obținute de Molotilov și Iakovskia și rezultatele obținute de Flouresc și Karsa.

In ceea ce privește compoziția chimică a particulelor de inclusiuni inhibitori, o atenție deosebită accentuată rezultatelor recente obținute de Rejocer și colaboratorii [46] folosind un analizor LAM, studiile efectuate arată că majoritatea particulelor de

inclusioni de dimensiuni relativ mari (1000 \AA) cu compozitie MnS; pentru cele ale cărora dimensiuni sunt cuprinse în domeniul 200-400 \AA . Se căză, elementul constituent de bond observat a fost siliciul singur, sau presărat alături de mangani și calciu.

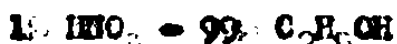
În contradicție cu rezultatele obținute de diverși cercetaitori se poate explica prin caracterul complex al naturii particulelor de inclusioni și metodele de investigație diferite pe care le-au utilizat în experimentările efectuate.

Mecanismul prin care aceste particule își îndepărtează rolul de inhibitor nefiind încă elucidat, lucrarea de față își propune să aducă date noi în deschiderea procesului de recristalizare primară și secundară, proces în care aceste particule au un rol important.

În acest scop s-au prelevat probe din diferite etape ale procesului de recristalizare primară și secundară urmărindu-se evoluția inhibitorului. Analisole s-au efectuat la un microscop electronic prin transmisie tip JEM 100 CX pe replici de extracție. Metoda de obținere a unei replici este următoarea :

a= eguațional se lăzăriște chimic într-o soluție de HF (1M) + H₂O₂ (30. = 50 ml) și până se obține o suprafață curată, fără risuri. După lăzărire, proba se introduce pentru pacivare într-o baie saturată de CrO₃. Se spălă, se usucă pe hârtie de filtru.

b= se execută un atac chimic cu o soluție de



c= se acoperă cu un strat de carbon de grosime 300-400 \AA într-o instalație cu vid (evaporator).

d= eguațional acoperit cu carbon se cerioasă în nici pătrate și se introduce într-o baie electrolitic pentru decompunerea replicii.

Soluția are compozitie : C₂H₅OH (locul) +. FeCl₂ (2ml) + CH₃COOH(2ml) Se lăzărasă cu o tensiune de 7V, decompunerea replicii efectuându-se în 1-2 min. Replicile se enăștează din baie și se introduc pentru apăsare în alcool etilic (C₂H₅OH).

e= se enăștează replicile pe grilă și se introduc în microscop pentru studiu. Practic replica este formată din stratul de carbon depus la evaporator în care sunt înglobate particulele de inhibitor ameliorate la suprafața eguaționalui (table de 0,3 mm grosime).

Studiu în microscopul electronic al replicilor constă în măsurarea diametru rului mediu al particulelor și distribuția acestora pe dimensiuni prin surărare. Se lăzărasă la cărți cuprinse în intervalul X20000 - X50000 și se măsurasă între 200 și 800 particule pe fiecare replică.

Observațiile se fac în general pe 40 cîmpuri, în cazul în

care există o distribuție foarte uniformă, numărul de cimpuri analizate se reduce la 10.

Rasa medie a particulelor se calculează cu relația :

$$\bar{r} = \frac{\sum n_i r_i}{\sum n_i} \quad (17)$$

unde :

n_i = numărul de particule analizate (măsurate)

r_i = rasa măsurată particulei n_i

În ceea ce privește dimensiunile de particule, acesta se poate determina pe două căi :

• se preocupă cu sulful din material se regăsește în totalitate sau formă de MnS . Această ipoteză este în parte justificată de faptul că solubilitatea Mn la temperatură camerei este foarte mică, iar concentrație stoichiometrică a sulfului este mai mică decât a magneziului.

Contra determinarea formulai de calcul se placează de la relația de obținere a rasei

$$S + Mn = MnS \quad (18)$$

rezultă : $\frac{M_S + M_{Mn}}{M_{MnS}} = \frac{M_{MnS}}{M_{Mn}}$ (19)

dacă : $\frac{n_{MnS}/cm^3}{n_{Mn}/cm^3} = \frac{mg/cm^3}{mg/cm^3} \cdot \frac{M_{MnS}}{M_{Mn}}$ (20)

$$V_{tot \text{ Mn}/cm^3} = \frac{mg/cm^3}{M_{MnS}} \quad (21)$$

Numărul de particule pe cm³ se calculează cu relația :

$$\bar{n}/cm^3 = \frac{V_{tot \text{ Mn}/cm^3}}{V} \quad (22)$$

unde :

V = Volumul nodus al particulei este $\frac{4\pi}{3} R^3$

dacă :

$$\bar{n}/cm^3 = n_0 \cdot cm^3 \cdot \frac{S + M_{Mn}}{M_{Mn}} \cdot \frac{1}{\frac{4\pi}{3} M_{MnS} \cdot \frac{4\pi}{3} R^3} \quad (23)$$

Din relația $\frac{n_0}{100} = \frac{M_0}{M_{Fe}}$ rezultă $n_0/cm^3 = \frac{M_0}{M_{Fe}} \cdot \frac{79}{100}$ (24)

În aceste casă relația (22) devine :

$$\frac{\rho_{Fe} \frac{2\pi}{3}}{100} = \frac{k_{Fe} \rho_{Mn}}{k_{Mn}} \quad (25)$$

$$\rho_{Mn} = \frac{4\pi \bar{r}^3}{3}$$

Se cunosc datele :

$$\rho_{Fe} = 7,8 \text{ g/cm}^3$$

$$\rho_{Mn} = 5,4 \text{ g/cm}^3$$

$$k_{Fe} = 32$$

$$k_{Mn} = 55$$

Introducind aceste valori în relația (25) se obține :

$$\bar{n} = \frac{7,8 \cdot 32 \cdot 5,4 \cdot 10^{20}}{55 \cdot 4} \quad [\text{particule/cm}^3] \quad (26)$$

De densitatea de particule se calculează în exclusivitate pe baza măsurătorilor efectuate în microscop. În stabilitarea relației de calcul ce pornește de la relație bine cunoscută conform căreia fracția de suprafață = fracția de volum.

Deci, putem scrie relația :

$$S = V \quad (27)$$

care devine

$$\frac{n_1 \cdot \bar{r}^2}{S} = \frac{n_2 \cdot 4\pi \bar{r}^3}{V} \quad (28)$$

unde :

n_1 = numărul de particule de pe suprafață observată ;

\bar{r} = raza medie a particulelor analizate

n_2 = numărul de particule ce corespund în volum ;

V = volumul coresponditor .

În ceea ce interesează $\frac{n_1}{S}$ unde $V = 1 \text{ cm}^3$

Deci :

$$\bar{n} = \frac{n_1}{V} \quad [\text{particule/cm}^3]$$

Din relație (28) rezultă formula pentru \bar{n}

$$\bar{n} = \frac{n_1 \cdot 3}{S \cdot 4\pi} \quad (29)$$

În acestă relație avem :

n_1 = numărul total al particulelor cunoscute
numărul de cimpuri analizate

3. Suprafata personalului din microscop pe care o sa fi putut studia
 si (mărimea la care s-a luat)

$$\gamma = \frac{\sum M_i}{\sum m_i} \cdot \frac{1}{n}$$

In lucrarea de fată s-au făcut determinări prin cibolo metode. Rezultatul obținut este prezentat în capitolul 3.

In ceea ce privește natura inclusiunilor, aceasta este determinată atât pe cale spectrometrică (cu ajutorul analizatorului EDAX) cât și direct prin analiza imaginilor de difracție electronică obținute pe particule. Rezultatul său de acordare este prezentat în capitolul 3.

2.5. Metodologia de analiză a procesului de recristalinare și texturare cristalografică prin microscopie electronică de tranziție pe folii subțiri.

Studiul cristalizării prin microscopie electronică de tranziție oferă posibilitatea obținerii unor date complete asupra microstructurii cristaline, a defectelor, precipitatoarelor, limitelor de graniță, precum ca face posibil cunoașterea mai detaliată a proceselor metalurgice de aleburare, deformare plastică și tratament termic a materialului respectiv. Posibilitatea cercetării imaginii de microscopie cu imaginea de difracție de electroni pe aria selectată largă oferă de aplicabilitate a studiului cristalografic la nivelul unui defect certain în cristal, cum sunt dislocațiile sau defectele de împachetare, sau la nivelul unor precipitate. Desvoltarea metalurgiei fizice, a studiilor de raze X în problema de metalurgie, a cărui complementară este dezvoltarea tehnicilor de microscopie electronică în acest domeniu.

Studiile de metalurgie începute în anii '60 prin metoda de replică de suprafață sau de extincție, care prelungește puterea de rezoluție a microscopiei optice sub domeniul $0,1/\mu\text{m}$ au cedat apoi locul studiilor directe pe folii subțiri subțiate electrostatice sau prin difuzie termică, pentru ce în ultimii 5 ani au apărut studii directe pe roțea cristalină la rezoluția de $1-2\text{\AA}$, în multe probleme de metalurgie.

Rezultatele obținute din fizierul A.C. Bell asupra structurilor cristaline cunoscute său dovedisă că sunt insuficiente pentru caracterizarea tuturor structurilor polozate de difracție de electroni, care pot să evidențieze forme și structuri noi sau forme metastabile a unor compuși.

În ultimul două decenii s-a elaborat multă monografie în acest domeniu, privind metodica de lucru, prepararea probelor, teoria contrastului, interpretarea imaginilor de difracție, etc.

În lucrările de față s-a urmărit evidențierea unor fenomene structurale ce au loc în tipul procesului de recristalinare primară și secundară. Întrucât se poate, s-a efectuat un studiu în paralel și în primul rînd s-a efectuat tratamentul termic de recristalinare primară și secundară într-un cuptor cu atmosferă controlată, prelevându-se probă din 100°C în 100°C pînă la temperatură de 100°C și apoi din 50°C în 50°C pînă la temperatură de 1150°C , urmărind transformările structurale ce au loc la diferite temperaturi; în paralel cu aceasta s-a aplicat tratamentul de recristalinare în microscopul electronic prin ionizarea probelor în stare lamineră la roco pînă

la temperatură de 1050°C uscărindu-se în acest fel procesul de transformare a structurii direct pe probă.

In ceea ce privește tehnica de prelucrare a probelor pentru studiul cu ajutorul microscopului electronic prin transmisie, acesta a fost realizat pe o instalație de tip Metathin.

Principiul concretiv este bazașă pe metoda subțierii în dublu jet, cu probe în formă ; instalația are o serie de parametri de lucru privind tensiunea, viteză jetului, temperatură, care se verifică pînă ce atinge regimul optim de lucru necesar obținerii unor probe curate, cu piajă mare de explorare.

Soluția de sub iero folosită are următoarea compoziție :

10 părți acid acetico glucozic

1 parte acid percloric

- temperatură de lucru a fost $17-18^{\circ}\text{C}$.

Probela obținute având la momentul etapei inițiale un orificiu de diametrul de $30 - 50/\mu\text{m}$ și prezintă unele transparente suficiente de lungi pentru studiu la microscop. Studiul la microscop este afectat folosind tropă de antisemiconductoare cu supt lichid, ceea ce a permis observarea întărângării a unei zone a probei fără deteriorarea acetozice, perclorice, probele obținute astfel : din tabla de grosime $0,35 \mu\text{m}$ s-a ocupat ușor discursiunile cu diametru de $5 \mu\text{m}$. Acestea au fost suptiate electrolitic după metoda mai cu prezentată, apălate în apă, uscate pe hîrtie de filtru, așezate în dispositivul microscopului și introduse în spate, și a folosit un goniometru "side entry" (lateral) cu $\pm 60^{\circ}$ posibilități de inclinare. În aceste condiții, cînd fiind o sondă alcătuită din probă, sonda postea și inclinată în jurul axului de sonă principal, în care se găsește față de axul microscopului, punindu-se în contract optim defectele din material și menținând să fi studiate. De asemenea se poate trage unor de la un sau de două la altul.

Pentru interpretarea rezultatelor obținute prin studiul la microscopul electronic de transmisie, există numeroase date cristalografice cu privire la materialul lui studiat.

In cazul cristalului Zomil (β Si) cristalul este constituit din Po_2Si are o strucție cristalină cubică cu un volum central cu parametrul roțolei $a = 2,86 \text{ \AA}$.

Astăzi se știe că deformarea unui material este loc prin elucubrarea blocurilor de cristal unde peste eltele pe distanțe egale cu un număr întreg de vectori de translație ai roțeliei.

Mecanismul de alunecare este descris de sistemul de alunecare care conține două elemente : planul de alunecare și direcțiile de alunecare. S-a constatat că alunecările se produc pe planul cu densitate atomică maximă și în direcții cu cea mai compactă împachetare. Structura cubică cu volum central nu este o structură cu împachetare compactă, ceea ce face ca această structură să nu fie caracterizată de un plan cu densitate atomică predominantă. Planele {110} ale structurii cubice cu volum central conțin numărul maxim de atomi, însă densitatea atomică a celor plane nu diferă prea mult de cea a altor plane. Direcțiile <111> în această structură se pare că sunt cele favorabile alunecării.

Experimental s-a constatat că în structura cubică cu volum central alunecările se produc pe planele {110}, {112} și {123} în direcțiile <111> [47]. Cel mai mic vector de translație al rețelei unește colțul cubului cu atomul din centrul celulei elementare. Astfel, vectorul Burgers al dislocației de alunecare unitate este de tipul $\sqrt{2}$ <111>.

Încă din planele de alunecare conține direcția de alunecare <111> și este important de remarcat că trei plane {110}, trei plane {112} și patru plane {123} se intersectează dealungul aceleiași direcții <111> [48]. Astfel, în condițiile în care se produce căștrarea, dislocațiile elipsoidale de pot ninge pe diferențe plane de tip {110} sau combinații de {110} și {112}. Din acest motiv liniile de alunecare au aspect ondulatoriu și contract slab. S-a stabilit că planele de alunecare variază cu compozitia, temperatură și tensiunea exterioară aplicată. Astfel, în $\text{Fe} <$ pur deformat la temperatura camerei, planul de alunecare este planul cu tensiunea de fărfecare (deformare de rețele) maximă, indiferent de orientarea cristalografică. La deformarea la temperaturi scăzute ca și în cazul siliciului, alunecarea tindă să se raporteze numai la planele de tip {110}.

Un aspect deosebit de important care trebuie menționat este așa numita simetrie a alunecării, care în general se exprimă prin aceea că planul de alunecare a unui monocrystal supus compresiunii axiale diferă de planul de alunecare al același monocrystal supus extinderii axiale.

Cu alte cuvinte forța necesară pentru deplasarea unei dislocații dintr-un plan de alunecare într-o direcție, nu este aceeași cu forța necesară deplasării dislocației pe același plan în direcție opusă.

Acet aspect indică faptul că o dislocație dintr-un plan de alunecare nu se comportă ca o dislocație perfectă (dislocație unitate) de tip $\frac{1}{2} <111>$, ci se dissociază în dislocații parțiale. Acet lucru a fost evidentiat de energia mare a defectelor de împachetare ($\gamma = 200 - 1000 \text{ mJ.m}^{-2}$) [48] și de fenomenele de cădrare a dislocațiilor.

Defectele de împachetare și dislocațiile parțiale asociate au fost studiate mai puțin în structurile cubice cu volum centrat. Au fost preocupate atât de defecte pe planurile $\{112\}$ cât și de se explică deformarea prin meclarea de tip $\{112\} <111>$. Succesiunile de împachetare pe planurile $\{112\}$ arată următoarele reprezentări:
 ... ABCDEFABCDEF..... (30) [47]

Defectul de meclare prezintă o succesiune de forme:
 ABCDE~~F~~EBCDA (31)

Disocierea dislocației $\frac{1}{2} <111>$ în planul $\{112\}$ poate avea loc după reacția:

$$\frac{1}{2} [111] \rightarrow \frac{1}{3} [111] + \frac{1}{6} [111] \quad (32) \quad [48]$$

Disocierea conduce la micșorarea energiei elastice a reticulii și la formarea unui defect de împachetare (vedă) în planul $\{112\}$. Cind linia dislocației este paralelă cu $[111]$ ambele dislocații vor fi elicoide și se vor putea mișca pe unul din cele trei plane de tip $\{112\}$ cu ce intersectă dealungul direcției $[111]$.

Tot în planul $\{112\}$ o dislocație perfectă își poate micșora energia în urma disocierii:

$$\frac{1}{2} [111] \rightarrow \frac{1}{3} [112] + \frac{1}{6} [111] \quad (33) \quad [47]$$

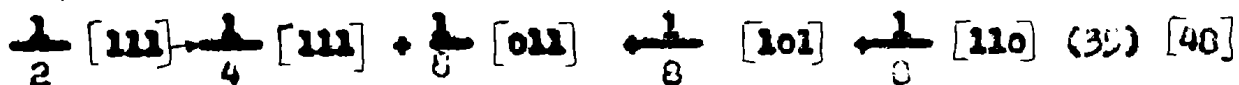
Dislocația parțială $\frac{1}{2} [112]$ este pur marginală decărare vectorul Burgers este perpendicular pe planul de alunecare. Este o dislocație sensibilă și mărginește un defect de împachetare în planul $\{112\}$. Dislocația $\frac{1}{6} [111]$ este o dislocație parțială elicooidală glisată, ce poate trece pe un alt plan de alunecare.

O configurație mai puțin stabilă se obține în urma disocierii unei dislocații de tip $\frac{1}{2} [111]$ în trei parțiale de tip $\frac{1}{6} [111]$ situate pe trei planuri $\{112\}$ și formând astfel numitul defect "tripod".

Po planul $\{110\}$ s-a sugerat producerea unui defect în urma unei disociații simetrice de tipul:

$$\frac{1}{2} [111] \rightarrow \frac{1}{6} [110] \leftarrow \frac{1}{4} [112] \rightarrow \frac{1}{8} [110] \quad (34) \quad [48]$$

Reacția are loc în planul $\{110\}$ și produce dislocații mobile. Doar descompunerea pe plane $\{110\}$ este posibilă, atunci descompunerea unei dislocații cilioidale se poate face într-un mod întotdeauna. Descompunerea dislocației cilioidale este paralelă cu vectorul din Burgescu $\sqrt{2}\langle111\rangle$ și este situată la întotdeauna într-o trei plane $\{110\}$, ca să se poate reduce energia prin elunecare simultană pe toate cele trei plane. Reacția este următoarea:



În reacție subiectul cu volum contractat mai multă dislocație de tip $\langle100\rangle$. Aceasta se formează din două dislocații de elunecare $\sqrt{2}\langle111\rangle$ întreacționând după reacție:



Căracterul dislocației rezultante depinde de planele de elunecare ale dislocațiilor care intră în reacție. Doar dislocațiile ce întreacționează să fie situate în același plan de elunecare, atunci dislocația rezultantă este mobilă pe acest plan. Cind dislocațiile ce întreacționează să fie situate în plan care se întreacționează cu un unghi de 60° , după o direcție $\langle111\rangle$, dislocația rezultantă nu este cupăbilă însă că elunece într-un plan $\{110\}$. Dar doar dislocațiile să fie situate pe plan ortogonal, cum ar fi planul (101) și (101) dislocația rezultantă are un caracter pur marginal, cind drept plan de elunecare planul $\{001\}$.

Succesul acestor plan, în cadrul structurii cubice cu volum contractat, nu este un plan obisnuit de elunecare. Dislocația este mobilă (ceci înseamnă că un foșt planul $\{001\}$ este un plan de elunecare), la lumeni chirurgic spate rupere, cîntările a majorat că dislocația de tip $\langle001\rangle$ este foarte mică și ca echivalență cu întroducerea unei făuri de grădină ognii cu o distanță intersticială [47].

În urma deformării la temperaturi joase, să se sporească fenomenul nuclei de deformare. Acest lucru se constată că această nucleare apare în sistomul $\{110\}\langle111\rangle$ și că majorat că nu produce înălțarea dislocațiilor paralele de tip $\sqrt{2}\langle111\rangle$ în planul succedent de tip $\{110\}$.

În cadrul testurii criotolografice în benzile cu $\lambda = 11$, s-a întâmplat modularea microscopicală la scara defoculor linioare a proceselor structurale latente de deformare plastică. S-a putut observa că planul de elunecare să fie $\{110\}$, dar chirurgicul de elunecare să fie $\langle111\rangle$. Locul de particularitatele propriețății dislocațiilor să fie să fie constată, în sistemul C.V.S., apăr că altă sisteme de elunecare

aceea ar fi {100} <110>, componente de textură ce se formează la luminoză. Aceasta, datorită uscării în planul {112} se transformă în {221} <114> [49]. Alunecarea capilară a dislocațiilor și {110} <111> conduce la textură {554} <225> [49], orientare apărută de {111} <112>. De cele mai multe ori componente {111} <112> se observă împreună cu {111} <110>. Datorită asimetriei la alcătuirea în tipul deformării, se formează componenta {112} <110>. În timp ce alunecarea după direcția [111],[111] conduce la orientarea (113) [111], alunecarea pe direcție <111> încetează.

Alunecarea după direcția [111], [110] conduce la textură (112) [110].

În afară de aceasta, componenta (112) [110] se intensifică datorită transformării texturii (111) [110] în (112) [110].

În general texturile {110} <110> și {112} {110} se dezvoltă la grade mici de deformare, pentru grade mari de deformare se intensifică orientarea {101} <110> [49].

Din exemplul prezentat rezultă că în ceea ce privește modularele microscopice a proceselor structurale ce se produc în structura CuVf, datele obținute până în prezent au o generalitate limitată și într-o măsură mică ele sunt contradictorii.

În ceea ce privește protocolul de recristalizare, materialul se relaxă în timpul încălătririi prin mișcarea dislocațiilor.

În principiu, o dislocație se poate mișca în orice direcție în afară de propria ei direcție, fără din punct de vedere energetic, să toată direcția să fie favorizată (după cum se observă și din datele noi care prezintă). Se pot distinge două feluri de mișcarea:

- prin alunecare;
- prin difuzie (diffuzare)

Prin primul fel de mișcare este posibil atât pentru dislocațiile marginale cât și pentru cele elioïdale. Planul în care se produce alunecarea este determinat de vectorii b (vectorul Burgers-ului dislocației) și g (vectorul retulor unei dislocații) și constituie planul de alunecare. Normala acestui plan este determinată de produsul $\vec{b} \times \vec{g}$. În ceea ce privind elioïdalele pentru care $b \parallel g$ sunt paralele planul de alunecare este nedeterminat, deci $\vec{b} \times \vec{g} = 0$. Pentru aceste dislocații, orice plan pentru care b este o cotă a unui de socii, este un plan posibil de alunecare [47]. De altă parte, dislocațiile elioïdale pot trage cu de un plan de alunecare pe altul. Phenomenul poartă numele de "tracere postă obținută", (cross slip) și se produce atunci când dislocațiile elioïdale în mișcare își întâlnesc pidișii.

Trebui să accentueze faptul că mijlocirea dislocațiilor prin cluzecare se face fără transport de material. Atomii se reînjoinează din aproape în aproape.

Un alt mod de mijlocire este cel prin "cățârare" (climb), specific dislocațiilor marginale. Procesul de cățârare presupune un transport de mod priu difuzie; are loc prin difuzia vacanțelor în zone dislocației și prin deplasarea atomilor în locurile rămase libere în roțea. Lijocarea prin cățârare, presupunând difuzie, se realizează în cazul unei temperaturi sau tensiuni suficiente de ridicate pentru ca difuzia să fie posibilă.

Lijocarea dislocațiilor marginale prin cățârare implică procesul de poligonizare (alinierea dislocațiilor formând limite la unghiuri mici).

La temperaturi joase, cluzecarea este singurul mecanism realizable prin deformarea plastică.

Capitolul 3. Rezultatele obținute

3.1. Studiu caracteristicilor structurale și cristalografice ale benzii laminată la cald din oțel cu 3. JI

Proprietățile magnetice ale tablelor din oțel cu 3. JI și coaliționate în prima rîsu de textura finală a benzii.

După cîte arată numeroasele studii efectuate, textura finală este în bună măsură determinată de textura superficială a materialului. De aceea, în lucrarea ce făgă să se urmărească determinarea orientărilor cristalografice pe tot parcursul procesului de fabricație a benzilor electrotehnice.

Într-o primă fază să se urmărește orientările preferențiale în stratul superficial și în interiorul benzii pe secțiuni transversale (de 5 mm grosime) a benzii laminată la cald. După laminare, materialul este apăsat unui tratament termic de normalizare, pe care împiedica structura în vederea unei deformări ulterioare. În figura 40 sunt prezentate structurile metalografice ale benzii laminată la cald înainte și după normalizare.

După normalizare se observă creșterea graduală de rochișorile în secțiunile benzii.

Utilizând metodele de analiză prezentate în capitolul 2.3 să se determine orientările cristalografice preferențiale (fig.41-42). În stratul superficial (pe o adâncime de 0,1 mm) orientările preferențiale predominante sunt $\langle 110 \rangle [100]$ și $\langle 330 \rangle [100]$, ceea ce este specificat materialelor cu structură cristalină, precum rostogolite (fig.41 a). În fig. 41 b se prezintă distribuția polilor $\langle 110 \rangle$, $\langle 330 \rangle$ în interiorul benzii, pe secțiune transversală. Distribuția este reprezentată pe orizontală iar vertical pe verticală. Se observă creșterea intensității compoziției de texturi în stratul superficial fără de interiorul benzii. De asemenea se observă că nu există diferențe de intensitate între componentele $\langle 110 \rangle$ și $\langle 330 \rangle$ în același strat. Componenta $\langle 110 \rangle [100]$ este mai intensă în stratul superficial decât în interior, iar componenta $\langle 330 \rangle [100]$ are o pondere de aproape 70% și mare variație componentă $\langle 330 \rangle [100]$.

În următorele treptări de normalizare, componentele texturii se pierd sau se pierd aproape complet (fig.42).

În fig.43 se prezintă figurile cu poli pe baza laminării la cald și normalizării.

Figurile de poli dă o informație calitativă și o compoziție a funcțiilor $I = f(\theta)$ reprezentate în fig.41-42, în schimb

nu dă informații constitutive. Din largimea liniilor de egală intensitate (verificat pe figuri) rezultă că, în baza laminată la cald sunt prezente mai multe componente de textură și anume: în baza laminată la cald apar $(32\bar{2})$ [100], $(11\bar{2})$ [110], $(1\bar{1}0)$ [100] sau în baza de normalizare (100) [100], $(32\bar{2})$ [100], $(1\bar{1}0)$ [100], $(11\bar{2})$ [110].

Să observăm că în această fază texturarea este slabă și sănătatea este caracterizată de unghiuri de deformare mari, ceea ce indică recristalizările.

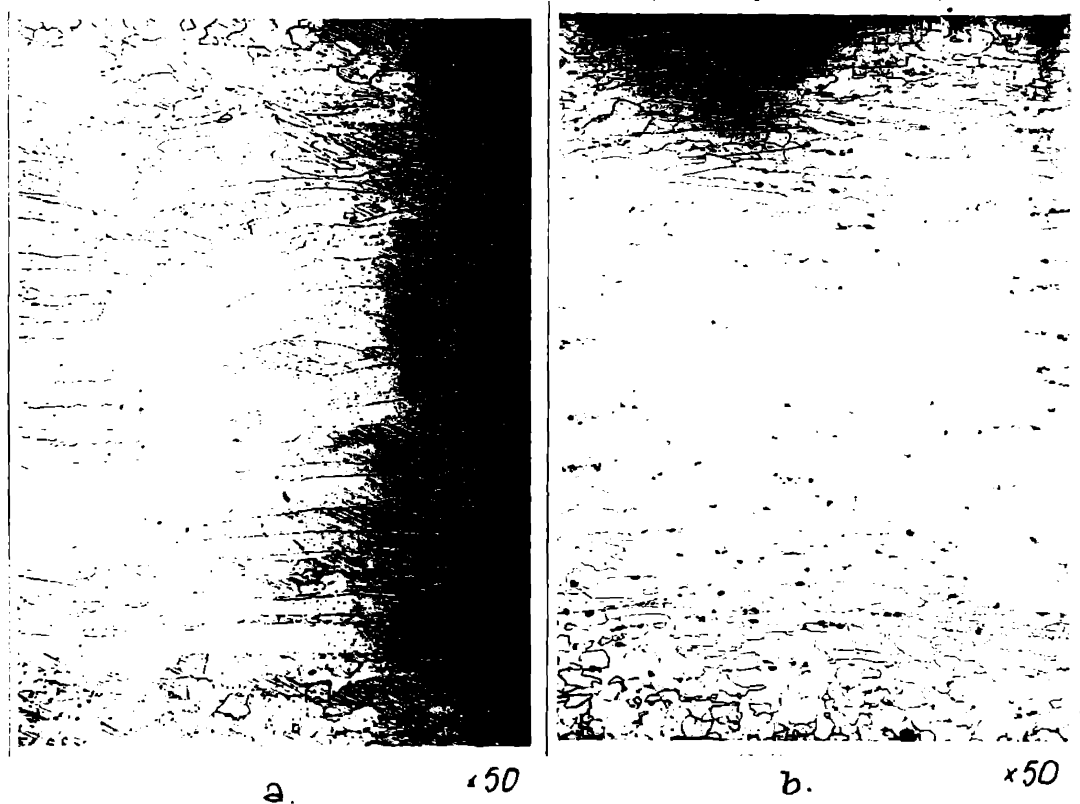


Fig.40 Structura metalografică a benzii din oțel
Fe - 3%Si laminate la cald (a) și normalizate (b).

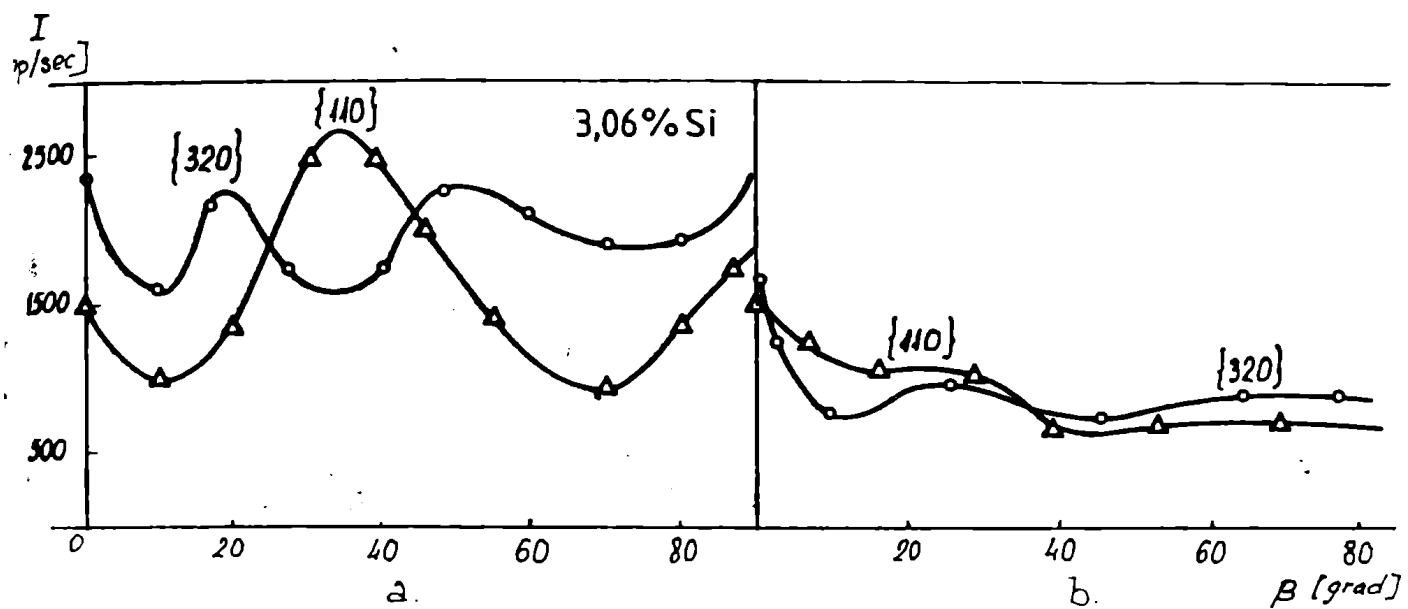


Fig. 41 Distribuția polilor $\{110\}$, $\{320\}$ pentru benzile Fe-3% Si laminate la cald :
a - stratul superficial ;
b - stratul din interior.

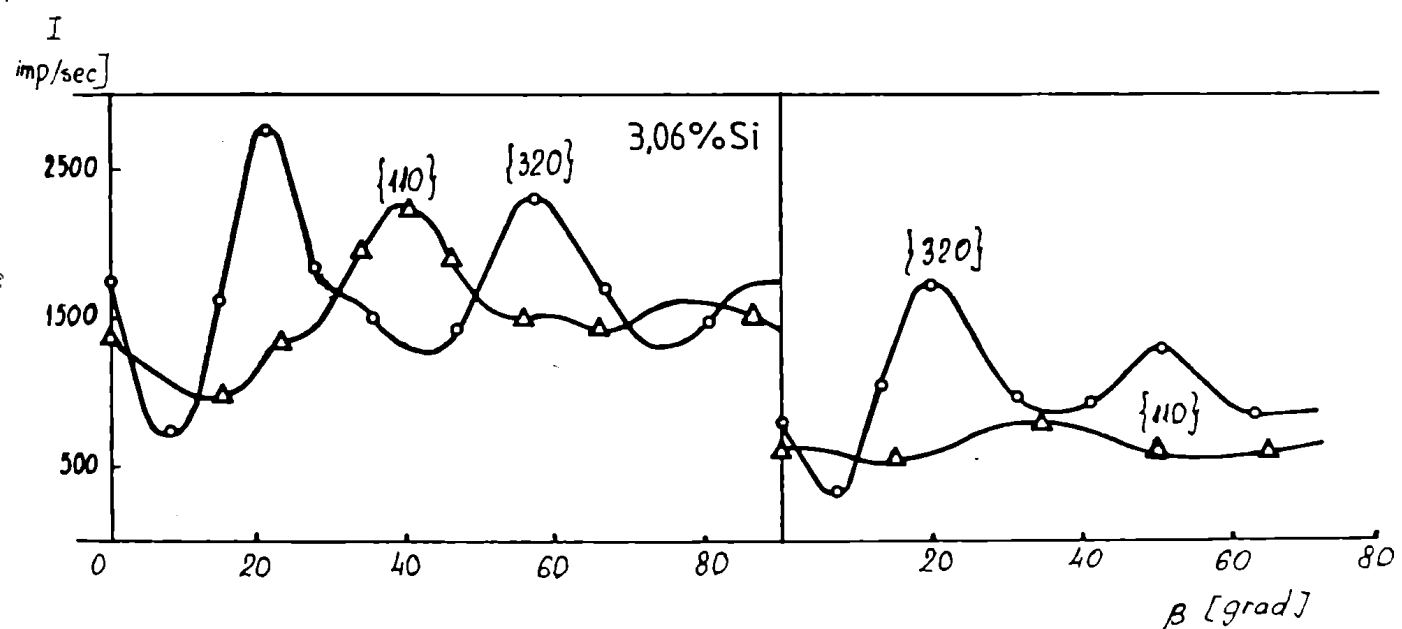


Fig. 42 Distribuția polilor $\{110\}$, $\{320\}$ pentru benzile Fe-3% Si laminate la cald și normalizate:
a - stratul superficial ;
b - stratul din interior .

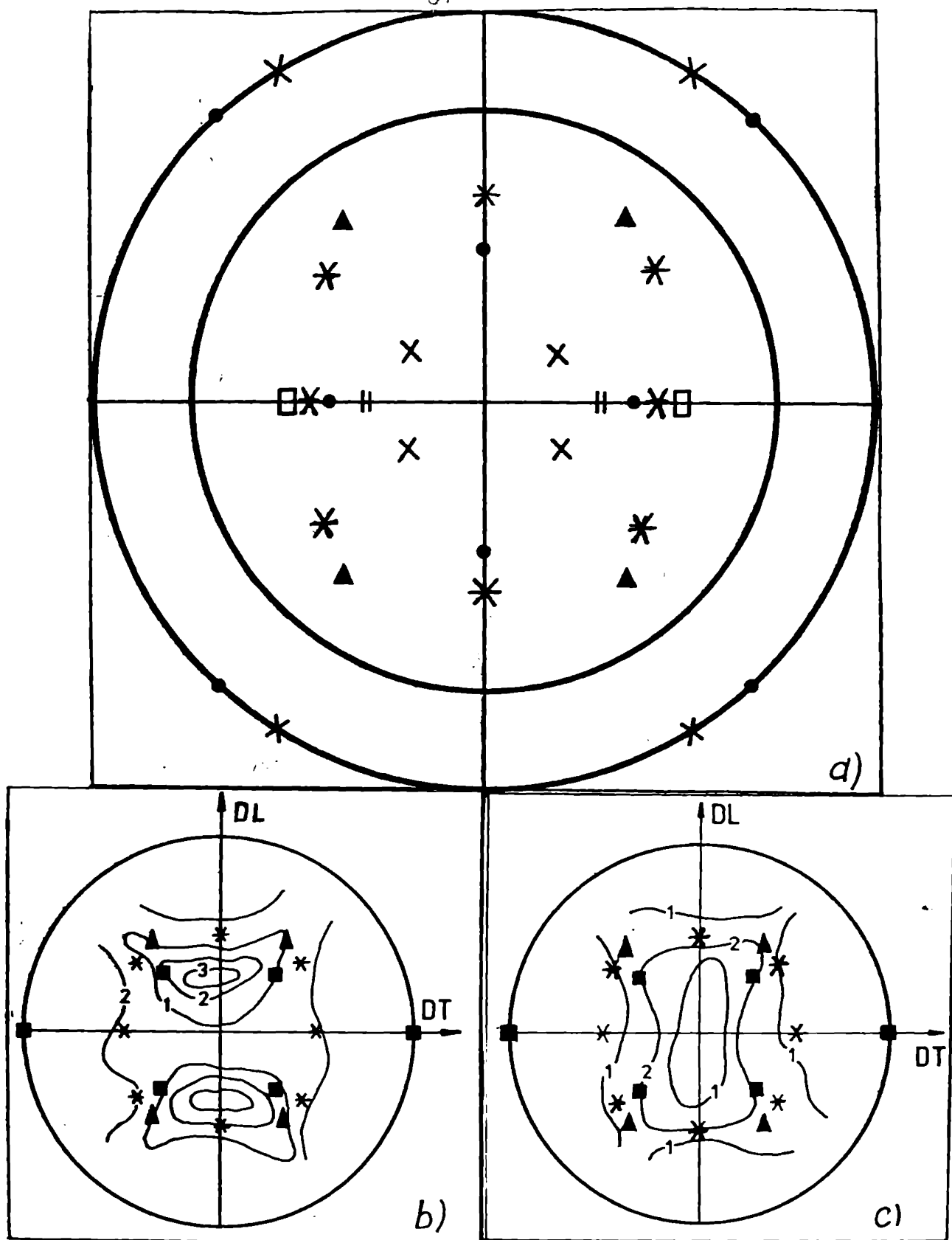


Fig.43 Figurile de poli llo ale benzilor din Fe-3% Si laminate la cald și normalize (în stratul superficial)
a) - rpoiecție stereografică standard ; b) - bandă lăminată la cald ; c) - bandă normalizată.

▲ (110)[100]

X (111)[211]

□ (112)[110]

■ (100)[110]

● (100)[100]

* (320)[100]

II (111)[110]

3.2. Studiul caracteristicilor structurale și cristalografice ale banchii după laminerare la rece

Deformarea la rece a banchii din oțel 20-3. Să se constituie următoarea etapă a studiului efectuat în vederea evidențierii factorilor care determină în final obținerea texturii cristalografice. Aceasta depinde în mare măsură de distribuția particulelor de inclusions (particulele structurale active) și de textura de deformare.

Particulele de inclusions cu ieșire rostogolitoare primară și favorizând creșterea granițelor la rostogolitoare secundară, să nu joacă un rol activ în ceea ce în procesele finale se rostogolitoare, și să în etapa de premergătoare creșterii precocă, faciliteze orientarea preferențială a cristalilor, astfel, orientarea inclusionsilor pe cristalul (110) [001] apărând elunecarea planelor cu sensul mără de defecte. Pentru îndeplinirea acestor funcții, trebuie să se asigure un lucru: o dispoziție suficient de fină (dimensiuni mără de ordinul măsurării de Magstrandi) a microparticulelor de inclusions, și că o anumită raportă sprijină să volum. În timpul deformării la rece cristalul se orientează paralel sau aproape paralel cu direcția de laminerare.

În energie de deformare circa 10. este împărțită în rotosc sub formă de defecte, distribuită pe cristalele cristalografice de elunecare. În aliajale Fe-Mn cristalul cu un mără energie îngăsită prin conformare la rece este (110) [100].

3.2.2. Determinarea texturii cristalografice

În timpul deformării noul cristal, elutinile de elunecare se rotesc astfel încât să ajungă în poziție cu feța lui Schmid. Între un cristal supus acțiunii unei forțe elunecarea va fi capabilă să elunecare atât o anumită valoare numărătonuță tangentială în direcția de elunecare (echivalentă cu limita de curgere a materialului), -anumite tangențiale de elunecare să poate determina legea lui Johnson:

$$T = \sigma \cos \lambda \cos \varphi \quad (37) \quad [47]$$

unde :

- σ = tensiunea de întindere ce acționează asupra cristalului;
- λ = unghiul dintre direcția forței de întindere și direcția de elunecare;
- φ = unghiul dintre direcția forței de întindere și normala la planul de elunecare.

Produsul $\cos\lambda \cos\phi$ este un alt factor de orientare sau factor Schmid și se folosește la caracterizarea orientării dislocațiilor în raport cu direcția de lărgire în casul roci.

Pentru structura cristalini C₆V₆, factorul Schmid care corespunde orientării de alunecare (110) [111], (211) [111].

Bete deci de așteptat că în materialul deformat să se găsească o textură de tipul (hkl) [111].

Deformările la roci s-au făcut încopută pe baze de 3 mm grosime, într-un trunchi de ajuns la grosimea de 1-1,2 mm, și efectuat un tratament termic de recocere și s-a continuat deformarea până la grosimea finală (0,27-0,30 mm), obținindu-se reduceri de 70%.

În figura 44 se prezintă figurile de poli {110} ale bazei în diferite etape ale procesului de deformare la roci. Compoziția acestei figuri cu care otondei se observă că textura de deformare la roci include componentele (100) [100] + (111) [110] + (112) [110] și (111) [211] și diferențe cîndtre acestea concordă în ponderea căreia apar pentru diferite grade de reduceri.

Aparent, rezultatul obținut este în discordanță cu ceea ce ar fi așteptat. Deci, direcția de alunecare nu pare să fie în direcția C₆V₆, este <111>, cristalele sper după deformare cristalizează în direcții {100}, {110} și {211}. Acest fenomen se poate explica prin teoria dislocațiilor (vezi capitolul 5).

Identificând mecanismul de dissociere a dislocațiilor, alunecarea ar fi pe planul că în direcții determinate de mișcarea dislocațiilor paralel, astfel, dislocații de tip $\frac{1}{2}<111>$ se pot continua să realizeze o dislocație de tip <100> care va genera o alunecare în direcția {110} [100]. Apoi, altă dislocație din planul (112) care reacționează și determină alunecarea în direcția <110> (vezi capitolul 5).

De remarcat faptul că în stare deformată la roci bandă din oțel 90-3 și au prezintă orientarea (110) [001] care se dezvoltă după recristalizarea oconștientă.

Uzurătățile ar putea fi cauză că sistemul (110) [001] este sistematic cu care mai mare energie înmagazinată prin deformare la roci, ceea ce uneori poate fi chiar cu energie minimă, deci e de așteptat că orientarea că se producă în această fază spre sisteme cu energie mică.

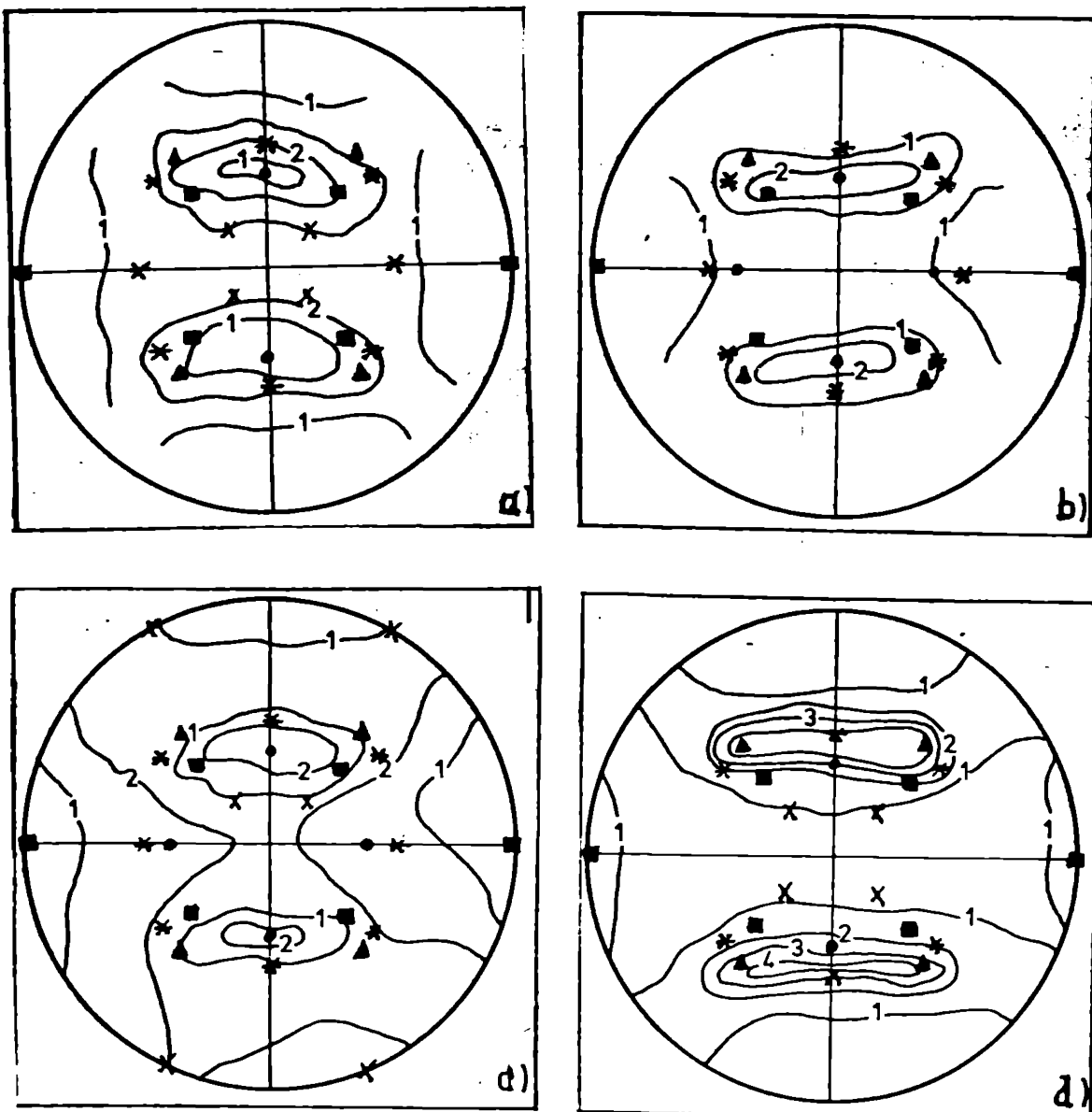


Fig. 44 Figurile de poli ilo ale benzii din oțel Fe-3% Si în stare deformată la rece și recristalizată

a - = 17%; b - 27%; c - 50%; d - = 70%

3.2.3. Determinarea densitatii si dimensiunilor precipitatelor inhibitoare din sol.

Densitatea si densitatea precipitatelor inhibitoare de Hg sunt determinate pe baza de extractie prin observare la microscopul electronic de transmisie (vezi cap. 2.4).

Analiza inhibitorilor are efectuata pe baza luminită la roco la grosime de $0,3 \text{ nm}$ si de temperatură la 830°C .

Pentru analiza reprezentelor sunt utilizat un microscop electronic tip JEM 100 CX cu accelerare maxima de accelerare de 120 kV si puterea de curențiu $\times 250000$.

Urmărind metoda de lucru prezentată în cap. 2.4, sunt adunătoare particule cu raze cuprinse în intervalul $140-150 \text{ Å}^0$, cu formă predominantă ușoară și relativ uniformă distribuită în curențu de bazu (fig. 45).

Sunt alăturate următoarele date de particulele și sunt calculată distribuția statistică pe dimensiuni (fig. 46).

Sunt calculat raza medie și po baza obținutea densitatea de particule/are peste cele două metode prezentate în cap. 2.4.

Rezultatul următoare sint prezentate în tabelul 7.

Tabelul 7

Introducere particule Φ (A)	$R = \frac{n}{\rho \cdot V} = \frac{n}{\rho \cdot \frac{\pi}{6} d^3} = \frac{6n}{\pi \rho d^3} [\mu\text{m}]$	$R = \frac{2S \cdot \pi \cdot d^2 \cdot n}{V} = \frac{2S \cdot \pi \cdot d^2 \cdot n}{V} [\mu\text{m}]$
302	7×10^{-13}	$7,5 \times 10^{-12}$

S-a observat o corespondență între valoarea razei medie obținute prin cele două metode. Pentru clădirile acestui capitol s-a sugerat determinarea compoziției chimice a particulelor de inhibitori, având în vedere dimensiunile relativ a particulelor și posibilitatea microscopului de lucru (cum sălă apără) pentru obținerea unei imagini de difracție electronică pe aria coloanei cu o grosime de $0,35 \text{ nm}$ și să se potă obține date suficiente prin difracție electronică pentru caracterizarea structurii proprii acestor particule. S-a sugerat recurgerea la metoda indirectă de analiză și următoare analize radiografice X realizate în urmărirea particulei cu un flux de electroni. Analiză analitică se efectuează cu analizor de tip JEM ce pună în evidență elementele din compoziție chimică.

In urma analizei efectuate s-a constatat că în afară de zări și s-a observat particule care să fie compozitie Fe_2O_3 , $\text{Mg}_2\text{Si}_2\text{O}_5$. Reculul zărilor și particulele care nu doar inhibitor au o structură simplă de Hg .

ei au o structură compusă.

Aceste rezultate se coreleză cu datele obținute și de alți cercetători (46) și ale demonstrează necesitatea abordării mai ușoră a metodei de investigație pentru siguranță în afișare și consultări ai cercetărilor.

În valoare, densitatea de particule este comparabilă cu rezultatul obținut de Swift ($3,5 \times 10^{13}$ p/ cm^3) /41/ și Koenig-Plessner (6×10^{12} p/ cm^3) /39/.

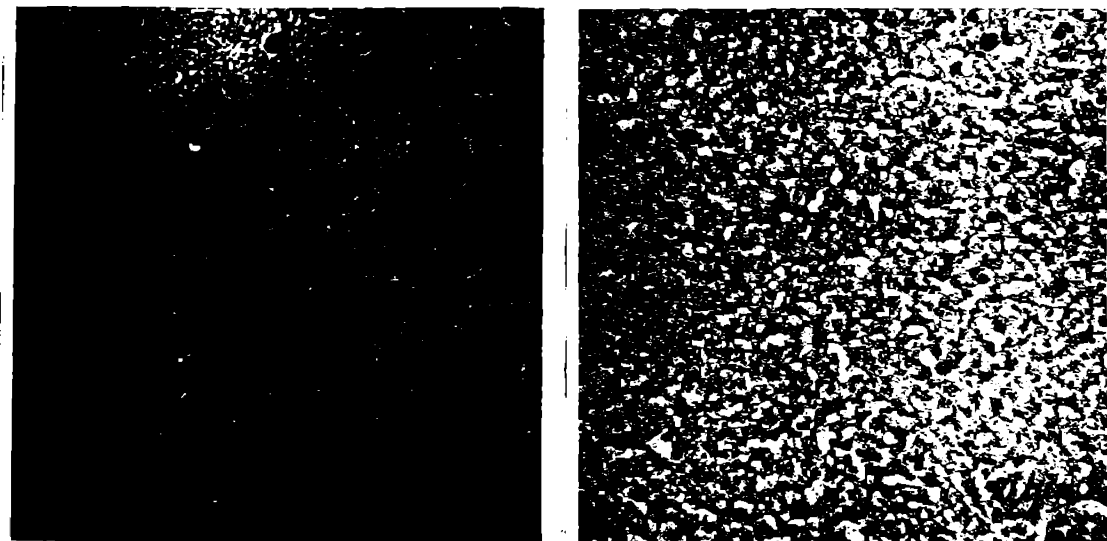


Fig.45 Particule de inhibitori prezente în banda Fe-3% Si laminată la rece și decarburată;
a - zonă de particule neuniforme ca dimensiune și formă
b - zonă de particule relativ uniforme ca dimensiune și formă

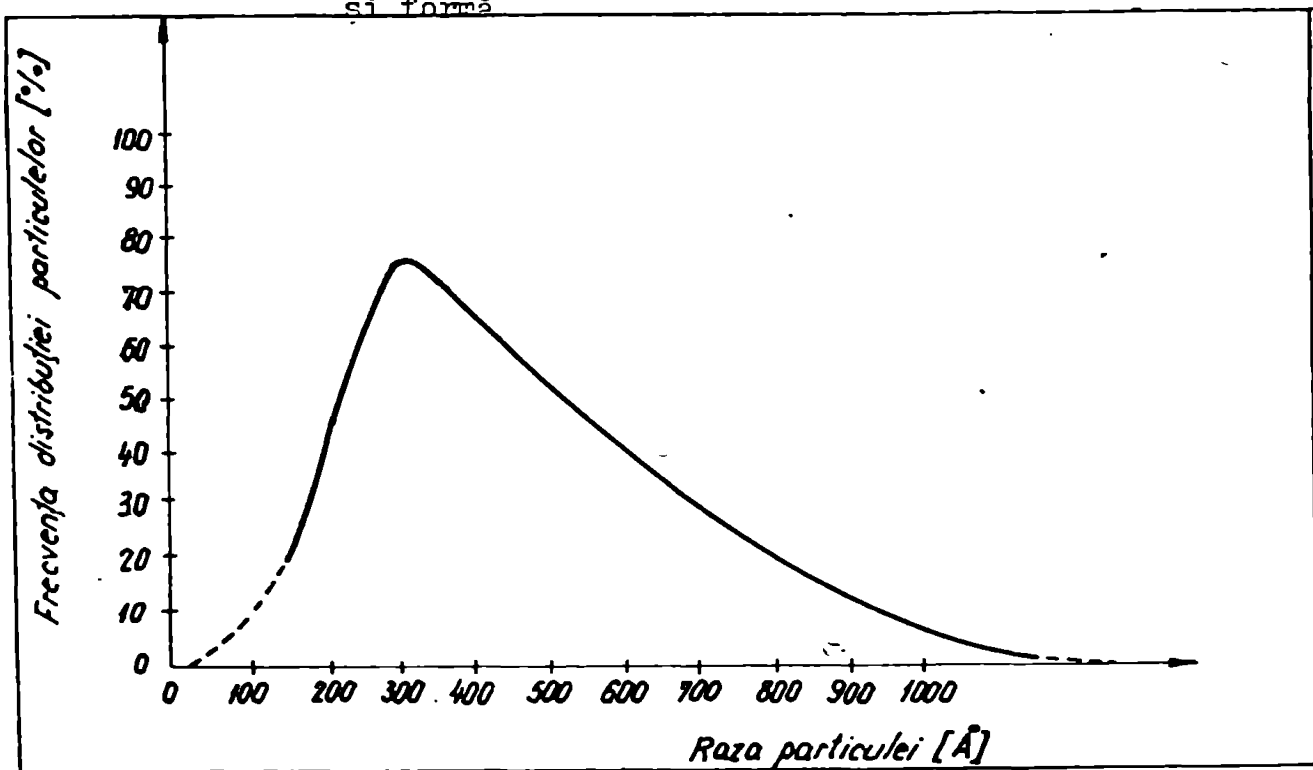


Fig.46 Distribuția pe dimensiune a particulelor de inhibitori prezente în banda Fe -3% Si laminată la rece și decarburată

3.2.3. Luminositatea de rezistență și orientarea fizică pentru deformările microscopice electronice de transmisie

Pentru studiul caracteristicilor structurale pe baza laminatelor la rece prin microscopie electronică de transmisie, s-a proiectat proba după metodologiea prezentată în capitolul 2.5. Studiul s-a efectuat la un microscop electronic de tip JEOL 100 CX, având următoarele caracteristici: tensiunea maximă de accelerare 120 kV, puterea de lumină max. 250000 x și puterea de rezoluție 2 Å.

Conform celor prezентate în capitolul 3.2.2. în timpul deformării la rece în material se dezvoltă mai multe componente de textură. S-a sugerat că toate componentele minore ale texturii de deformare actionează ca nucleu pentru găurișarea recristalizării [50]. Barret și colaboratorii [51] au găsit că diferențele compoziției ale texturii de deformare se găsesc în zone bine definite ale cristalului, separate unele de altele, pe care le-au denumit zone de deformare.

Studii efectuate de Walter și Koch pe monocristale cu direcții (100) [001] [50], de Hellmuth pe monocristale (011) [110] [52] și de Furubayashi pe monocristale (111) [211] [53] au arătat că aceste benzi se formează în timpul deformării, cind acestea părți din cristal se rotesc în jurul axului lor în planul de luminare în sensul acelor de ceas în timp ce zonele vecine se rotesc în sens invers, rezultând abatere de cca 30° față de direcția de luminare. În acest fel se formează două benzi de deformare corespunzătoare celor două componente de textură. Zone de tracere ce la o bandă de deformare le alte se suprapun sau se tranzită prin ele caracterizează prin aceea că reprezintă o zonă cu multiple orientări (obtineri de la textură). S-a sugerat ideea că toate în aceste benzi apar găuri de noi grădini în timpul recristalizării primare și apoi acestea crește în benziile de deformare, pînă la concentrarea lor. Această a pînă în evidență procesul de recristalizare primară, care studiat mai întîi banda luminată la rece, urmată apoi transformările ce au loc în timpul încălzirii.

În figura 47 se prezintă structura caracteristică pe baza bandoi luminată la rece. Se observă aglomerări de dislocații sub formă de retete ce se întrelapă în mod neeregulat, rezultând o suprafață lăsată. Intre zone cu densitate mare de dislocații și zone mai puțin populate se dislocării. În micrografie din fig.47 se prezintă aspectul unei limite ce separă două zone de cristal între care se află un angol de 30°.

Se observă excepție bocelor în sens încind o structură celulără foarte fină. Zona I (fig.48) fiind mai puțin deformată și deținând mai bine structura celulară de dimensiuni exprimate în intervalul $a,05 - a,1\text{ mm}$.

Imaginea de difracție electrostatică indică orientarea vectorilor (III) [411]. Aceste rezultă din faptul că axul de scăă este perpendicular pe planul probei, deci deformarea este pe planul (III). Difractia [411] rezultă din vectorul de difracție al planului care coincide cu direcția de lărgire (II). Componenta (III) [411] caracterizează tortura de deformare făcută având încărcătura suficientă pentru a fi corectă pe figurile de poli.

Zona a doua (fig.48-2) este mult mai deformată, aspect ce rezultă din alungirea apărilor de difracție electrostatică și din existența frunjurilor doar ce încorporează dislocațiile.

În deformarea apărilor se aproximativ distorsionarea rotelui la quadratică $\frac{d}{L} = 10\%$ planul pe care este produs deformarea este (III), în direcția [211] și rezultă o componentă (III)[211], componentă specifică pentru deformarea în roță.

În ceea ce privește dislocațiile acestea sunt elipsoidale, mobile și au vectorul \vec{b} de tip $a/2 <111>$. Încărcătura de dislocație se poate calcula prin metoda lui J. D. Williams și avem : pe o suprafață unită înălțimea se va calcula un număr de linii electroare care intersectează dislocațiile.

Densitatea de dislocație în acensunat se exprimă prin formula :

$$g = 2 \pi L_t \times A \quad (37) [48]$$

unde :

L_t = distanța de intersectie dintre linile tracate și dislocație;

L_t = lungimea totală a linilor tracate ;

A = suprafață pe care s-a făcut cizurătorul.

Utilizând această metodă în zona II, a rezultat o densitate de dislocație $g = 1,37 \times 10^{12}/\text{cm}^2$.

În concluzie se poate spune că în stare deformată în roță, materialul are roțea mai puternic distorsionată formând ocazional structuri în sensul [30,52] caracterizante prin zona cu densitate de dislocații ridicată ce ulterioricează o rețea celulară foarte fină.

Lecția finală de formă a structurii în sensul astăzi complicată și neobișnuită lucru, este alăturată de alungirea proponorantea în direcția vectorului $a/2 <111>$, ceea ce este prezentat în sensul observat că deformarea în sensul a avut loc în planul $\{111\}<211>$.

Acum să speriem să neconcordăm și ar putea explica astfel:

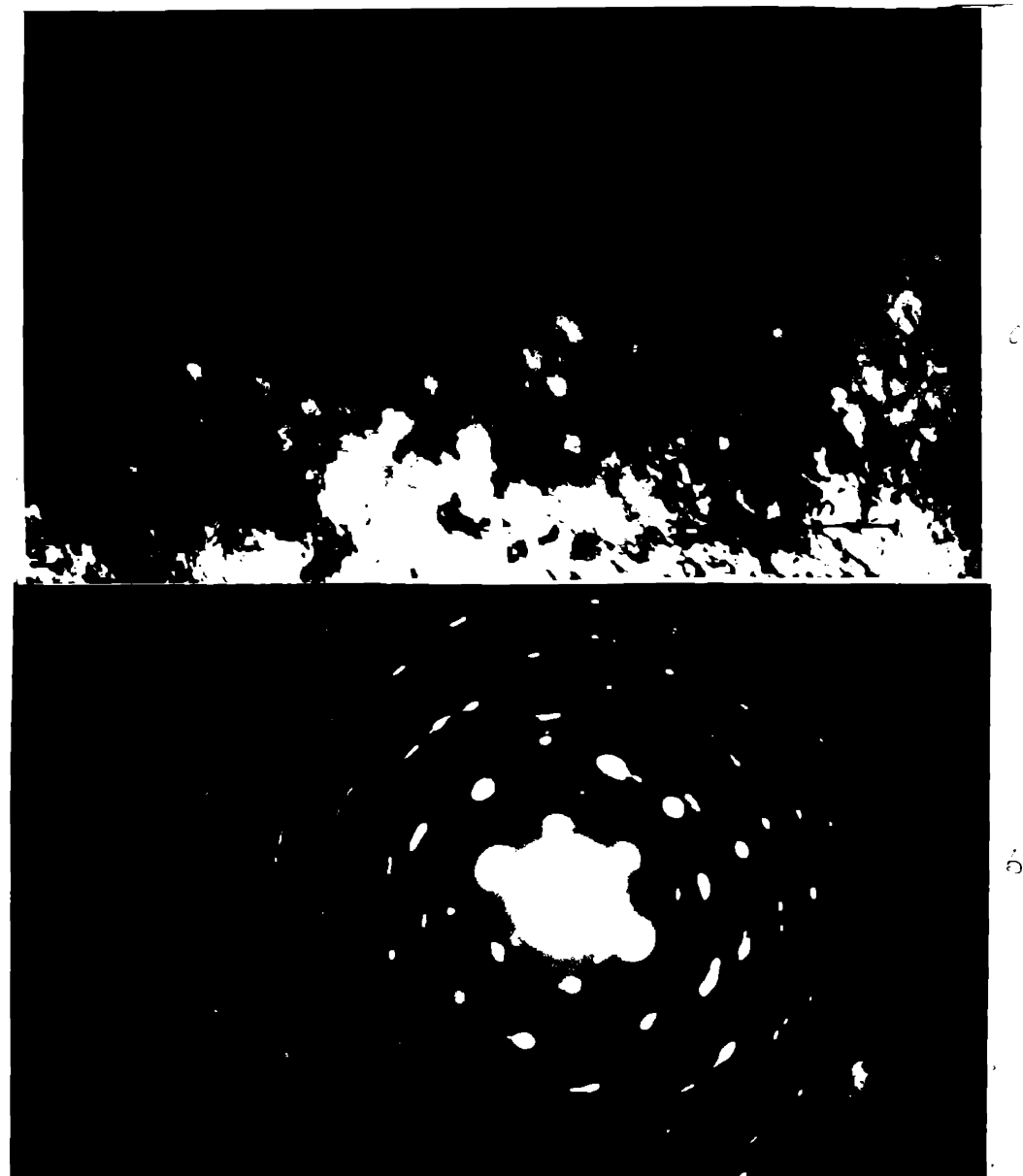


Fig.47 Bandă din oțel Fe-3% și laminată în recă

a- liniști între doi cristalini;

b- difracție electronică pe liniști; se observă diferența a două orientări; [113] și [111].

Unghiul dintre orientările celor doi cristalini fiind 30° , rezultă o liniștă la unghiiuri mari.

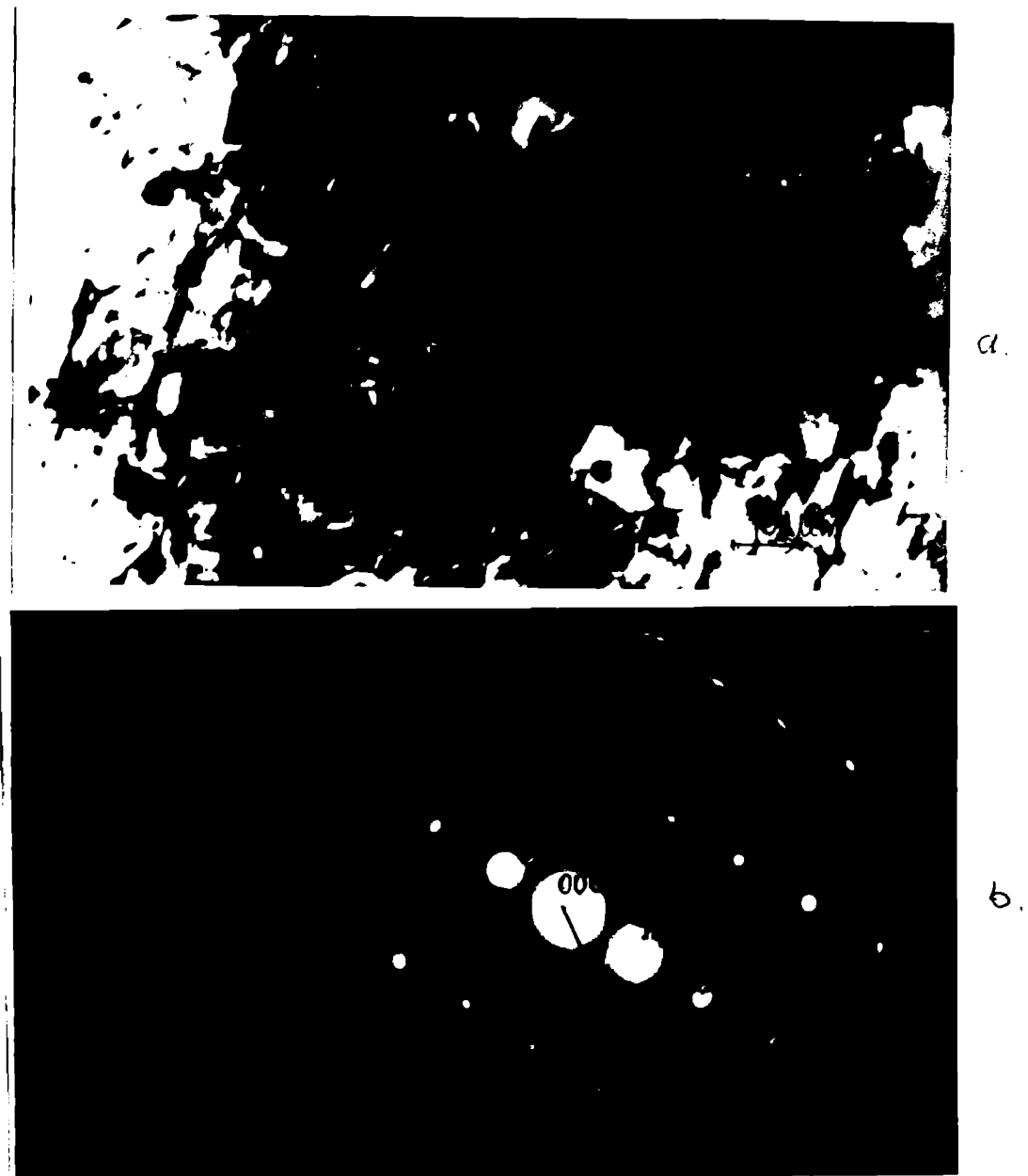


Fig.48 Bandă din oțel Fe - 3% Si laminată la rece

a) zona I din fig.47;

b) difracție electronică pe zona I. Axul de zonă este $\langle 11\bar{1}\rangle$

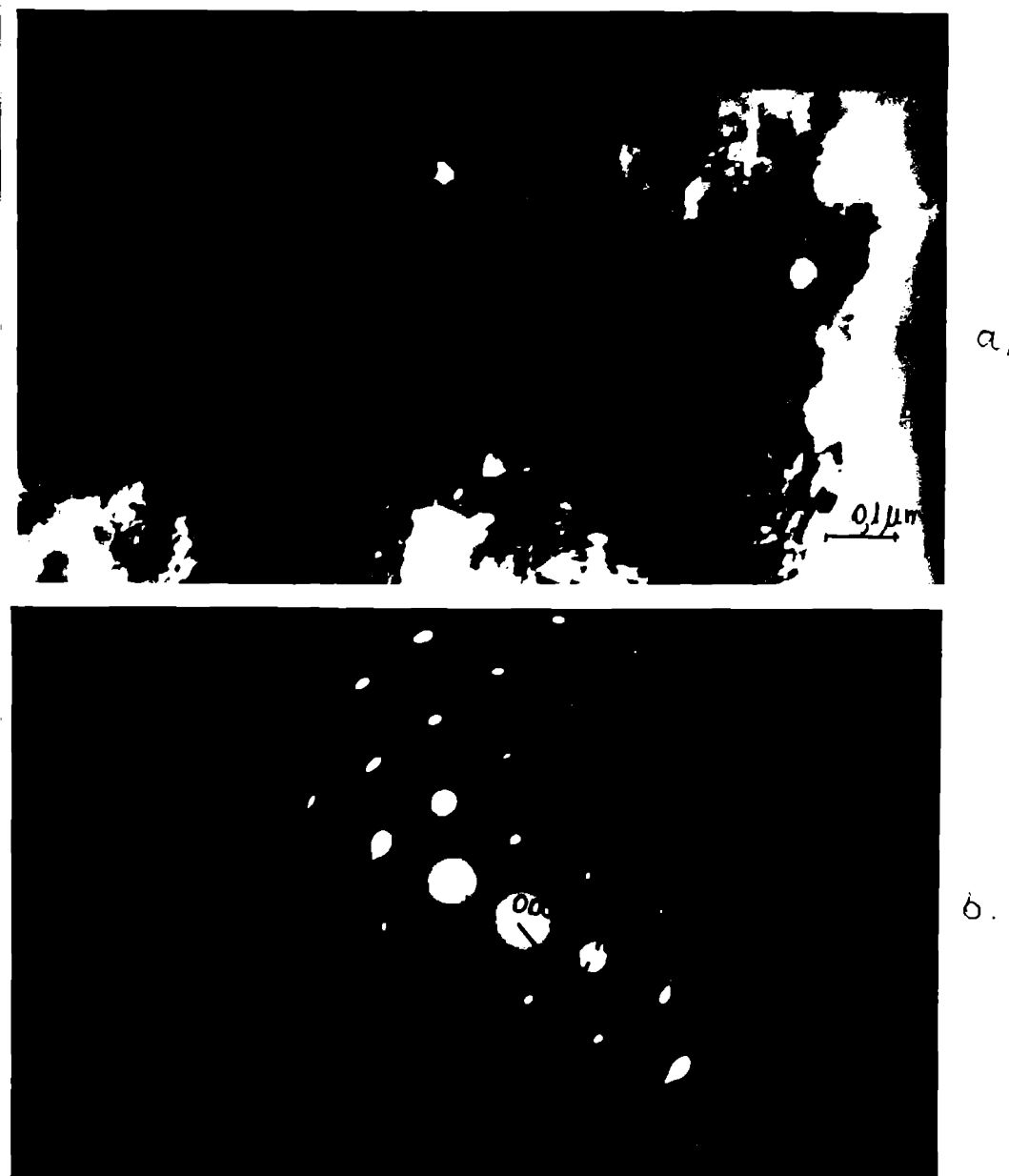


Fig.49 - Bandă din ețel Fe-3% și laminată la rece
a - zonă II din fig.47;
b - difracție electronică pe zonă (1). Axul de zonă este (111);
Se observă puternică distorsionare a rețelei (spațiu unitar $a_0 = 0.28 \text{ nm}$)
Se approximează deformarea rețelei ($\frac{\Delta a}{a}$) de 10%.

în starea deformată la rece, cristalele (fragmentele de grămezi) sunt orientate față de direcția de laminare și planul de laminare (compozitul detelor roșii) la vîrtura de deformare capitolul 3.2.). Deși, direcția de alunecare <111> sunt diapuse diametrici față de direcția și planul de alunecare, pentru fiecare componentă de temură având o anumită direcție. În acest fel nu este favorizată o singură direcție de alunecare sau un singur plan de alunecare ; ca urmare alunecarea după direcție <111> conduce la o rotație foarte de mare la planul de laminare (polul planului {110}), astfel compoziția (111)<111> obținută în lucrarea de faza I, sporește în urma rotației compoziției (112)<111> cu 90° în jurul axei <110>.

În ceea ce privește compoziția {111}<111>, în literatura de specialitate [49] se precizează că apare în urma transformării compoziției {100}<110> (specifică stării laminato a materialului) ca urmare a anumitor detorsiuni deplasărilor dislocațiilor parțiale de tip #6<111> pe planul succesoriv de tip {112} în prima fază ale procesului de deformare la rece.

3.3. Studiul prin microscopie electronice de transmisie a modificărilor substructurii în etadiile recristalizării primare

Procesul de recristalizare se desfășoară în general în trei etape :

- I - Structura celulardă a materialului devine pronunțată și apar subgranții;
- II - Subgranții cresc consumind matricea;
- III - Subgranții cu o anumită orientare încep să crescă rapid, pe același lejeri, conducând la orientarea matricială.

Cele trei etape sunt însoțite de alte fenomene cum sunt mișcarea dislocațiilor, relaxarea rotoarelor cristaline, mișcarea liniilor care consumă în final la obținerea structurii de recristalizare.

Pentru evidențierea că mai exactă a fenomenelor ce au loc în timpul încălzirii, o-a studiat în paralel procesul de recristalizare pe probe tratate în atmosferă controlată în domeniul de temperaturi $300 - 800^{\circ}\text{C}$ și pe probă încălzită în microscopul electronic în acest interval.

Procedul de încălzire în microscop are avantajul că oferă posibilitatea observării modificărilor substructurii "in situ". Desavantajul este dat de faptul că proba trebuie să aibă o grosime foarte mică (1000 \AA) pentru a fi "transparentă" în microscop, iar la această grosime de material nu există suficient volum pentru a crea subgranții de recristalizare. Din acest motiv, studiul în microscop a fost completat cu studiul pe probă tratată separat.

3.3.1. Zonarea celulelor de dislocații

Pentru studiu o-a analizat proba din bandă laminată la rece, a cărei structură a fost prezentată în capitolul 3.2.3.

Prin încălzirea materialului, dislocațiile, împreună cu multe și roțeașe cristalină își recuperă energia fie prin emisiei unor dislocații ca urmare a interacțiunii dintre ele, fie prin reorganizarea acestora printr-o configurație de jocuri energetice.

În fig.50 se prezintă zona analizată anterior, încălzită până la 400°C . Se observă o micșorare a densității de dislocații în ambele zone deoarece și de altă parte și de limite.

În zonă I (fig.51) se observă creșterea celulilor de dislocații ce ajung la $0,8\text{ \mu m}$. În zonă II (fig.52) încep să se formeze celule de dislocații, fenomenul fiind mai intens decât în zonă I. Dejurul lor se însoțește formarea celulilor și imaginea de difracție electronică de pe această zonă arată că roțeașe cristalină s-a rotit foarte

de untrice.

Procesul de formare și creștere a celulelor de dislocații se întâlnește de regenerare și el se produce prin extirparea termică a mișcării de deplasare a dislocațiilor.

3.3.2. Polygonizarea, formarea parțialor mai de cristale, extinderea cărora cîntărindătorilor

Prin creșterea temperaturii de încălzire se crează condiții pentru extirparea procesului de difuzie a defectelor parastiforme din material (vacanță, interstitialie). Mișcarea dislocațiilor se accentuează și în timpul alăudării ele pot trece de pe un plan de elanșare pe altul, aranjându-se în configurații de jocuri energie (elast.). Rezultă astfel de cristal separate unul de altul prin limite aleștărite din 1, 2, 3 sau mai multe căruri de dislocații, care se diferențiază cu privire la anghieri de 5° . Sunt aceste limită de anghieri mici, iar procesul în urmă căruia acesta se formează numele de polygonizare.

În micrografia prezentată în fig.53-55 se observă procesul de formare a limitelor la unghieri mici (în sonolo analizat anterior) la încălzirea materialului la $500-600^{\circ}\text{C}$. Cu toate că par a avea o linie finită ($100-200\text{ }\mu\text{m}^2$) este posibil ca acesta să fie fie perpendiculară pe suprafața probei, că să fie formată din două căruri de dislocații marginale [50]. Prințele la care se însoțește formarea acestor limite indică rotirea roțelui cristalină în vecinătatea lor, evidențierea cărularul predominant de rotire a acestora. De asemenea, se observă tendința de formare a roțelilor de dislocații pe aceste limite (fig.54), ca urmare a înteroagării lor. Sonolo din vecinătatea acestor limite sănătate curate lipite de dislocații.

Po măsurări de temperatură crește (fig.55) limitele la unghieri mici devin mai clare, existând posibilitatea formării noilor limite suplimentare, prin mișcarea dislocațiilor din sonolo adiacente bazailelor de deformare. Această fapt se coreponde bine cu obervării că în sonole din vecinătatea structuri în sensul nu s-a obseruat fenomenul de poligonizare.

La încălzirea mai departe a materialului (650°C) se observă aranjarea limitelor la unghieri mici cu tendință de formare a limitelor între subgranițe. Micrografie din fig.56 prezintă modificarea structurii a celulelor ca în starea deformată analizată anterior. În urma încălzirii bazailelor de dislocații s-a adăugat mult, sau devenită structura colulară și au apărut subgranițe. În imaginile prezentate se observă că limitele dintre subgranițe

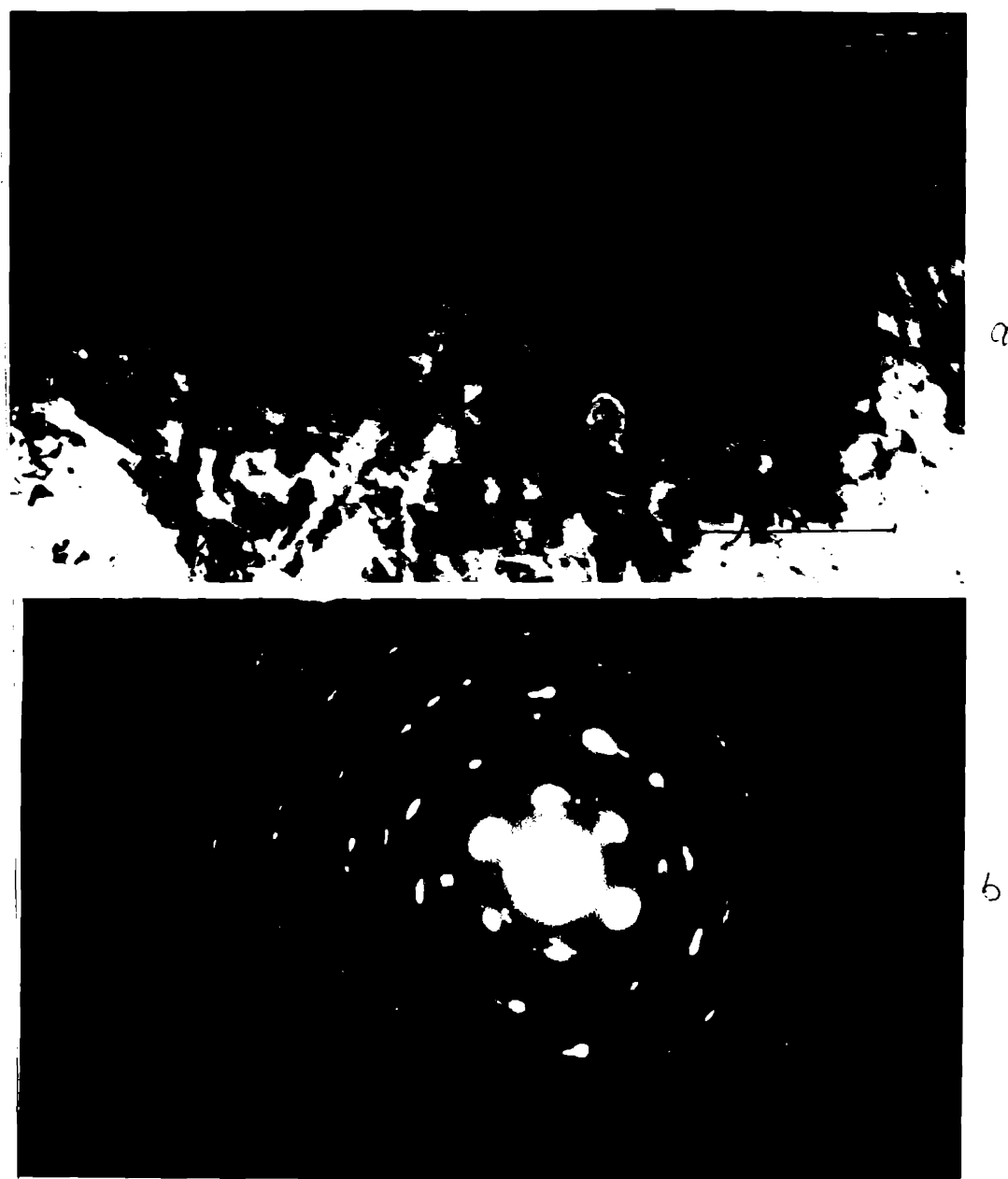


Fig.50 Bandă din oțel Fe-3% și încălzită în 400°C .
(Zona analizată în fig.47)
Materialul continuu să fie puternic deformat, se vede în
orientările $\langle\bar{1}11\rangle$ și $\langle\bar{1}1\bar{1}\rangle$.

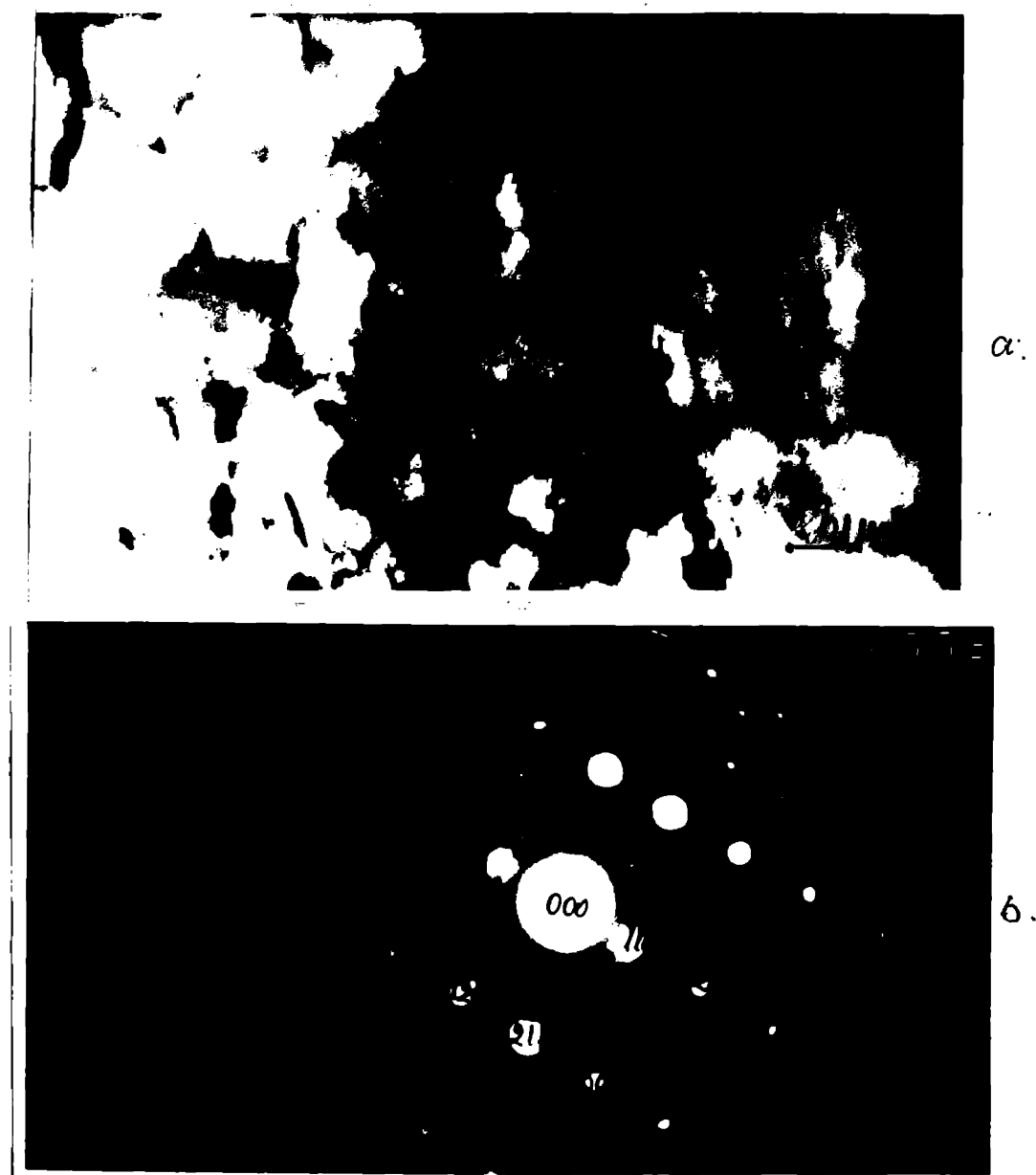
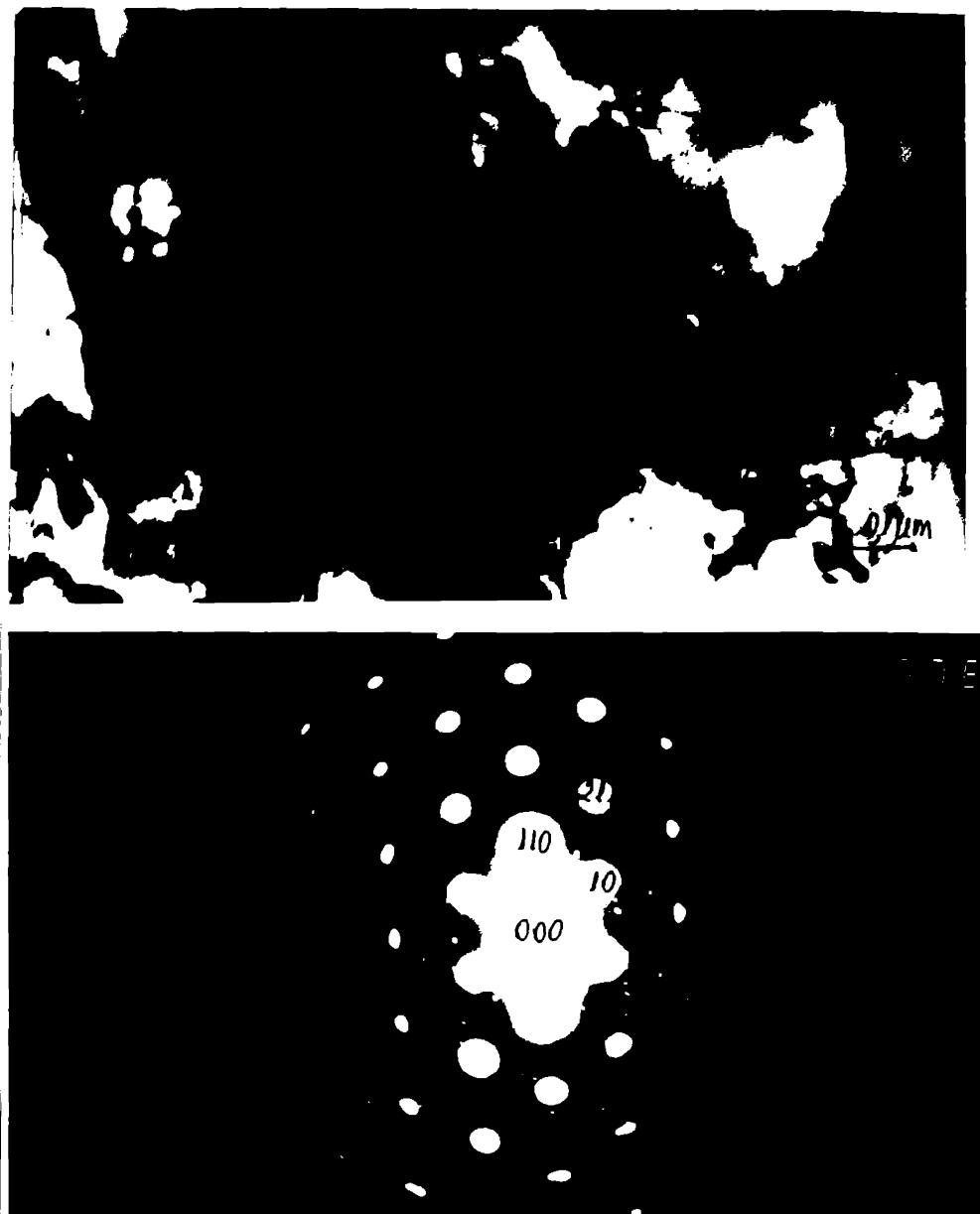


Fig.51 Bondă din oțel Fe-3% Si încălzită
la 400°C . (zona I analizată în fig.48)
materialul este mai relaxat, orientarea $\langle 11\bar{3} \rangle$ se menține.



Pătrăză cu inclusions de Fe_2O_3 și încălzire la 400°C
(zona II analizată în fig. 49)

Relativitatea rețelei a determinat micșorarea dimensiunilor
la numai 2%.

Să păstreze orientarea (Fig.).

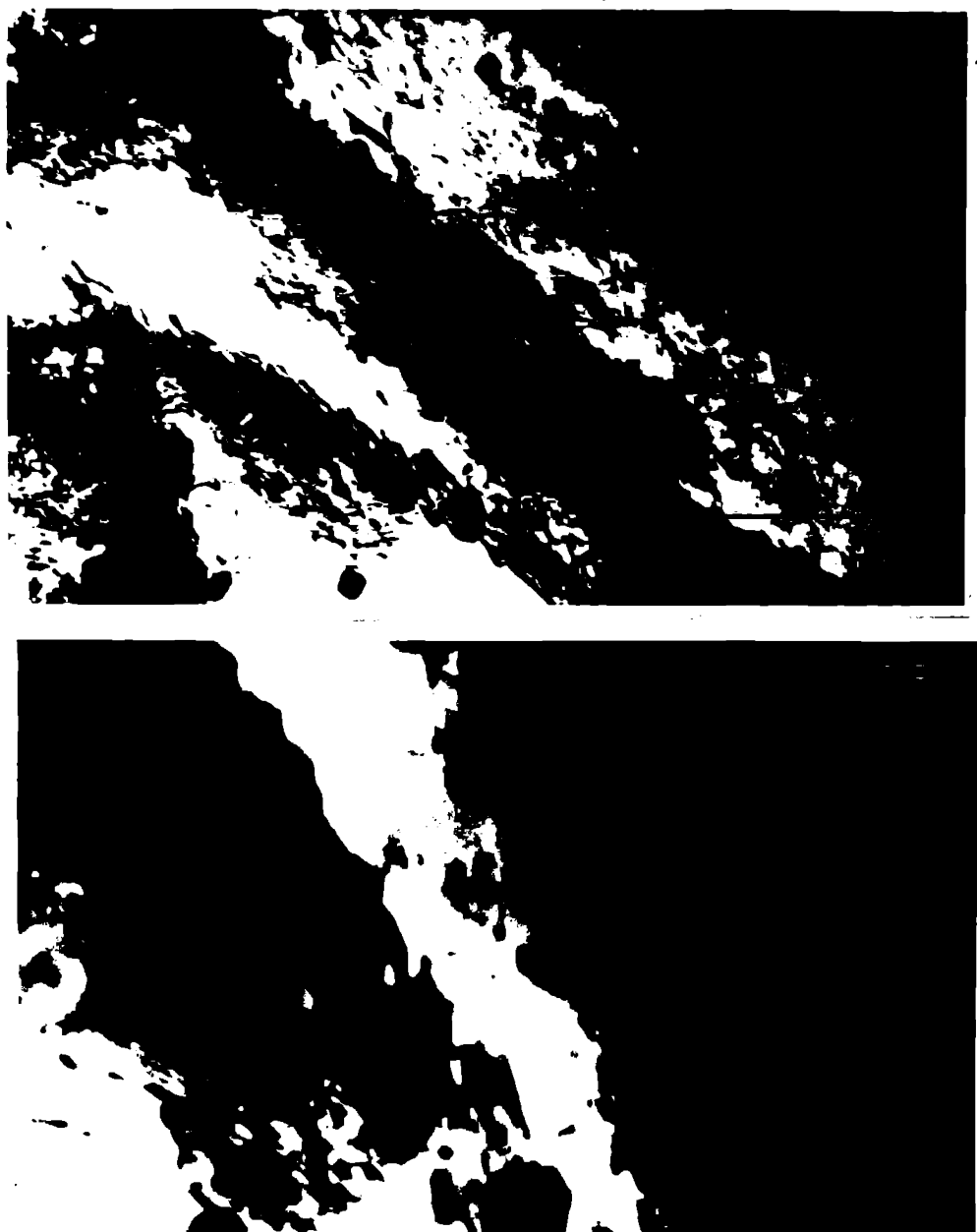


Fig.53 Banda din oțel Fe-3% Si încalzită la 550°C . Formarea limitelor la unghiuri mici ca urmare a procesului de poligonizare. Franjele Moire indică rotirea rețelei cristaline.

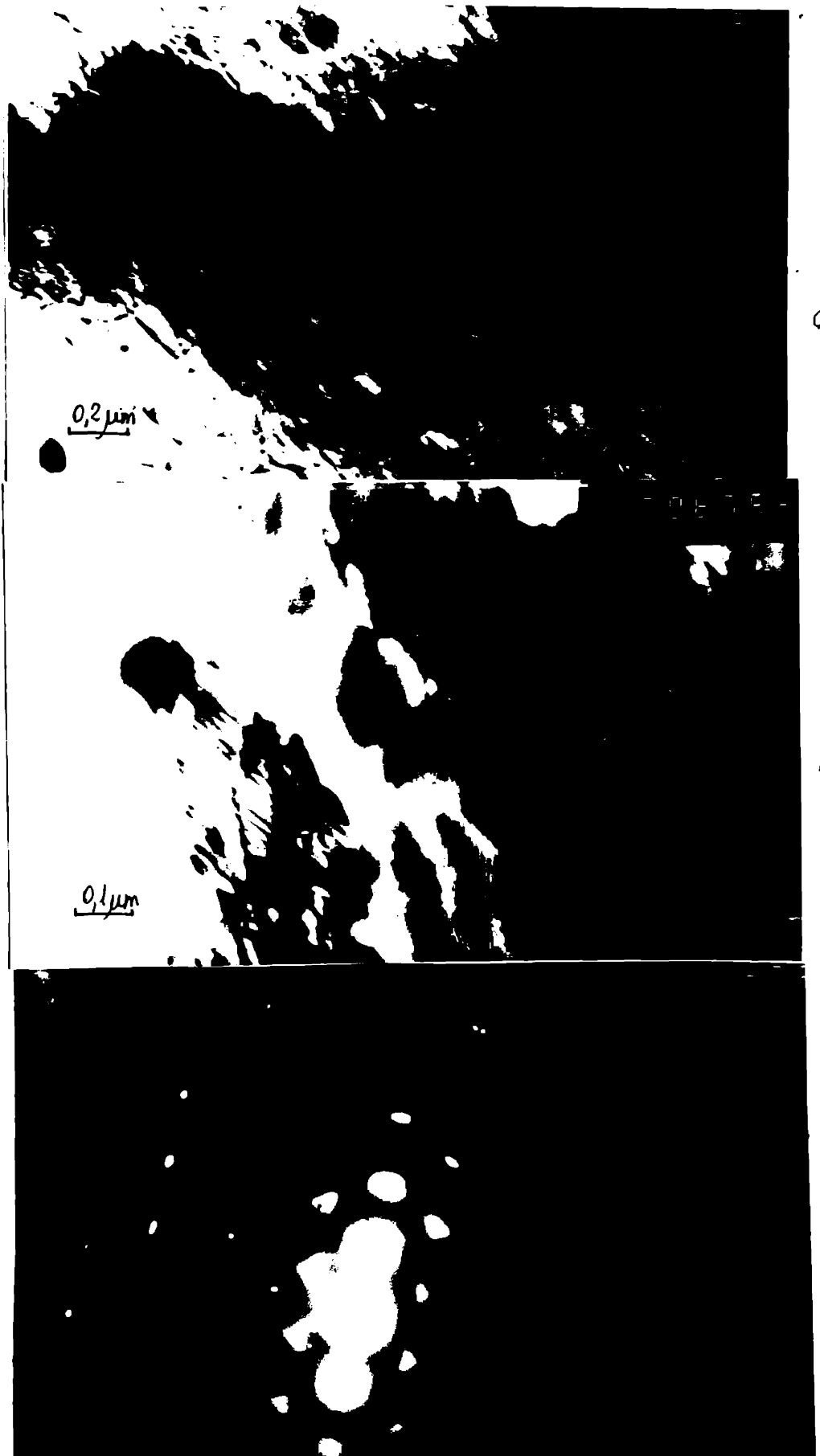


Fig.54 Sondă din oțel Fe-2% Si încălzită la 550°C . Se observă procesul de poligenitare (a) și formarea limitei la măștiuri mici (b). Imaginea cu difracție electronică (c) indică orientarea (împărtășită) a cristalului. Reflexii puternice dău planele de tip {110}.

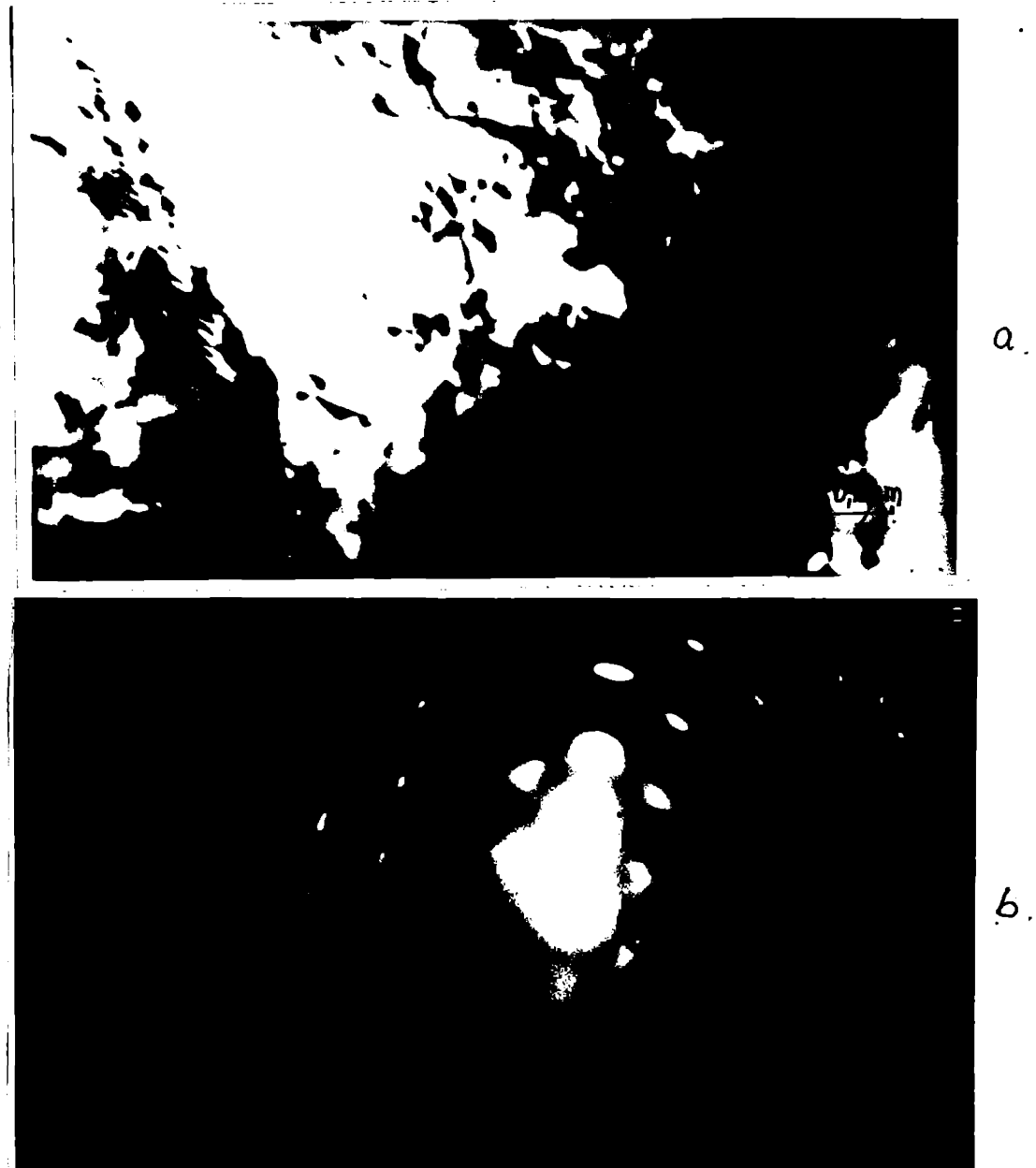


Fig.55 Bandă din oțel Fe-3% Si încălzită la 600°C .
Se evidențiază mai clar limita la unghiuri mici (A) și
relaxarea matricei prin migrarea și poligonizarea dislocațiilor (B).
Cristalul își păstrează aceeași orientare $\langle \text{III} \rangle$.

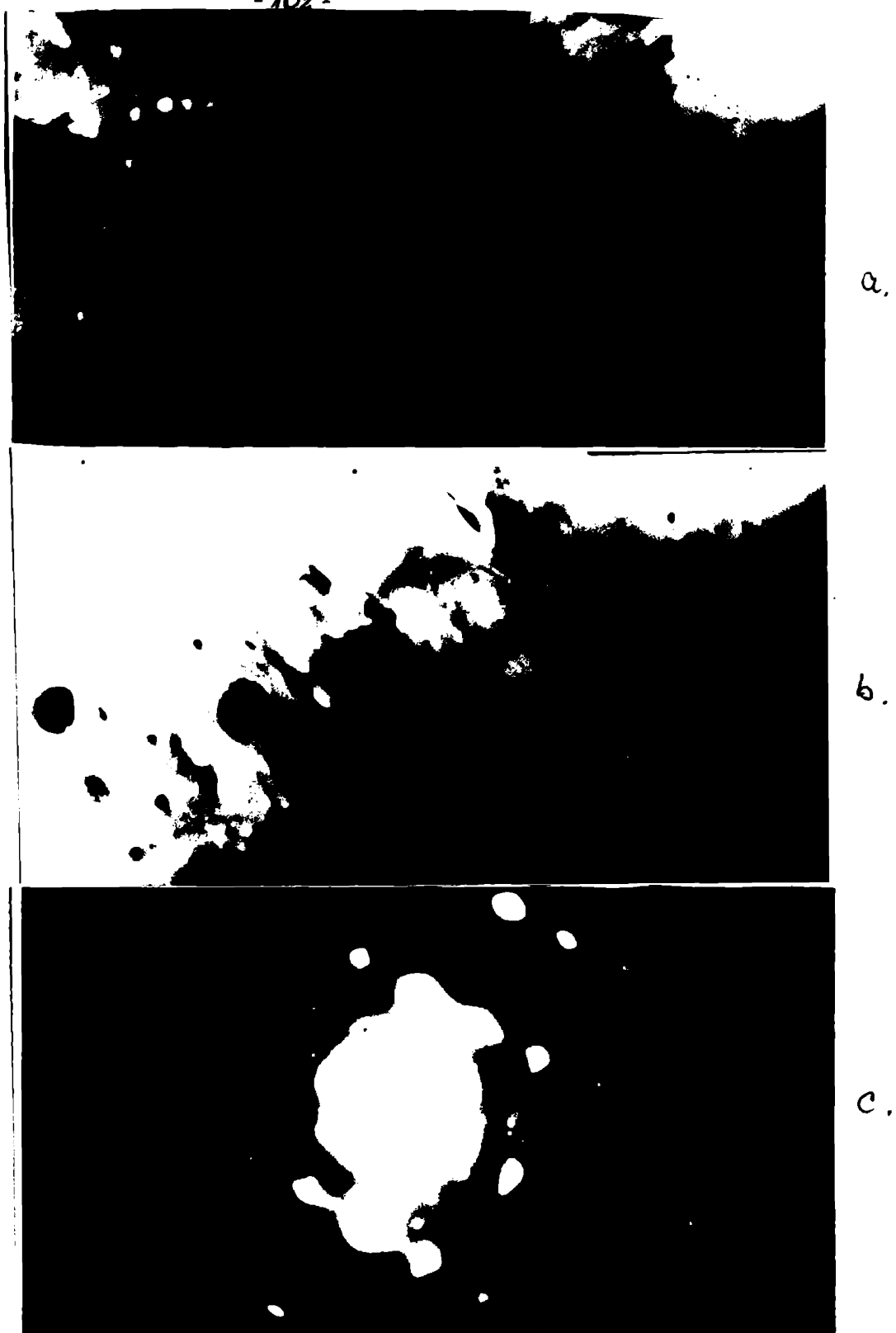


Fig.56 Bandă din oțel Fe-3% Si încălzită la 650°C (a - zone I, b - zona II)
Imaginea de difracție electronică corespunzătoare zonii II(c) indică existența celor două orientări $\langle\bar{1}11\rangle$ și $\langle\bar{1}1\bar{3}\rangle$.

se au format la limitele între grupurile de ecuale între care există o diferență de orientare mare (orientările [113] și [111] făc un unghi de $\sim 30^\circ$). În imaginile de difracție prezentate în fig. 56 se observă că existența celor două orientări corectitudinoare atât inițiale deformate a materialelor.

Se poate trage concluzia că subgraniții apar în urmă procesului de recrystalizare a dislocațiilor în formă de limite de subgraniță, proces ce este încotit de o rezistență remarcabilă a densității de dislocații. Mai mult, se poate apăra că procesul de recristalizare caracterizat prin etapile I și II trădează să se desvolte în mod preferențial în zonele deformate în banchi, domeniul accentuat subgraniții format în prima fază alor recristalizării păstrând orientarea matricială și el cint densitatea în adăvintională germină (graniță) de recristalizare. În imaginea prezentată în fig. 56 se observă că subgraniții formati de formă aproxiimată așezării săptării de matrice prin limite la unghiuri mari (în matricea de orientare [113] spre rotația cu orientarea [111]). Se constată că cintătău că din dimensiuni de ordinul a $1/\mu$, cintă aproape liberi de dislocații și cintă încadrări de matrice a cărei densitate de dislocații se estimează că fi $7 \times 10^{10} \text{ cm}^{-2}$.

Pentru a urmări dezvoltarea procesului de recristalizare în etajul al III-lea (cristarea germinărilor) se studiază proba tratată termic în intervalul de temperaturi de $600-800^\circ\text{C}$.

În micrografie din fig. 57 se prezintă aspectul caracteristic al banchii cristalizate la 800°C . Se remarcă structura de subgraniță observată anterior pe probă facilizată în microscop. În datea acestuia se obțină și multe detalii legate de transformarea matricială și anume : se observă grupuri de dislocațiilor pe limite și separarea sonelor soluției liberă de dislocații din restul matriciei care rămâne dislocionață.

Imaginiile de difracție electronice evidențiază orientările subgraniților (slab alungiri) (111)<211> identice cu a matriciei din care au provenit.

Indulcind materialul la 700°C intră în etajul al III-lea al recristalizării : cristarea germinărilor se face nouă.
În fig. 58 se prezintă imaginiile unui graniță nou format cu orientarea (111)<211> caracterizat prin următoarea aspectă : limitele dintre graniță și zonele invacante tind spre o acoperire doplină ; granițele sunt mai lungi decât înainte, începutul și sfârșitul granițelor sunt punctate (există virfură) ; prezintă linii Kikuchi în imagini.

De difracție electronică indică faptul că roțocul cristalin a grănitelui nu format este mai ordonat decât a matricei din care a provenit. Aceste observații sunt bine corelate cu rezultatele obținute de alter, Koch și Hu și vin în sprijinul teoricii conform căreia grăniții apar în schimb ca precizări bune și de deformare.

Procesul de recristalinare nu se desfășoară simplu în totul acest materialul. Astfel, ca fost pusă în evidență mai cu dislocații libere în matrice sau blocoare pe o limită preexistență (figura 59), unde puternice deformante fiind în care procesul de poligenare se află în fază incipientă (fig.60).

3.3.3. Matricea subgraniților. Textura recristalinării secundare

Încălzind materialul la 750°C , procesul de recristalinare se generalizează în matrice formându-se grănițe echise în dimensiuni de $3-5\mu$, astăzi grănițe cu limite curate lipsite de dislocații (fig.61).

În ceea ce privește natura limitelor dintre grănițe, în același mod ca și condusă că există următoare tipuri de limite: limite la unghiuri mici și limite la unghieri mari. În micrografia din fig.61 se prezintă limitele dintre 3 grănițe. Imaginele de difracție electronică obținute pe cinci traci grăniță arată existența unei limite la unghieri mari între grănițele A și C. A este orientarea [001] și C este orientarea [111] și limite la unghieri mici între A și B și B și C (B este orientarea [001] cu un unghi de 45° față de A).

Limita grănițelor B astăzi difuse, neclară, pe cinci limite dintre A și C este bine dovedită având dislocațiile blocate pe ea. De asemenea că în același fel apără orientarea [001] caracteristică zonei planșelor (110) [001], (100) [001] ce caracterizează textura bunei finale.

Prin încălzirea materialului la 800°C , grăniții cresc mult, având dimensiunile $> 2\mu$ (fig.63). Din micrografurile prezentate în fig.64-65 se observă vecinătatea grănițelor cu orientările [111] = [001], [111] = [001] precum că grănițe cu aceeași orientare [111], rotite mult față de altul cu un unghi de $10-15^{\circ}$.

Se remarcă apariția grăniților pe planole (001), (011), grănițe care ulterior se pot orienta formând texturile (001)<110>, (001)<001>, (011)<001>, (011)<011>, specifice recristalinării secundare.

“O cunoaște se relată vecinătatea grănițelor (111) -(011), având aceea orientare <011>. Cele două orientări fac un unghi de 55° între ele și se joacă un rol important în obținerea texturii finale, în ceea ce prin rotirea lor în jurul axei comună <011> se obține textura 0003.

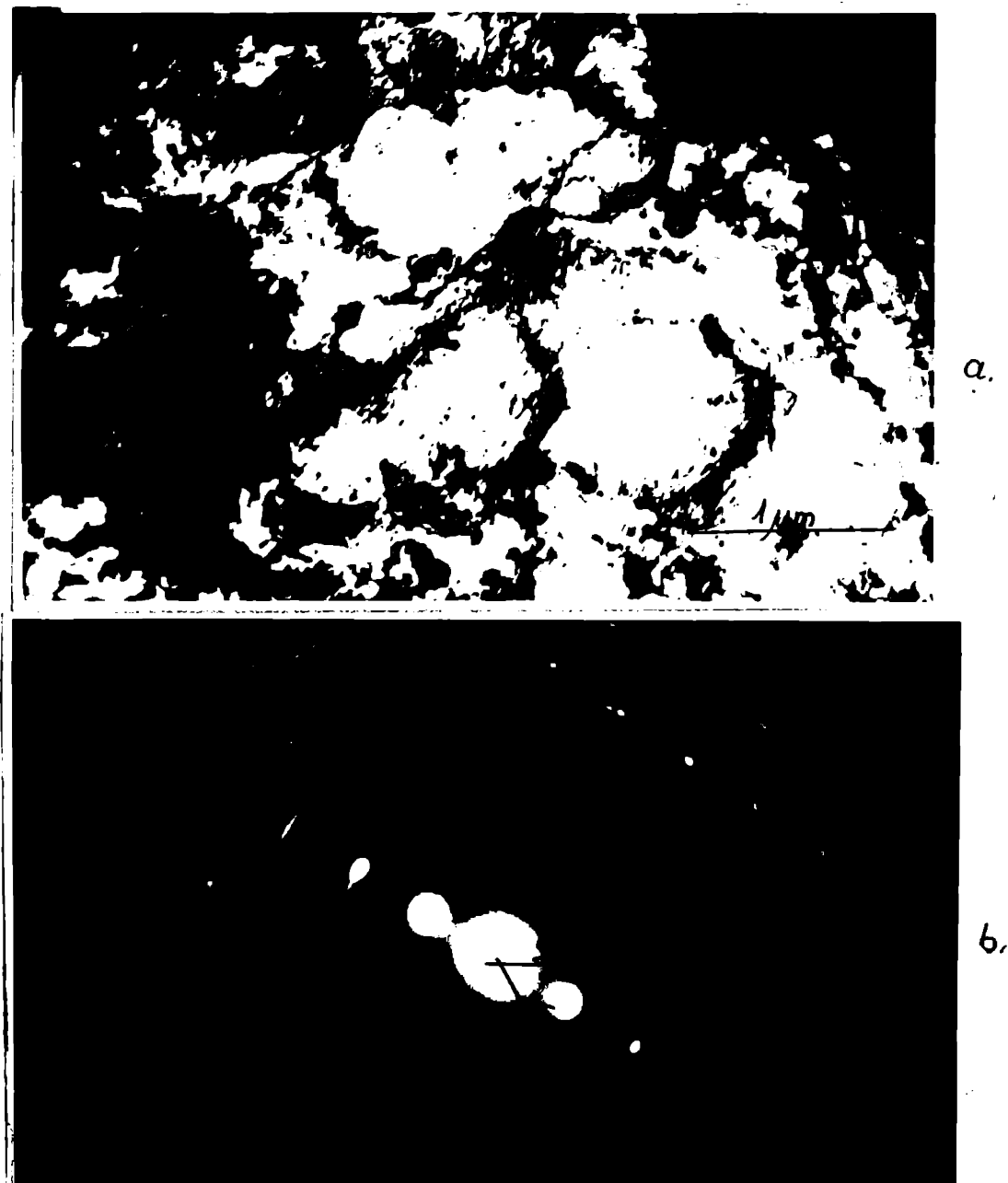


Fig.57 Bandă din oțel Fe-3% Si încălzită la 600°C .
Se observă formarea subgraniților cu orientarea $(\bar{1}11)[\bar{2}11]$.

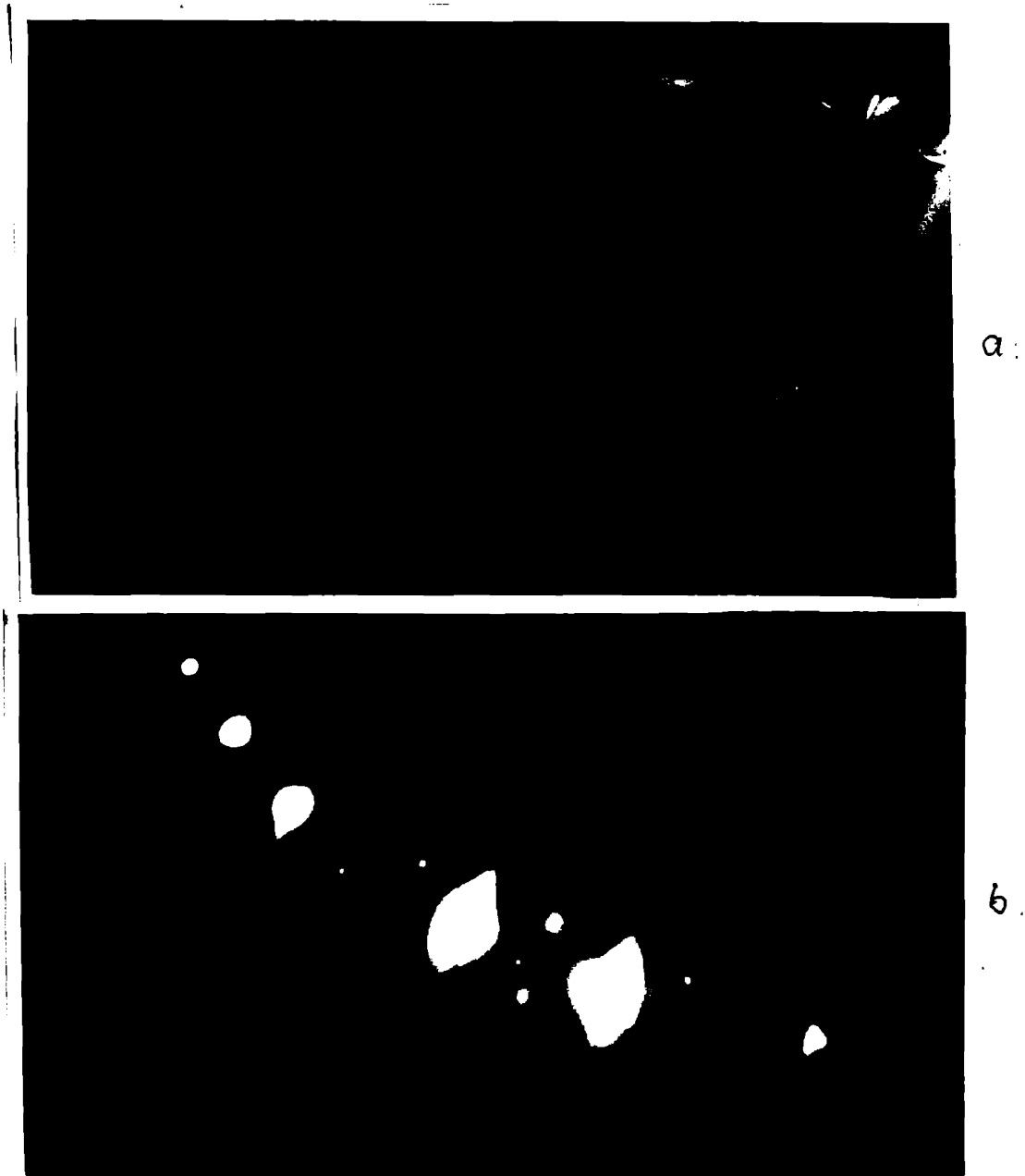


Fig.58 Grăunțe de recristalizare în oanda de oțel Fe-3% Si
încălziță la 700°C .
Axul de zonă <111>.

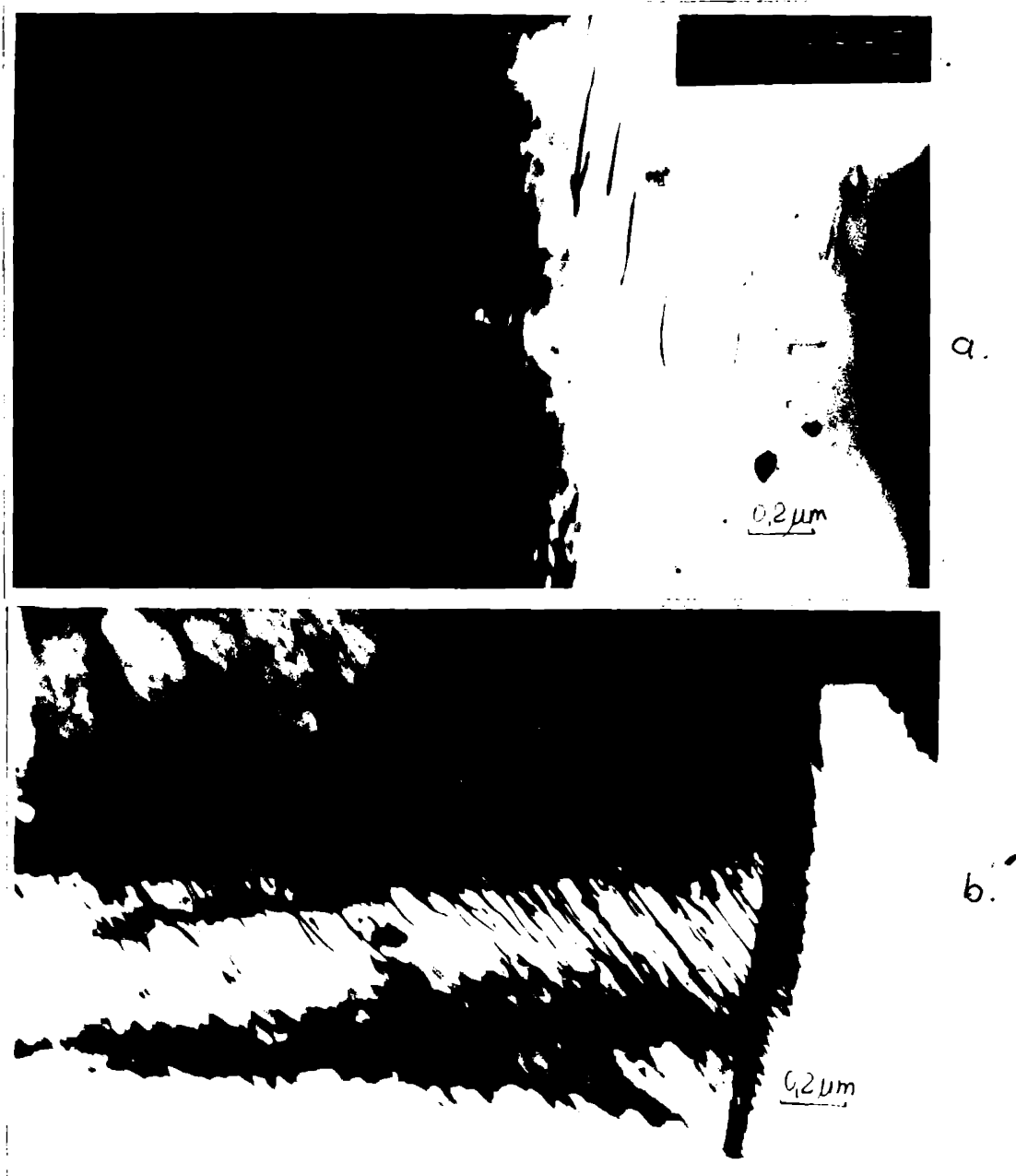


Fig.59 Dislocații în banda din oțel Fe-3% Si încălziită la 700° C.

a - dislocații libere în matrice;

b - dislocații blocați pe o limită preexistentă în matrice.

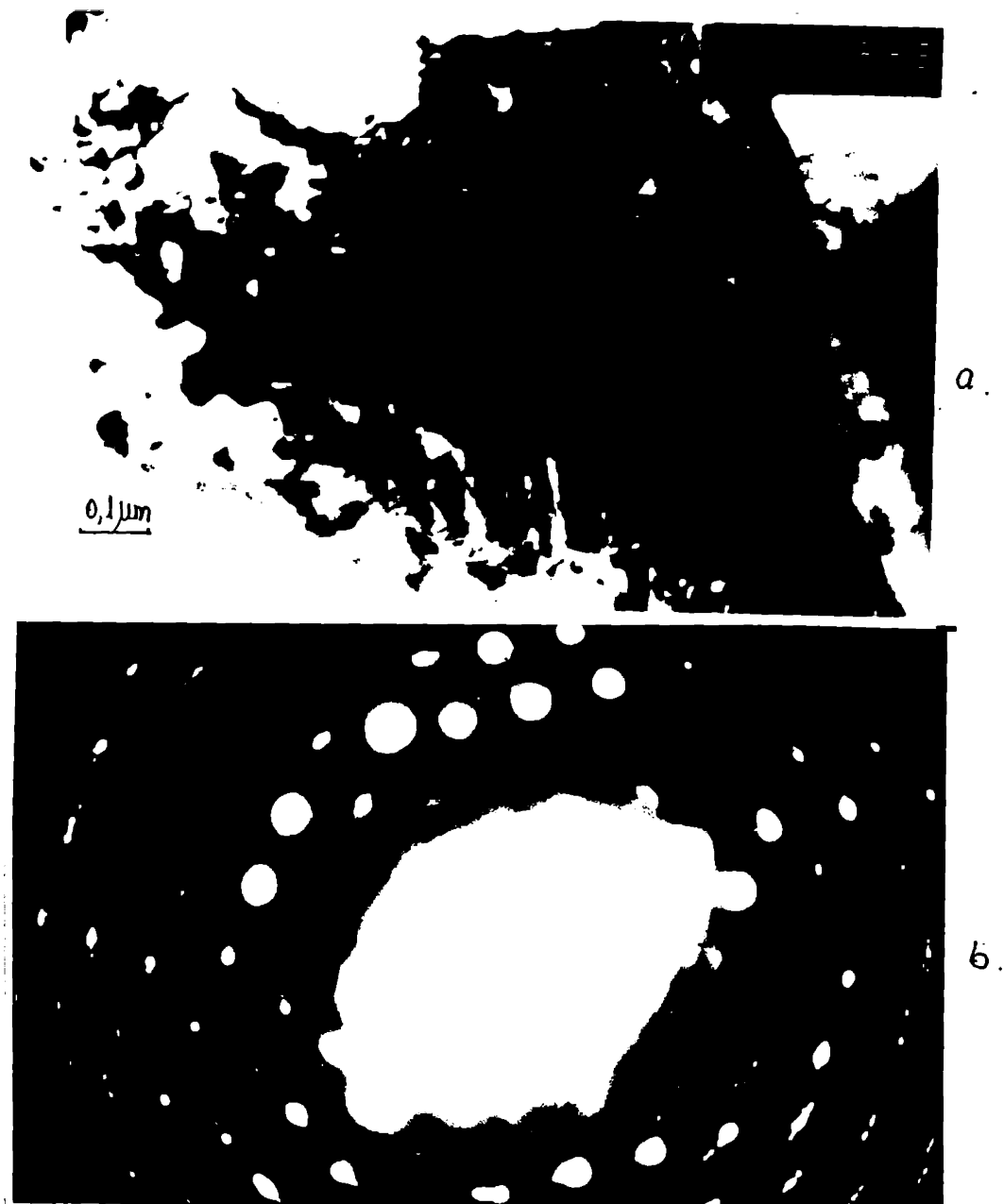
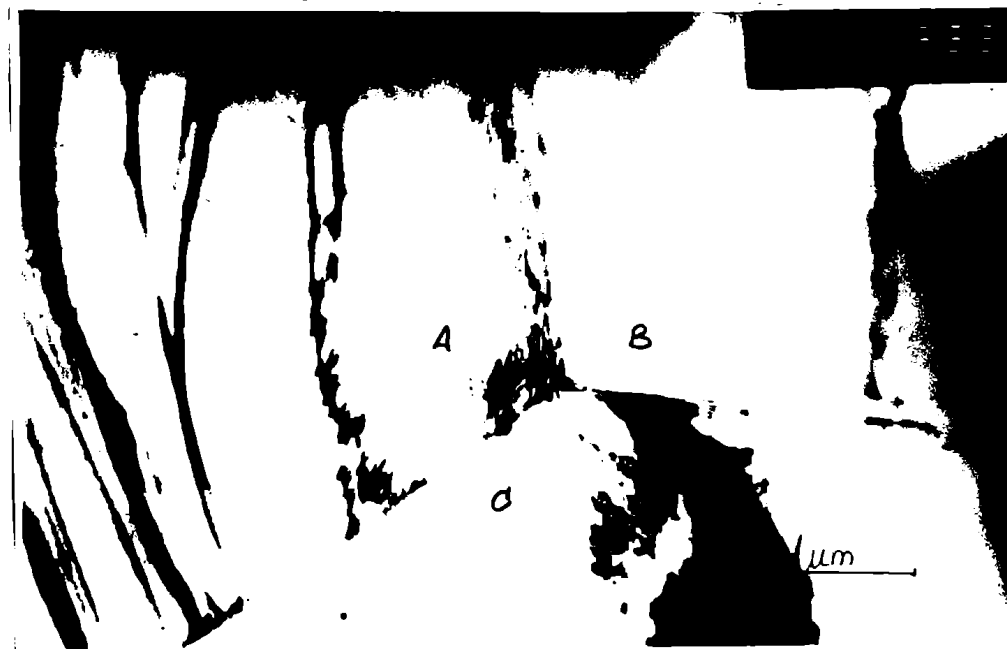


Fig.60 Bandă din oțel Fe-3% Si încălzită la 700°C

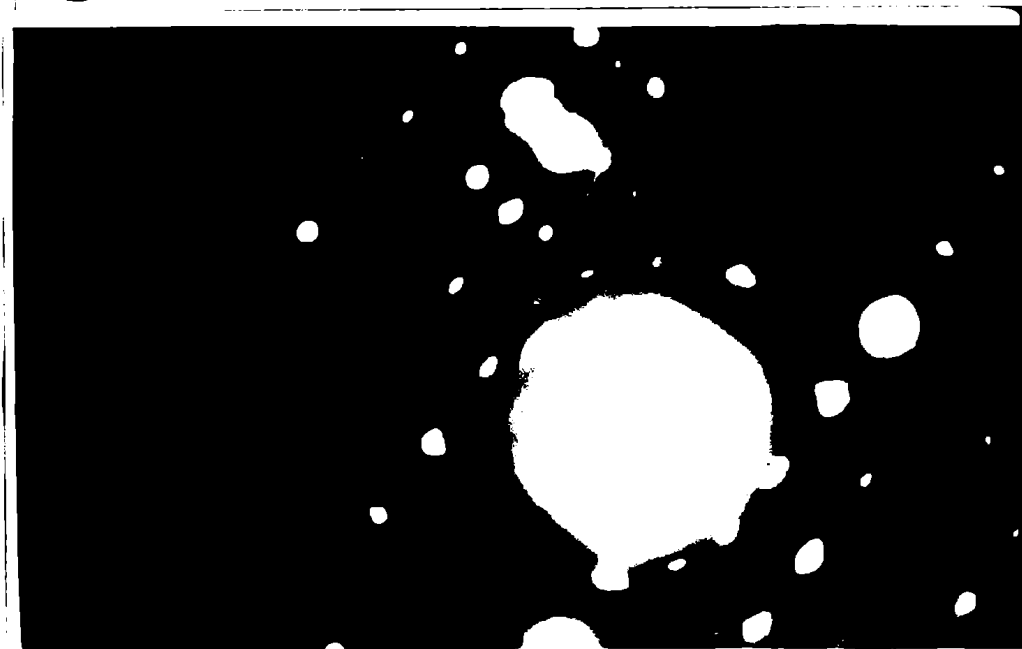
Zonă cu rețea puternic distorsionată; există un mozaic de blocuri cristaline limitate de dislocații (ce formează o rețea alcătoare) care au rotații reciproce de 10°)



Fig.61 Banda din oțel Fe-3% Si încălzită la 750°C .
Grăunți echiaxi de $2-3 \mu\text{m}$.



a.



b.

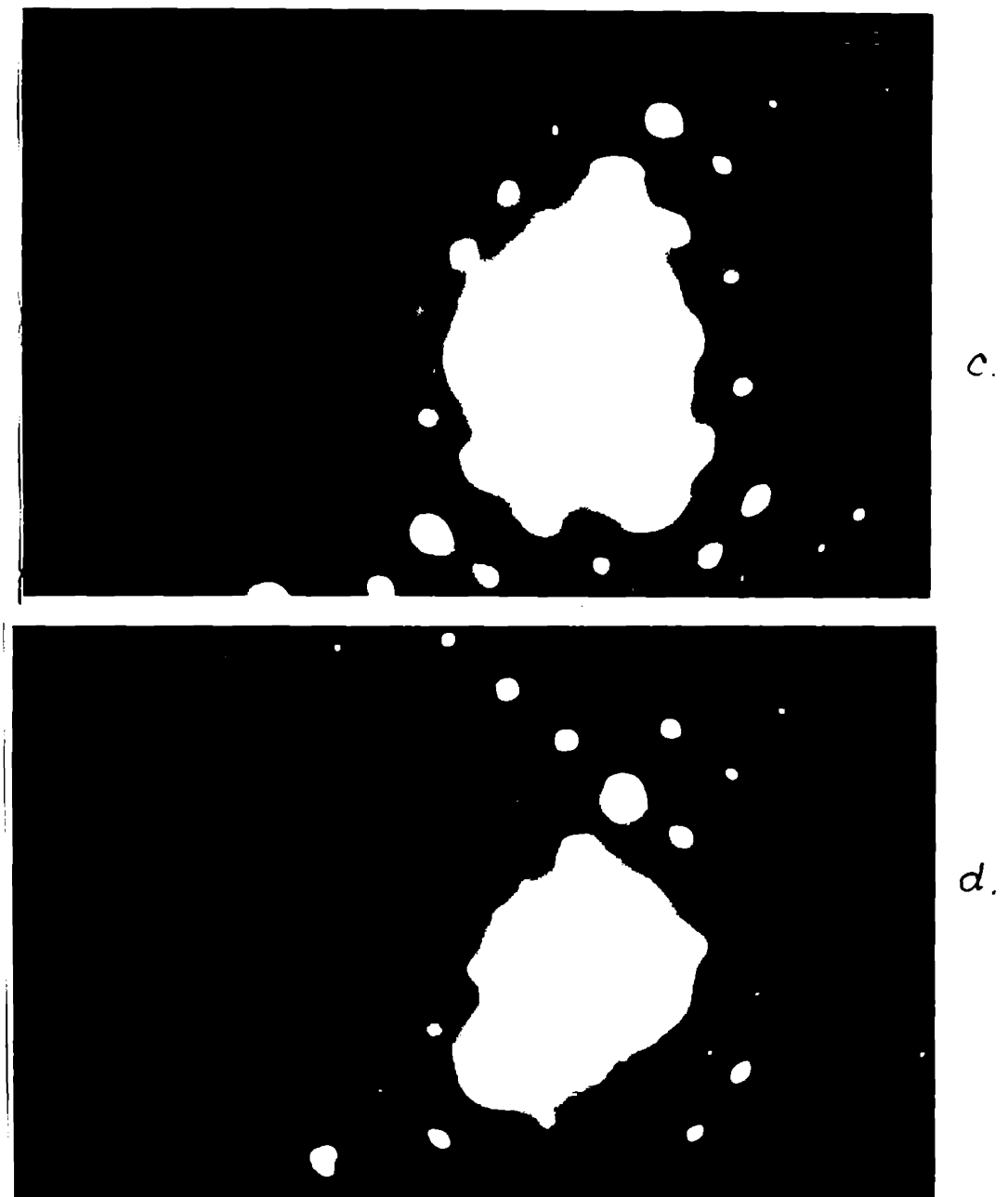


Fig.62 Bandă din oțel Fe-3% Si încălzită la 750°C
a- limita dintre trei grăunți;
b- grăuntele C ure o orientare spre $\langle\bar{1}11\rangle$;
c- grăuntele A ure orientarea $\langle 001\rangle$;
d- grăuntele B ure orientarea $\langle 001\rangle$ ușor modificată spre $\langle\bar{1}11\rangle$.

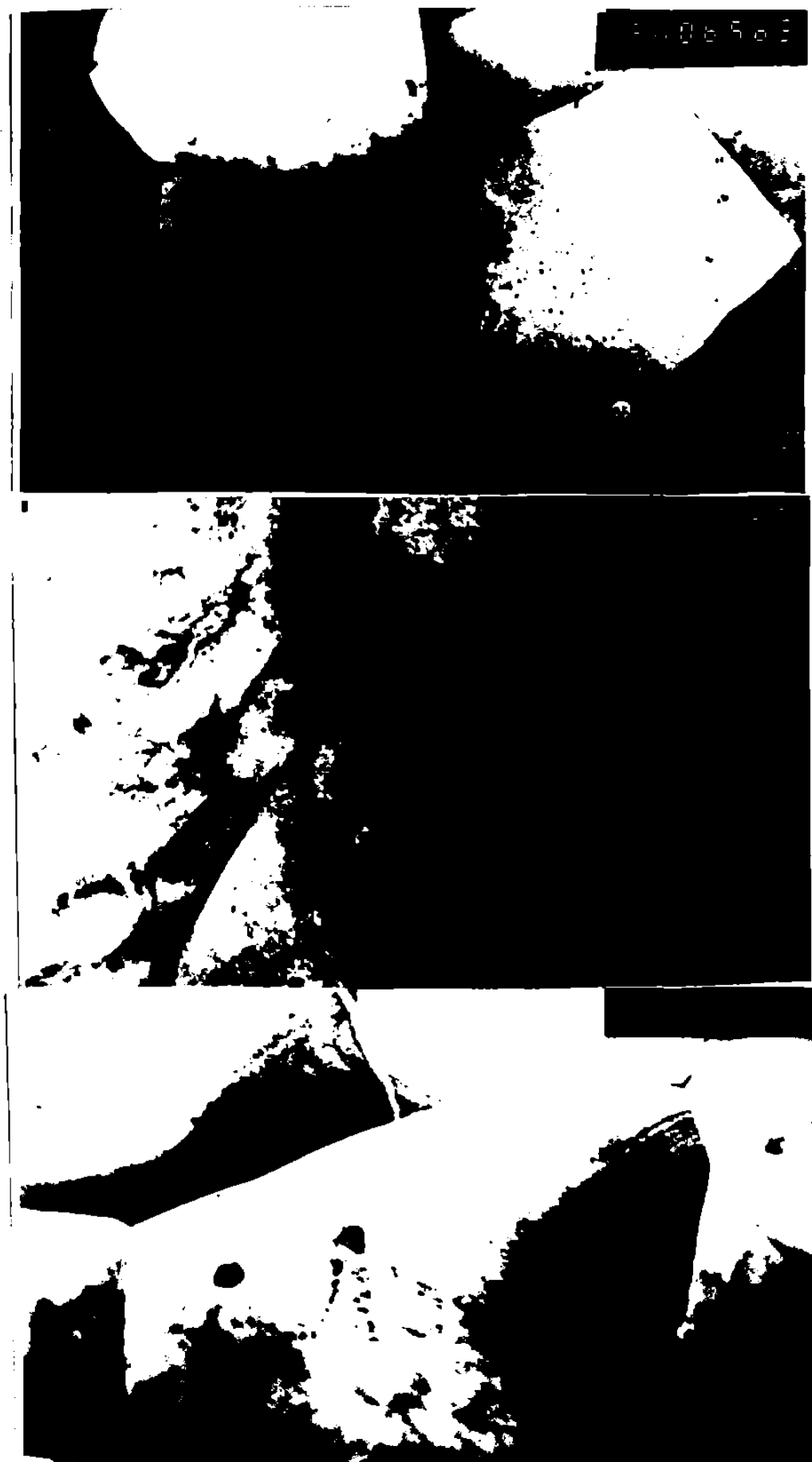


Fig.63 Bandă din oțel Fe-3% Si încălzita la 800°C
Graunți echiazi de $5 - 5 \mu\text{m}$.

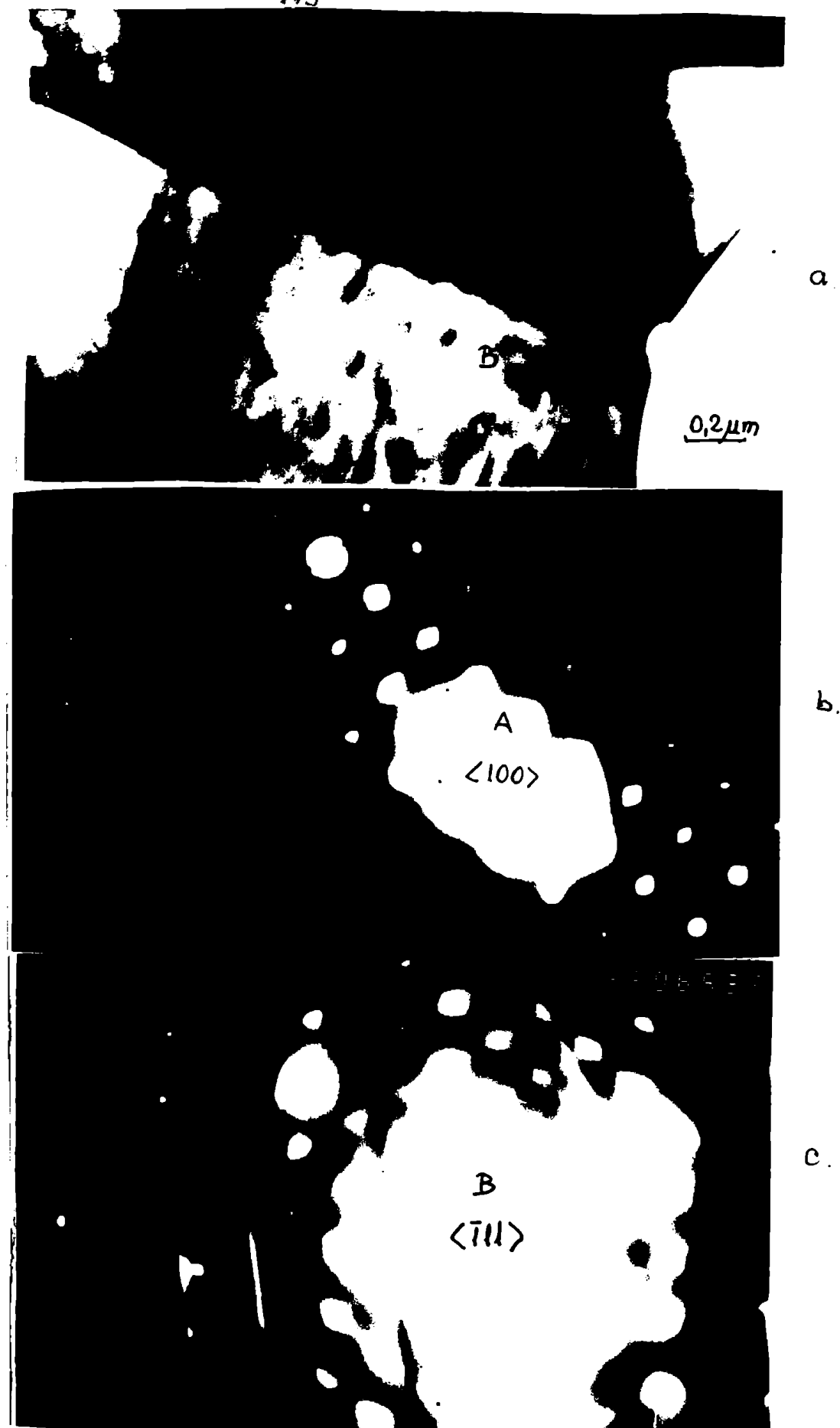
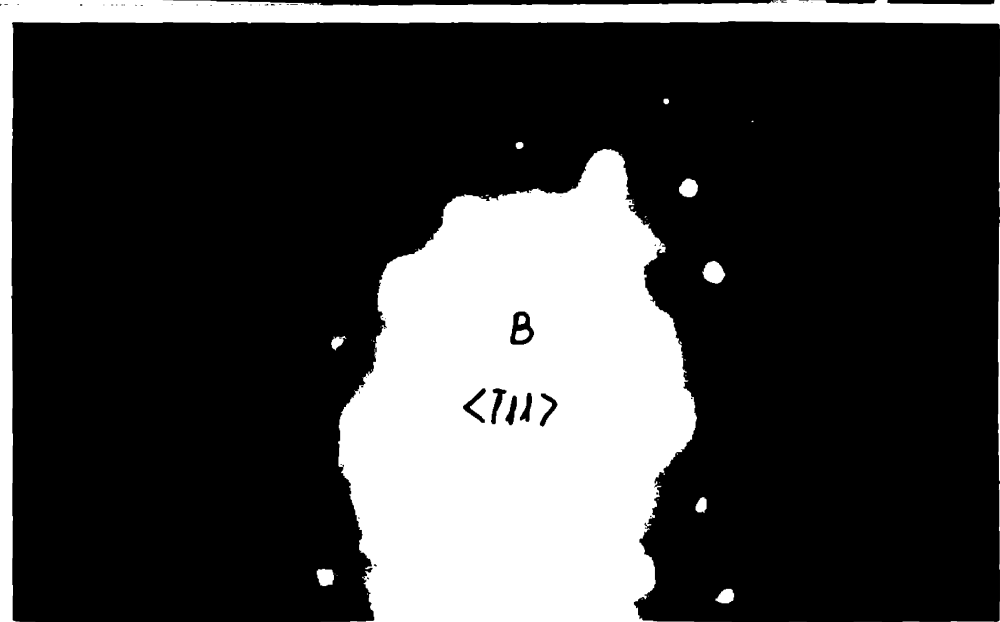
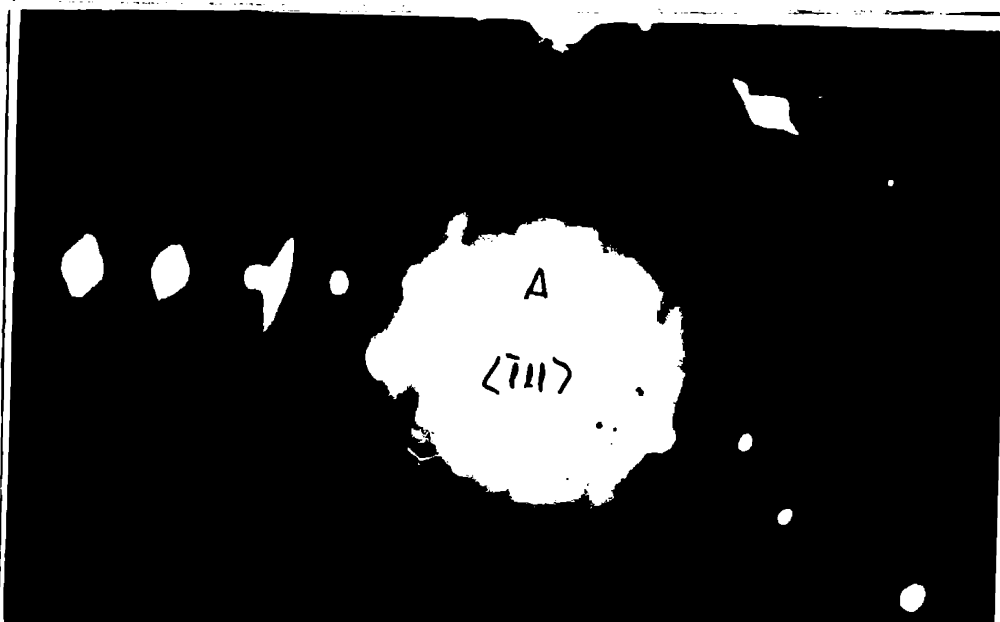


Fig.64 Banda din oțel Fe-3% Si încălzite la $800^{\circ}C$.
Graniță cu vecinătatea $\langle 100 \rangle$, $\langle 111 \rangle$.



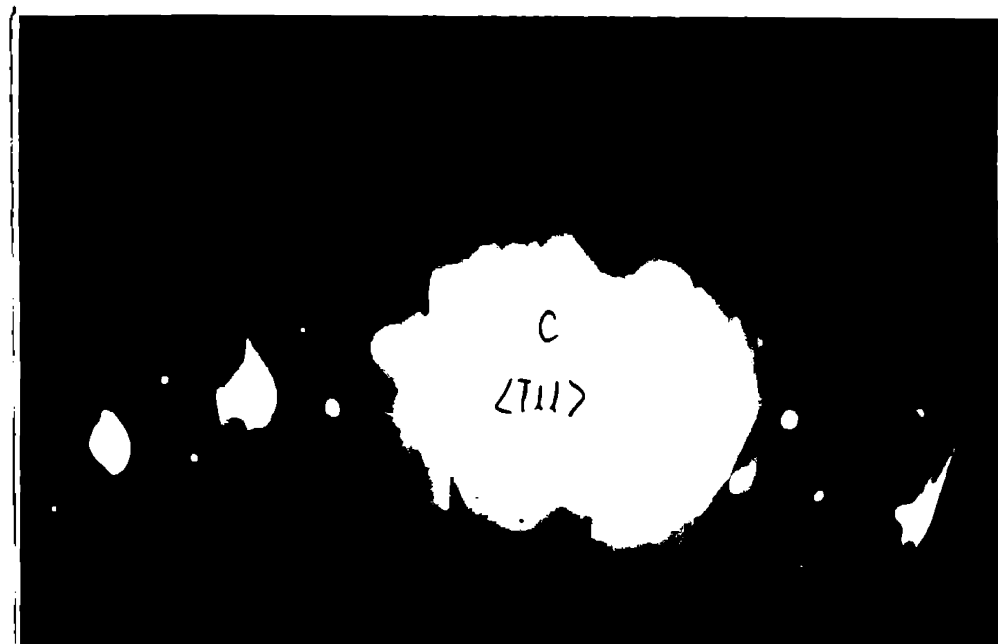


Fig.65 Bandă din oțel Fe-3% Si încălzită la 800°C . Zonă cu graunți echiaxi, curați, de orientare $\langle 111 \rangle$ rotiți unul față de celălalt cu un unghi de $lu-15^{\circ}$.

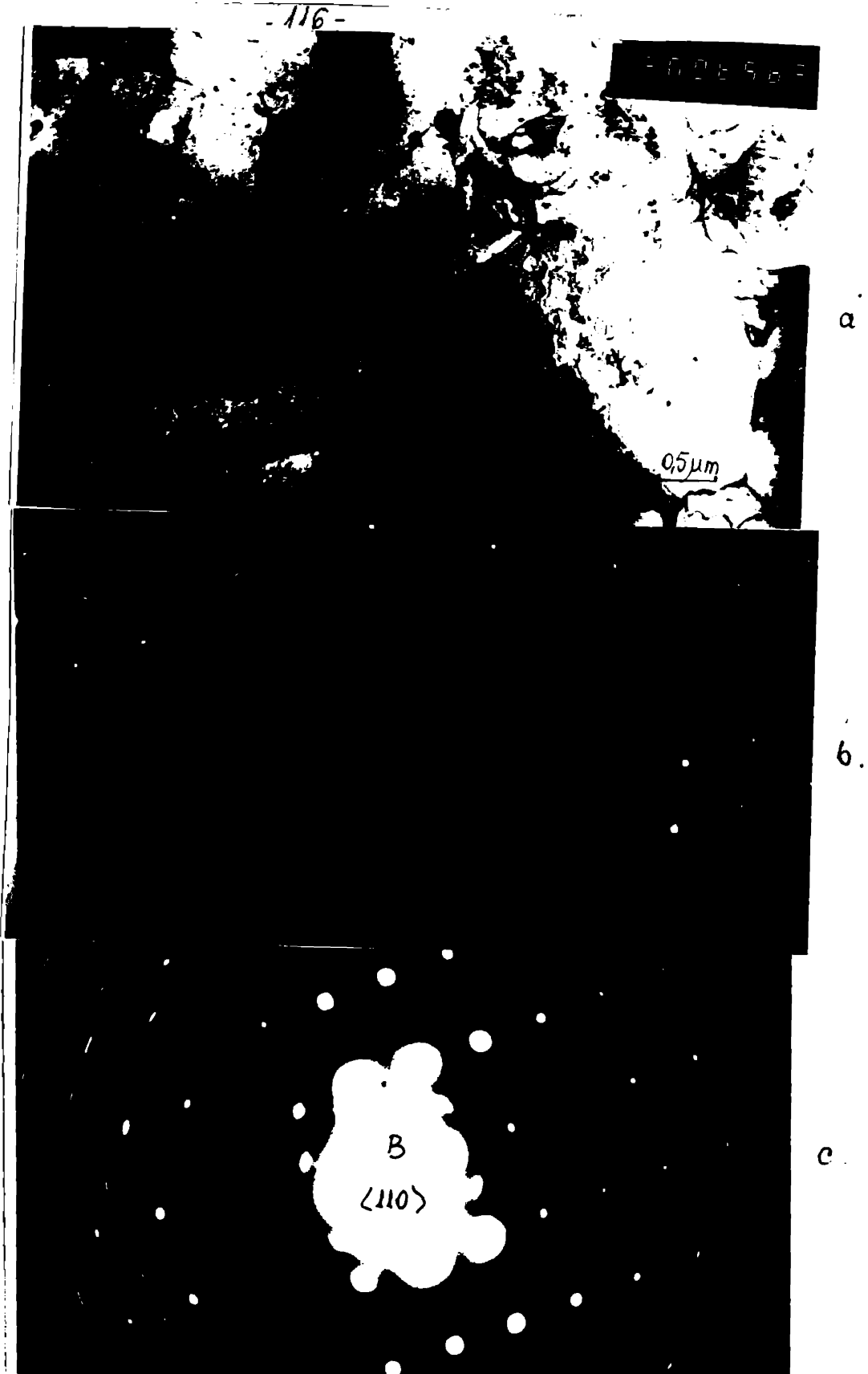


Fig.66 Bandă de oțel Fe-3% Si încălzită la 800°C .
Grăunți cu vecinătatea (llo) - (III)

Spre deosebire de limitele dintre grupuri formate în prima fază a recristalizării (600°C) care erau limite la unghiuri mici, în faza generalizării recristalizării, grupurile sănt separați de limite la unghiuri mari.

Reacția de la limite la unghiuri mici la limite la unghiuri mari, formându-se caracteristică procesul de creștere a grupurilor nou formate, este o problemă mult controversată.

Astfel, Fujita a explicitat creșterea grupurilor prin "grupare" subgrupurilor [54], formând prin căruia limite unei grupuri formate prin abordarea subgrupurilor din interiorul grupului II. El a cunoscut ecologic fenomenul "coleescență subgrupurilor" și a preocupat creșterea subgrupurilor prin dispariția trupelor (produs) a unei limite dintre subgrupuri și deplasarea diaforelor din vecinătatea acestora în zona limitelor rămasă [52] altor și Koch au preocupat ecologic procesul prin migrație subgrupurilor [50]. Bailey a sugerat că limitele la unghiuri mari se formează prima dată ca rezultat de poligenere, similar limbilor la unghiuri mici și că timpul cost de mobilitatea limitelor a ajuns la concluzia că grupurile recristalizate cresc prin migrație limitelor [55]. Dusubayashi, studiind procesul de recristalizare "in situ" a ajuns la următoarea concluzie: diaforele ce determină structura celulare a materialului laminat, în principiu stălpii ale recristalizării se anihilă și se reorganizează formând limite de subgrupuri.

Acum că limite au cîteva etăiuni, ale cărora și se pot întâlni rezultând limite (prin unirea lor), sublimite sau cîteva ce anihilă (prin descompunerea lor) ori să modifice sau să limiteze încălziți de modificări în alte limite adiacente astfel încît în final arătă un proces de reorganizare a subliniilor prin "ocoară".

Analicind procesul de recristalizare primară, se pot trage următoarele concluzii:

- în timpul încălzirii pentru recristalizarea primară, structura în sensul a materialului defosează la secol ce modifică prin relaxarea cristalei cristaline, ca urmare a mișcării diaforelor. Rezultă o structură celulară ce se dezvoltă odată cu creșterea temperaturii;
- în etajul I al recristalizării arătă procesul de poligenere care conduce la formarea limitelor la unghiuri mici. Această formă a fost observată în zonele banchilor de deformare pe planul (II1), (II3);
- în etajul II al recristalizării celulele de diafore ce sunt formate în subgrupuri se anihilă și orientare ca untrică: (II1) și (II3)

Ajunsii crozi, limitele la unghiuri mici se transformă în limite la unghiuri mari și apăr gemenii de recristalizare, cumă pătrunjel orientarea metricei.

- în etapă al III-lea al recristalizării, procesul se generalizează în toată masă materialului, dezvoltându-se grupuri curenți, echiaze, sau puțin evidențiată pe planole (III), (csl) și (oll). În această fază se observă sporirea grupărilor cu orientarea $\langle 111 \rangle$ și $\langle 111 \rangle$ care vor dezvolta textura de recristalizare secundară.

Se poate spune că în procesul de recristalizare primării gemenii de fazi nu încă apar în sonole deformate cu structură în sensul orientarea metricei; în momentul generalizării procesului de recristalizare se sprijină grupări cu orientare diferită, caracterizând textura de recristalizare. Dacă această orientare a sprijinării urmărește rotiri grupărilor $\{111\} <211>$ deja formate cu 90° în jurul axei $\langle 111 \rangle$, sau ca urmare a rotirii metricei în timpul gemenilor secundari, este greu de spus. Ceea ce este că în textura de recristalizare primării există gemeni ai texturii de recristalizare finale.

3.4. Analiza prin microscopie optică a recristalinizării secundare corelată cu analiza inhibitorului în flocuri etape

Procesul de recristalinizare secundară a fost urmat prin folosirea corelatelor a buncii Po-3. și în domeniul de temperatură $620-1200^{\circ}\text{C}$. Transformările ce se întâmplă în structura materialului au fost evidențiate prin observarea la microscopul optic a modificărilor microstructurii corelată cu analiza la microscopul electronic a evoluției particulelor de inhibitor în domeniul de temperaturi analizat. În fig. 62 sunt prezentate microstructurile obținute pe calea raportării longitudinală a buncii tratată la uniforme temperaturi. Se observă că în intervalul $620-950^{\circ}\text{C}$ nu se produc transformări vizibile în microstructura materialului, nu apărându-se stări rezultând la recristalinisarea primă. Cu altă cuvinte pînă la 950°C , procesul de erogare a grăunțului este întristat de prezența particulelor de și nu se evoluează la cap. $3-2-2$. La temperatură de 950°C se realizează erogarea bruscă a unor grăunți, fenomen ce se accentuează la 1000°C . Începînd cu temperatură de 1100°C vîzata de erogarea a 3 dinților se intensifică, pentru că la 1150°C să se obțină o granulație relativ uniformă în cîteva secunde și un grad de orientare corepunzător.

Procesul de erogare a granulelor este strîns legat de evoluția particulelor de și din matrice, decare se anumite de (temperatura de 950°C) după care se observă din analise efectuată că acestea, acționând de inhibitor se mișcă cu o susținută.

Rezultatul este încrezător, cînd se urmărește dimensiuni și densități de particule pe probă tratată în interval de temperaturi $620-1000^{\circ}\text{C}$.

rezultatul obținut cînd prezentat în tabelul 8 și micrografile din fig. 63.

Tabelul 8

Temperatură de incălzire $^{\circ}\text{C}$	Dimensiunea medie a part., \bar{r} [Å]	$\frac{n \times 3}{\bar{r}^3} \text{ [p/cm}^3\text{]}$
620	302	7×10^{15}
900	350	9×10^{12}
950	510	3×10^{11}
1000	200	1.1×10^{11}
1050	1020	6.9×10^{10}
1100	1600	7×10^9

- in ceea ce privește rezultă următoarele considerații :
- odată cu creșterea temperaturii de încălzire se înregistrează o creștere a dimensiunii medie a particulelor și o creștere a densității lor. Astfel, la temperatură de 820°C particulele structură "activă" au o dimensiune medie de 302 Å^0 și o densitate de $7 \times 10^{13} \text{ p/cm}^3$. La temperatură de 960°C cind se renunță creșterea bruscă a granulației, particulele inhibitoare au o dimensiune medie de 510Å^0 și o densitate de $5 \times 10^{11} \text{ p/cm}^3$. Rezultă că în urma încălzirii de la 820 la 960°C o cantitate considerabilă de particule sunt disolvute în matrice, iar cele rămase au crescut în dimensiune;
 - la temperatură de 1100°C particulele de dimensiuni mici dispăr, în matrice observându-se doar particule mari ($\approx 1400 \text{ Å}^0$) cu o densitate de $7 \times 10^9 \text{ p/cm}^3$.

Se remarcă de același ordinatice formele particulelor în timpul încălzirii : începând cu temperatură de 1000°C particulele sunt capătă o formă granulară spre poliedrică (în fază inițială predominant forme sfărâite).

Crescerea temperaturii peste 1100°C conduce la dezvoltarea puternică a materialului și în structura acestuia se mai pot observa isolat particule de fier, ale căror dimensiuni sunt apreciabile.

Procesul de creștere a particulelor pe parcursul tratamentului termic este de acceptat, dat fiind că în orice sistem real precipitația unui e două faze coedice încetăciunii le-aerisirii sau anumitor de particule de dimensiuni variabile urmată de rezultatul de creștere particulelor mai mari și de dezvoltarea celor mai mari decât medie inițiale. Recenziul prin care se realizează acestuia evoluție dimensională peste 74 aplicat prin modelul lui Garswood [42], presupune că particulele de inhibitori sunt de natură fier, iar fiind că în ceea ce priveste concentrația fierului a suspensiei ($15 \times 10^{-5} \text{ mol}/\text{cm}^3$) depășește concentrația majoră a sulfului ($6,7 \times 10^{-5} \text{ mol}/\text{cm}^3$), urmăriind ipoteza că difuzia sulfului constituie factorul de controlarea vitezei de creștere. Particulele de precipitat considerindu-se să fie sfărâite (condiția respectată de precipitatele de fier peste 740°C se admite că vor urma procesul de creștere numai eșalon ale cărora inițiale corespund unei valori "critice" (R_0 egala cu 25 (dimensiune inițială a particulelor)). Evoluția în timp a particulelor se arată ceea ce urmărește de rotație :

$$\frac{R_t}{R_0} = \frac{R_0}{R_0 - R_t} \rightarrow R_t = \frac{R_0^2}{R_0 + R_t} \quad (38) \quad [42]$$

unde : R (constanța vitezei) este și lărgirea de depinde de temperatură de tratament, de coeficientul de difuzie, de volumul solar, de densitățile faserelor și la creștere și de tensiunile suprafațiale a acesteia.



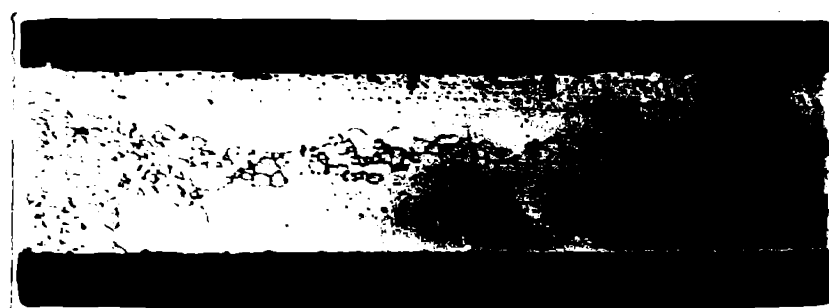
$T = 820 \text{ } ^\circ\text{C}$

$\times 100$



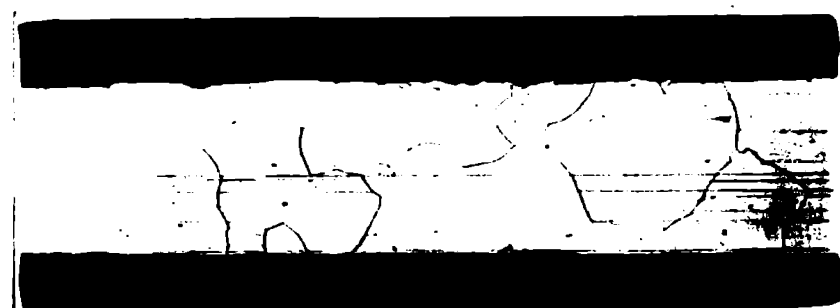
$T = 900 \text{ } ^\circ\text{C}$

$\times 100$



$T = 960 \text{ } ^\circ\text{C}$

$\times 100$



$T = 1000 \text{ } ^\circ\text{C}$

$\times 100$

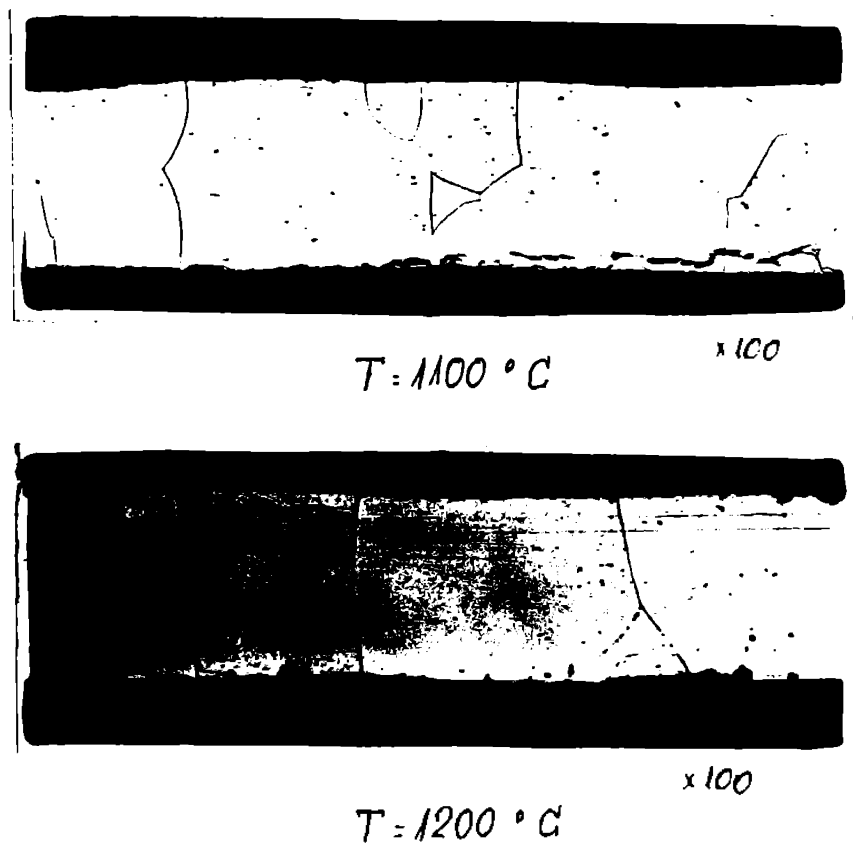


Fig.67 Evoluția microstructurii oțelului Fe-3% Si în timpul tratamentului termic de recristalizare secundară: creșterea grăunților orientați.

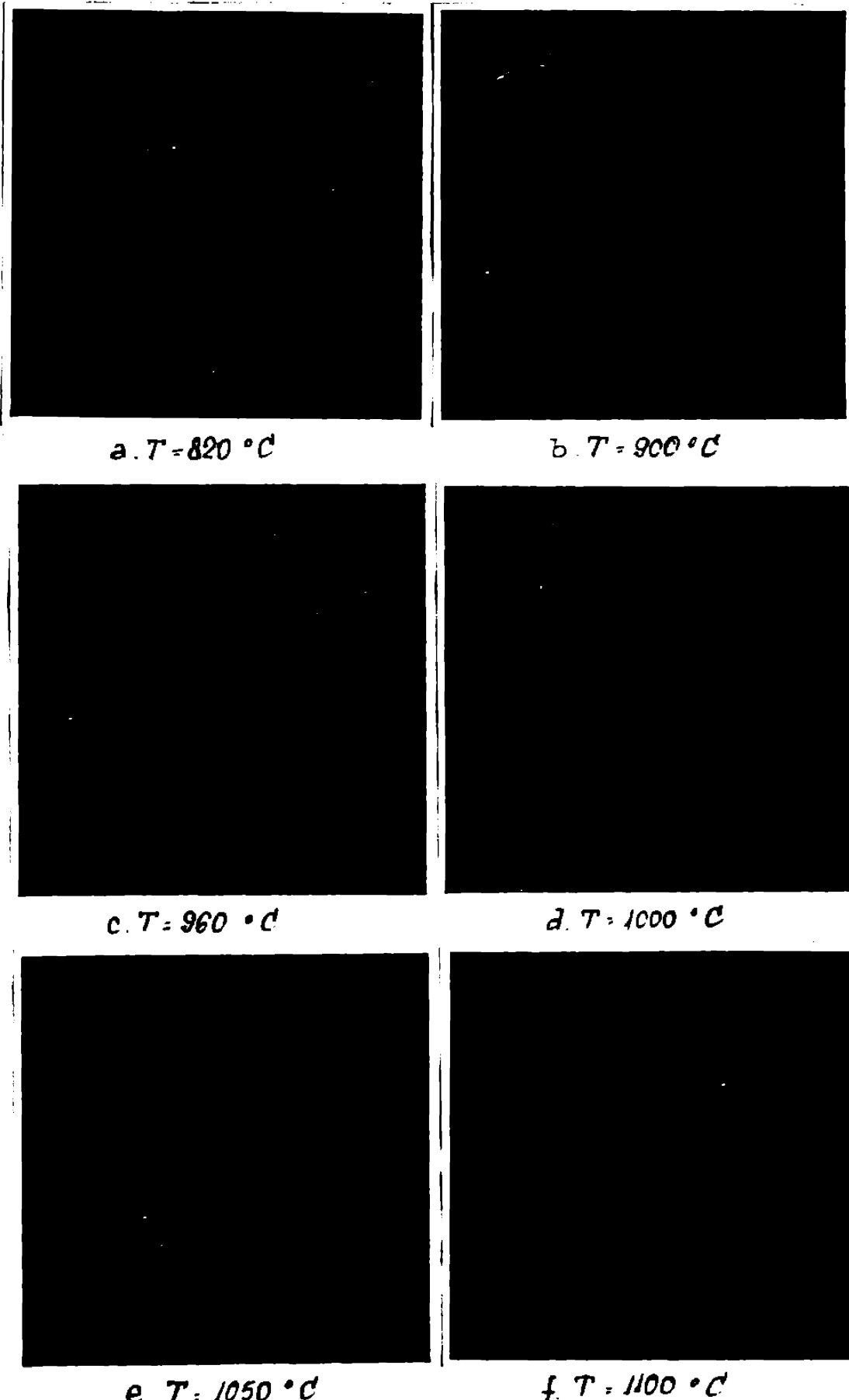


Fig.68. Evoluția mărimii particulelor de inițiatori în procesul de recristalizare secundară.

II. Acești parametrii configuraționali (dimensiunea medie, densitate, formă) ce caracterizează particulele de inclusiuni "structural active" se poate trage concluzia că inclusiunile cu sol activ în dezvoltarea recristalizării ocupă locuri cîntărește de formă și cînd au rază medie de cca $10\text{--}35\text{ }\mu\text{m}$. La temperaturi ridicate (1000°C) particulele încep să se poligonalizeze și au o dimensiune medie $700\text{ }\mu\text{m}$. Cu totul cu acestea, densitatea de particule cu sol activ este de $10^{12}\text{--}10^{13}\text{ p./cm}^3$.

Acești parametrii determină în final "puterea de inhibare" a particulelor de inclusiuni care căzesc în coagul, în limită din dimensiunile medii ce poate fi atinsă do grănății cristalini în procesul de recristalizare primară : creșterea grănăților care leia prin capătarele lățitelor la măsliniri sunt cea mai mare ; cind e limită de grănatul vine în contact cu o particulă de propriețat, energia interfacială e limită. Este rezultat proporțional cu aria de contact. Deci cu cît vom avea o suprafață de contact mai mare (particula mică și multă) cu atât limite de grănat va nevoie o energie mai mare pentru a se depășea . Acțiunea de inhibare nu încoperă și creșterea temperaturii datorită creșterii dimensiunii lor și a creșterii densității particulelor , deci năprasirii suprafetei de contact cîntărește limitele ci particulele. La acostare se adaugă surplulul de energie pe care îl prezintă lățitul ce urmărește insolubilitatea materialului, ceea ce facilitează procesele pe care le obține.

3.5 Determinarea modificărilor de textură în fascile recristalizării secundare.

În paragraful anterior s-a văzut că practic la temperatură de 1000°C , în matrice s-a instaurat faza nouă, deci s-a generalizat procesul de recristalizare secundară; la încălziri peste 1000°C se înregistrează doar o creștere a granulelor; însă, nu este problemă că temperatură din intervalul $1000^{\circ} - 1150^{\circ}\text{C}$ este optimă pentru obținerea orientării (Ilo) [001] secundarii obținând unele proprietăți magnetice superioare. În acest scop s-a efectuat figura 6 cu poli corespondență ce sunt prezentate în fig. 69.

Să observăm că în general limita de nivel de orientare întretoată se grupăază în jurul polilor de texturi Goss și cubicii Aproximativ 70-80% din orientării constitutive texturile (Ilo) [001] și (Ilo) [110], ponderea mare este a primă.

Există numeroase varii care fac ca că explică mecanismul formării texturii (Ilo) [001] (vezi capitol).

Ceea ce pare să fi sigur stabilit, este "criteriul energetic" conform căruia ponderea cantităților de energie impingândă în componentele texturii de luminare este direct proporțională cu intensitatea relativă ale direcțiilor orientării preferentiale prezente după recristalizare. În particular, în cazul etalonului Poști, cisterm (Ilo) [001] care are ponderea cea mai mare a energiei impingândă este cel ce recristalisește primul și cel mai întotdeauna textură Goss. În timpul recristalizării secundare are loc o creștere exagerată a granulelor cristalină și dezvoltarea completă a texturii.

În acelasi figurile de poli { Ilo } prezentate rezultă că peste o încălzire a materialului în domeniul $1000 - 1150^{\circ}\text{C}$ se obține o textură Goss corespondență.

În figura 7a se prezintă textura obținută în urma încălzirii la 1150°C prin curba momentului magnetic. În același curbei rezultă că materialul are o textură formată din 81% (Ilo) [Ilo] și 13% (Ilo) [Ilo]. Rezultă deci că încălzirea la temperatură de 1150°C conform materialului o textură corespondență.

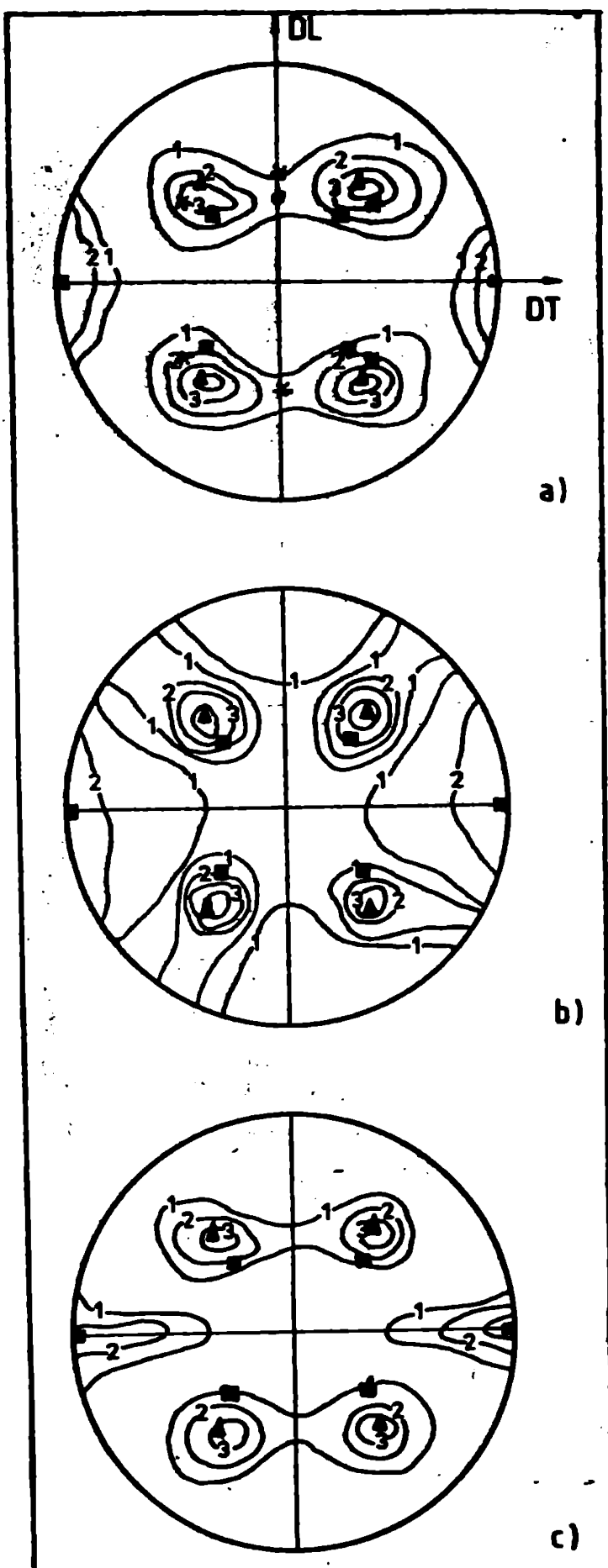


Fig.69 Figurile de poli {llo} ale benzii din oțel Fe-3% Si recristalizate la diverse temperaturi
a) 1000°C ; b) 1100°C ; c) 1200°C .

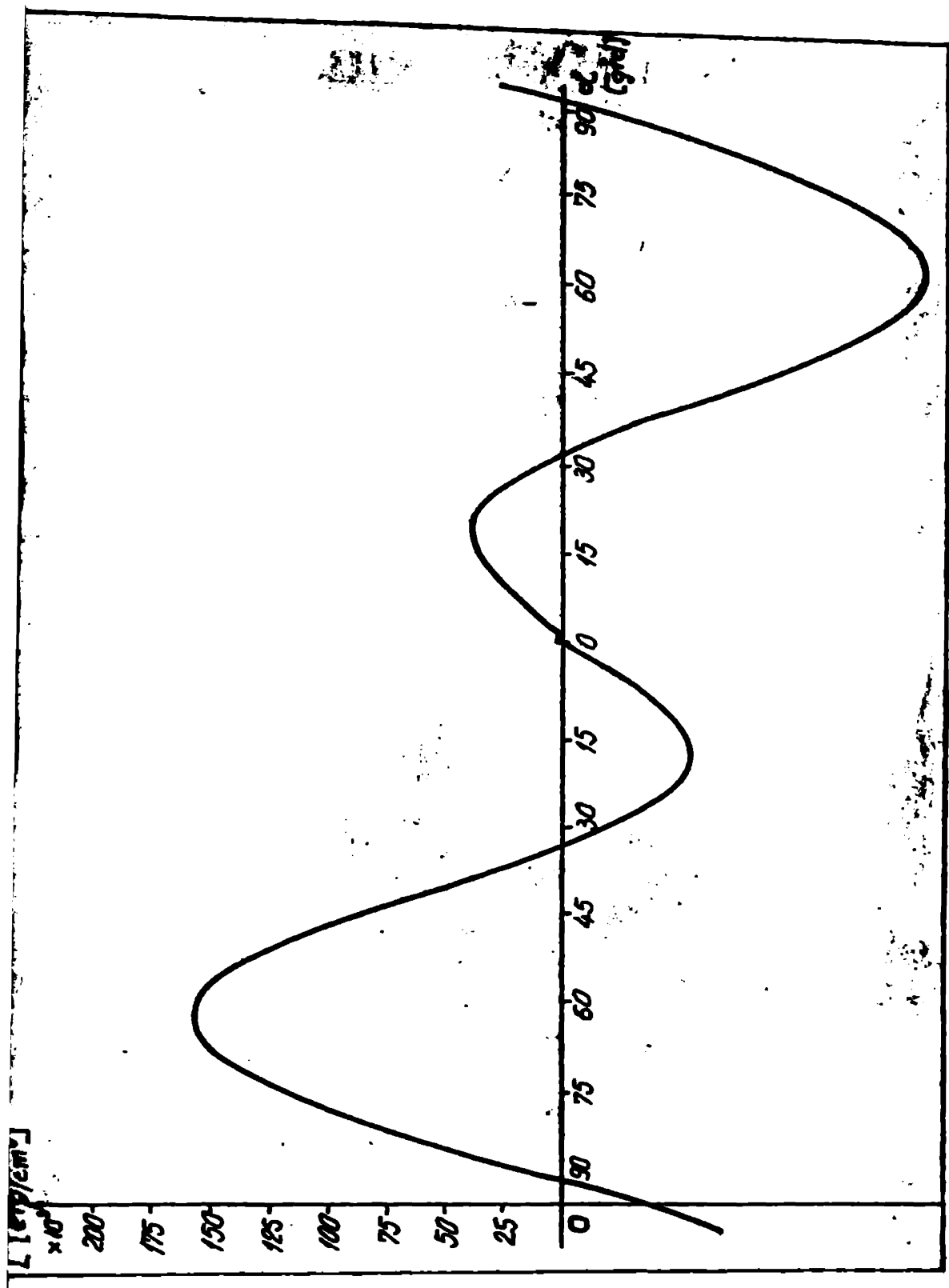


Fig. 70 Curba momentului magnetic pe banda finală din Fe - 3% Si

Deoarece caracteristicile structurale și cristalografice sunt ale bunei și proprietățile magnetice și încadrarea pe plan de calitate a fabricației industriale.

Opărările electrotehnice feromagneticene fac parte din clasa echipajelor feromagneticene, care se caracterizează prin un bine histeretică îngrădită, forță coercitivă redusă, inducție și permeabilitate magnetice mari, pierderi mici prin histereză și curenți turbinari, precum și pierderi specifice totale mici.

În continuare, sînt expuse acțiunile principale referitoare la caracteristicile magnetice răstignitoare, pentru a facilita încadrarea caracteristicilor structurale și cristalografice cu calitățile bune finale.

Una din caracteristicile importante ale oțelurilor electrotehnice este anisotropia magnetică, caracterizată prin modificarea proprietăților magnetice în direcții cristalografice (ijofrite).

În cazul oțelurilor cilindrice cu graniță orizontală (textura $\{110\}$ [001] comună de magnetizare radială) se recunoaște $\theta_{c1} \sim 10^{\circ}$ ($\cos \theta_{c1} = 0.9$) corespunzător unui anghinat de lamine, direcția de urmărire diferențială $[111]$ se află sub un unghi de 90° față de direcția de laminare.

În prezent, în cazul nivoului actual al proprietăților magnetice, oțelul de transformator este în textură $\{110\}$, împărțit în numeroase variații tot mai繁ă ale industriei concreție.

Objecționul bunelelor de calitate și proprietățile magnetice supérieure este condiționat în primul rînd de factorii structurali (densitatea particulelor de inhibatori, granulație, textură).

Pentru evitarea forței modului cărăuțării acesta este necesară calitatea bună, cum studiile comparative două correlative cu unul sau cu calitatea supérieure (H_{c1} după metoda JMW) și unul cu calitatea obișnuită (H_{c2}).

În probe preluate din cele două banele s-a determinat următoarea caracteristică:

- pierderile magnetice totale de 1,5 foile (G_{12});
- ciclul de histereză;
- permeabilitatea magnetică $/10$;
- câmpul coercitiv H_c ;
- rezistența la electricitate (ρ);
- procentul în volum de grămețe cu textură JMW (V_g);
- unghiul de curențe a direcției de textură [100] de la direcția de laminare (γ').

- intensitatea relativă a texturii plasmale (I/I₀) (I/I₀) ;

- mărimea grinzilor .

Rezultatul determinărilor sunt prezentate în tabelul nr. 9

Tabelul 9

Probe	μ_3	I/I_0
Caracteristice		
P_{10} [W/kg]	0,95	1,9
μ_{10}	1,04	1,61
V_e (Ilo) [cc]	80,4	50,3
φ^0	4,6	8,6
β [$\mu\Omega \text{cm}$]	36	40,2
R_0 [mΩ]	65	115
$D_{0,5}^2$ [cc]	1,68	1,72
Z/I_0	4,5	2,4
mărime extensie [mm]	45	3,5 - 8

În datele prezentate rezultă următoarele :

- a) pierderea magnetica totală diferă mult pe cele două clase de bandă. Întrucât greutatea bandelor și rezistența lor este aproape similară, rezultă că diferența este datoră de variația pierderilor prin histereză. Această diferență este confirmată de aspectul curbelor de histereză, care au o lungime (lo) ce stăt mai mare, cu cît pierderea totală este mai mare (fig. 76, 77). Se observă permutabilitatea magnetului și inducția de saturare pe care ajunge să se trucereze de la banda μ_3 la banda μ_{10} .
- b) volumul de textură V_e (V_e) calculat prin metoda amperatului magnetizare scade de la 80,4 : (μ_3) la 50,3 : (μ_{10}). Aceste valori reprezintă media a 10 determinării pe probe diferite din eșantii verifică. Volumul de texturi se coreleză direct cu proprietățile compozitului, fapt ce rezultă din graficele prezentate în fig. 78, 79.
- c) gradul de perfecțiune a texturii, adică unghiul de unghiul de descreștere [cc] față de direcția de lărgire crește de la 4 - 5° (μ_3) la 8-9° (μ_{10}). Lărgirea de poli obținute prin difracție razeelor X prezentate în fig. 86, 88 se coreleză cu gradul de perfecțiune a texturii. Distribuția intensității polilor (Ilo) pe banda μ_{10} , cuprindând o aria mai largă nu oferă de proiecție, adică textura este mai slabă, comparativ cu banda μ_3 .

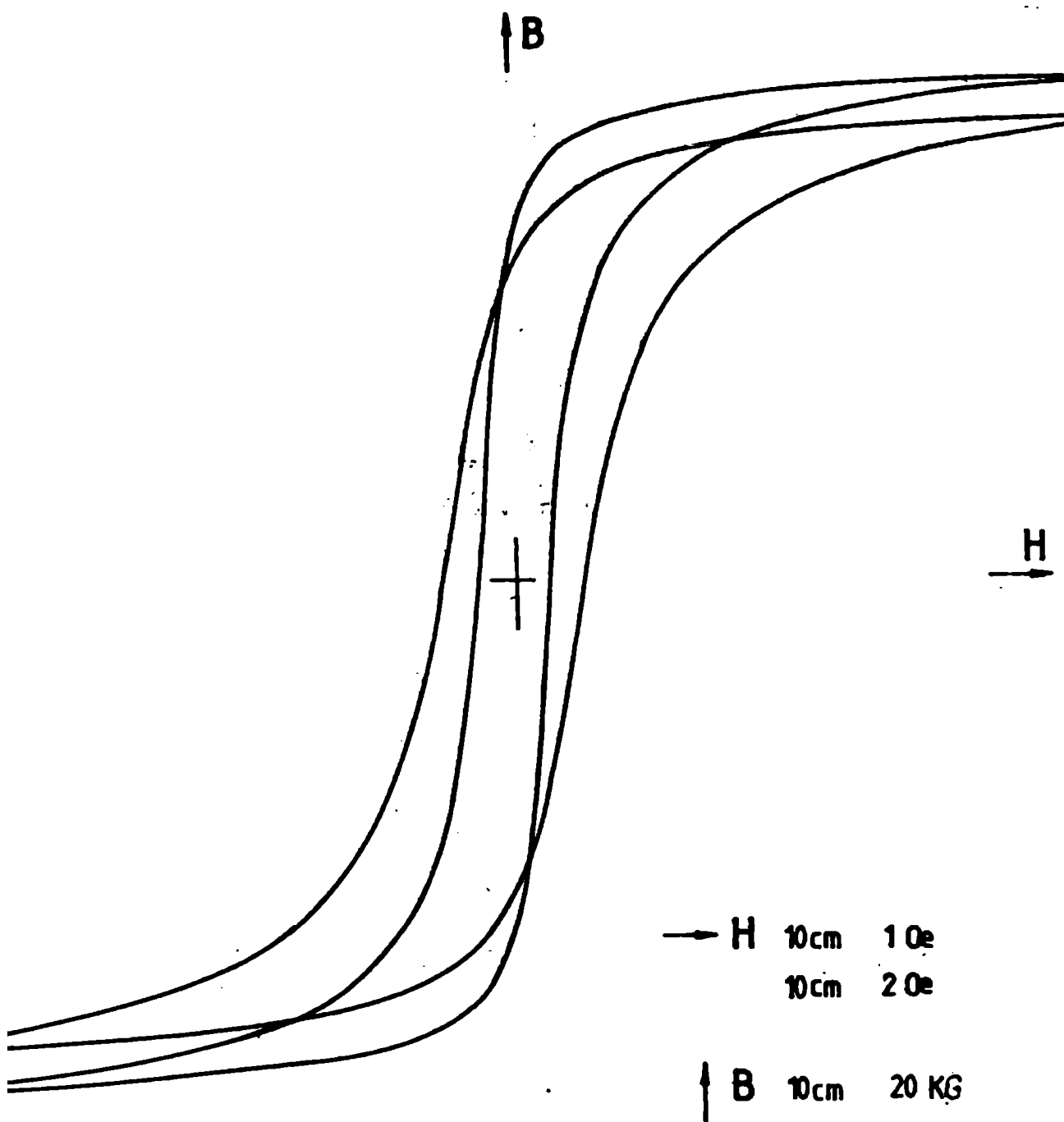


Fig.71 Ciclul histerezis pe banda M_5

- 131 -

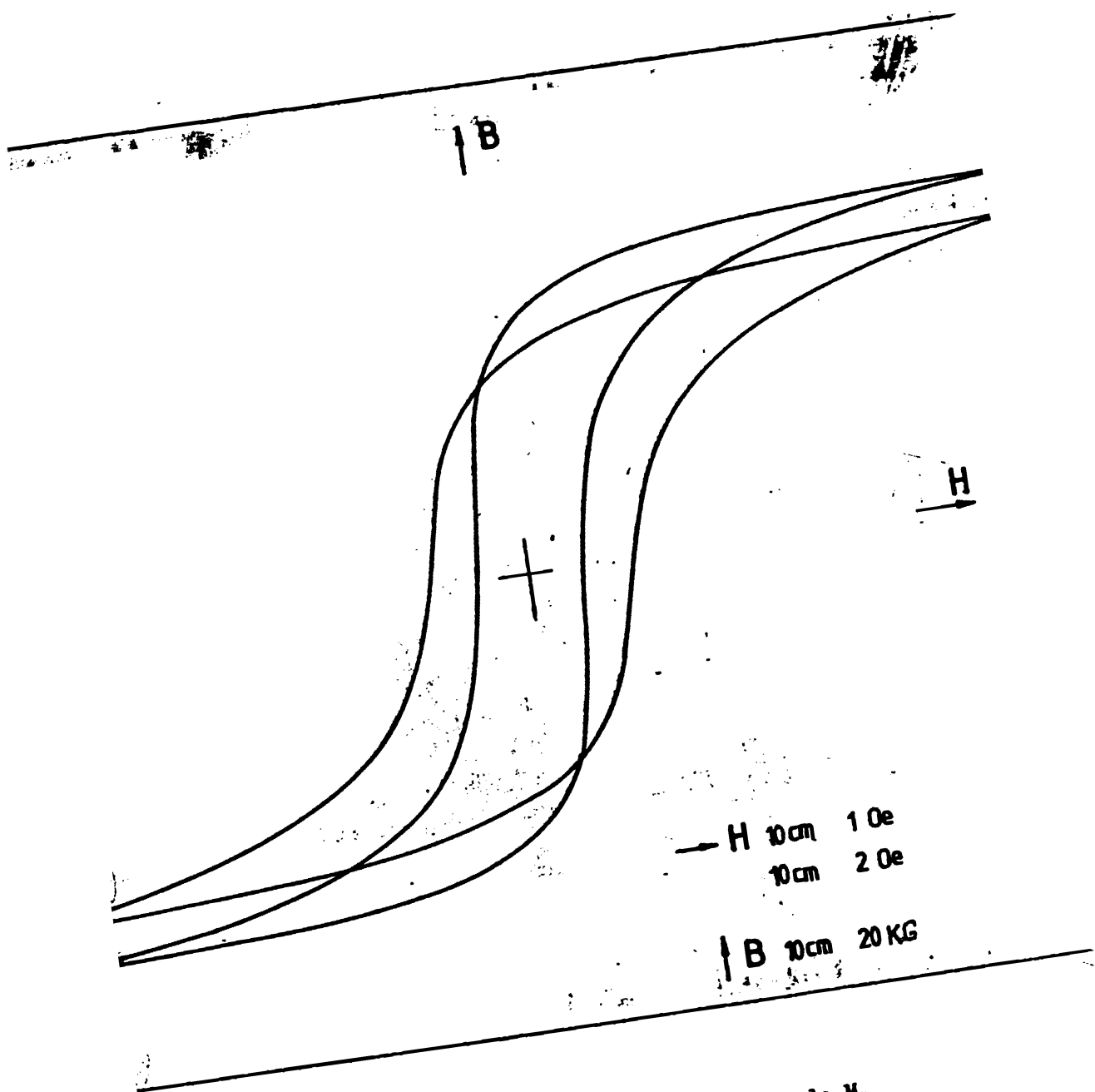


Fig.72 Ciclul histerezis pe banda M_{10}

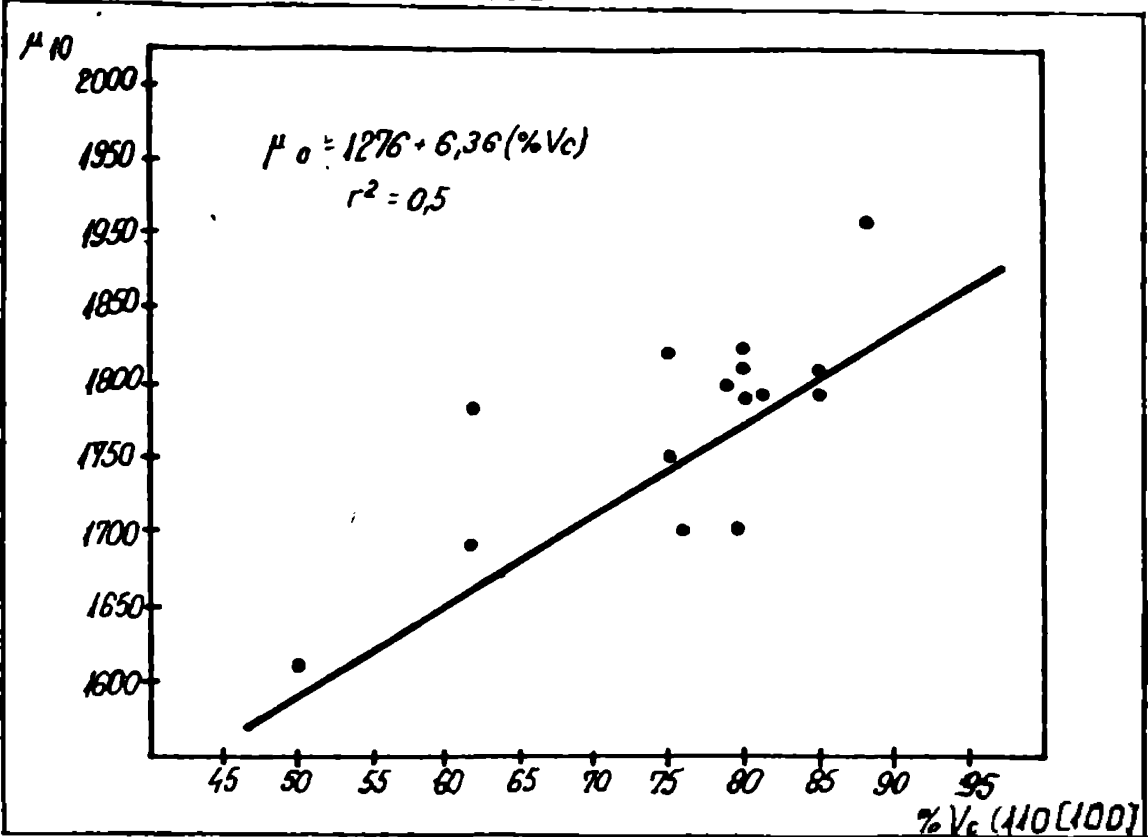


Fig.73 Corelația permeabilității magnetice μ_{r0} cu volumul de textură GOSS

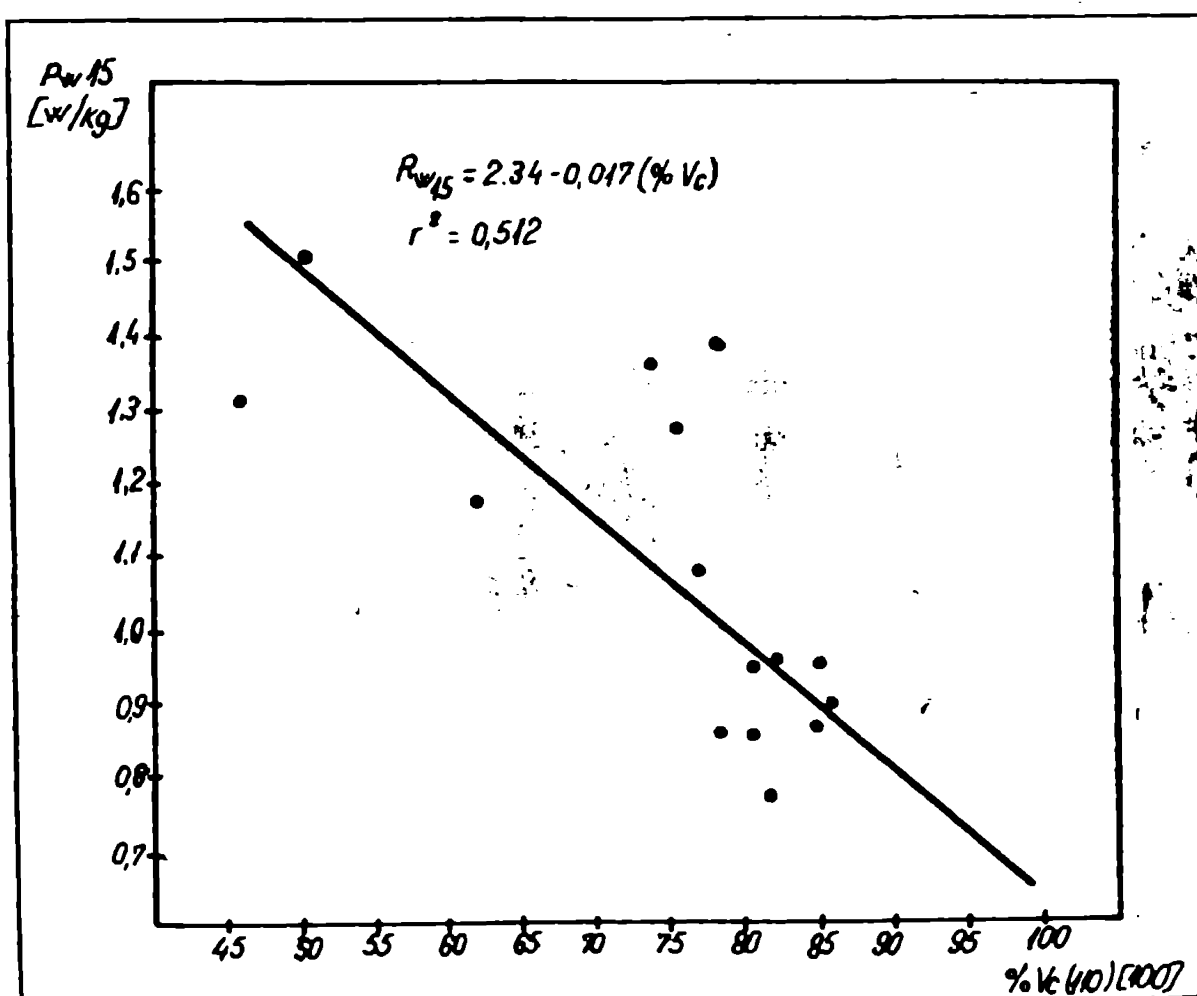


Fig.74 Corelația pierderilor magnetice cu volumul de textură GOSS

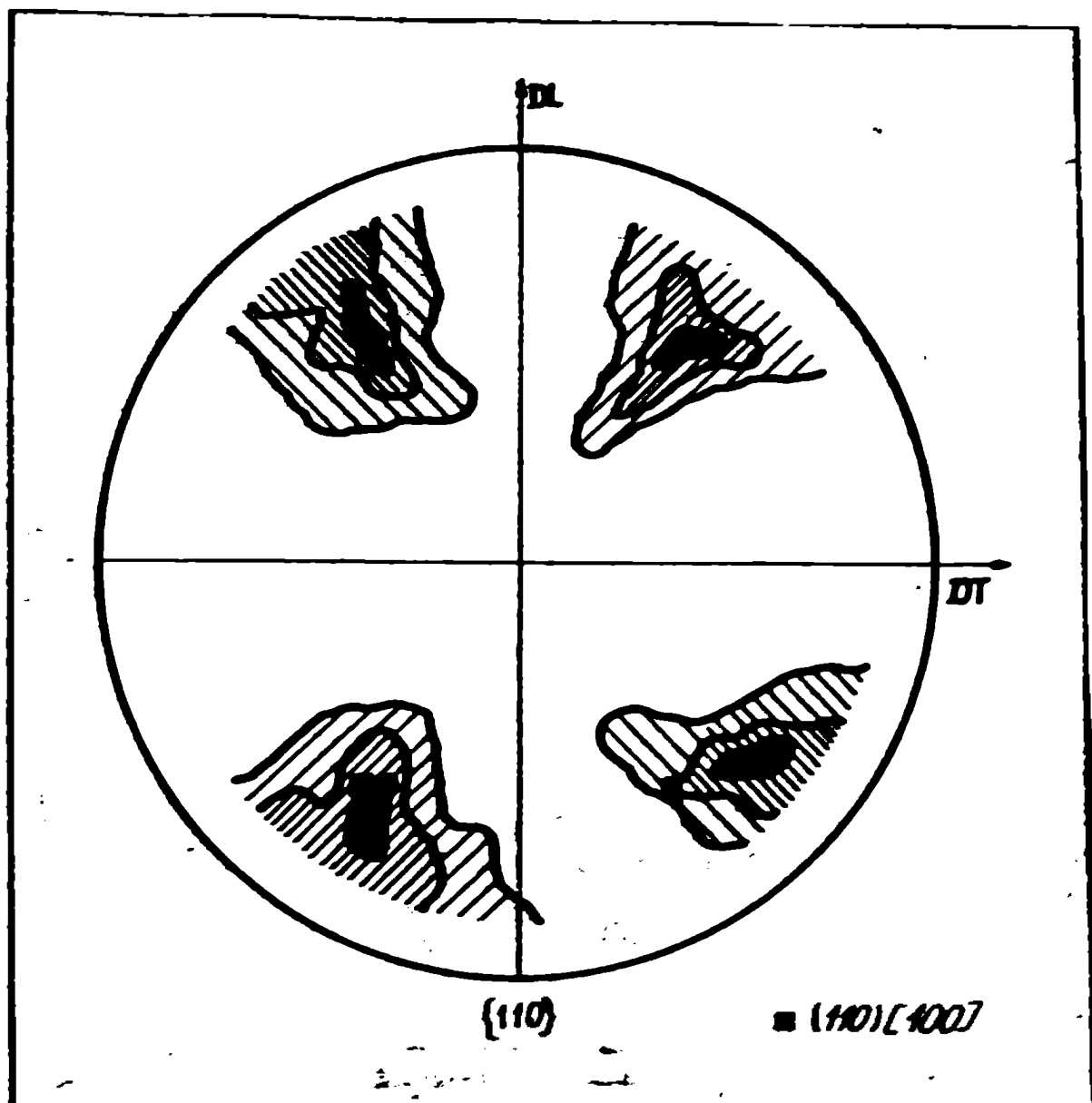


Fig.75 Figură de poli {110} pe banda Σ_2

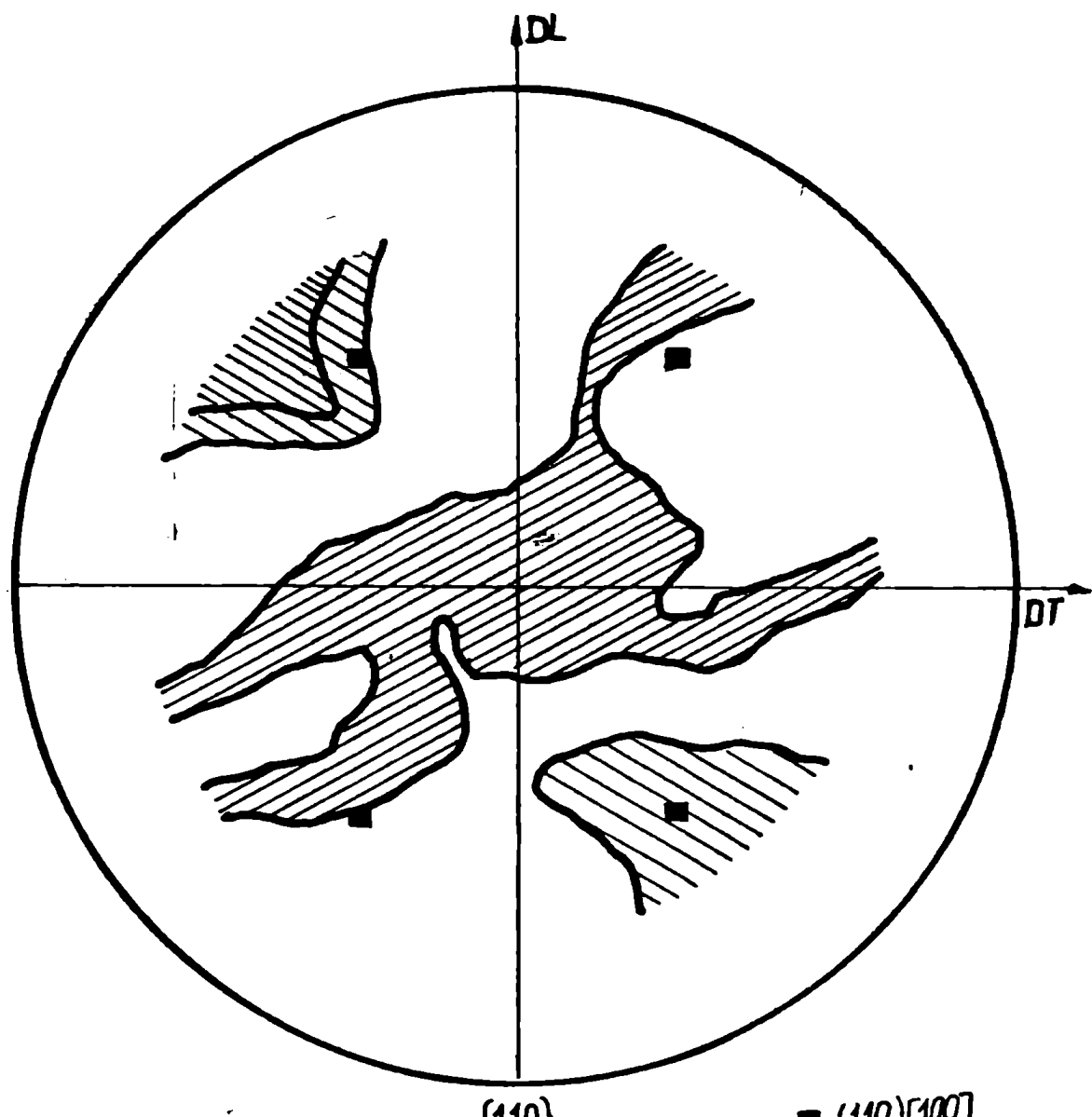


Fig.76 Figură de poli {110} pe banda M₁₀

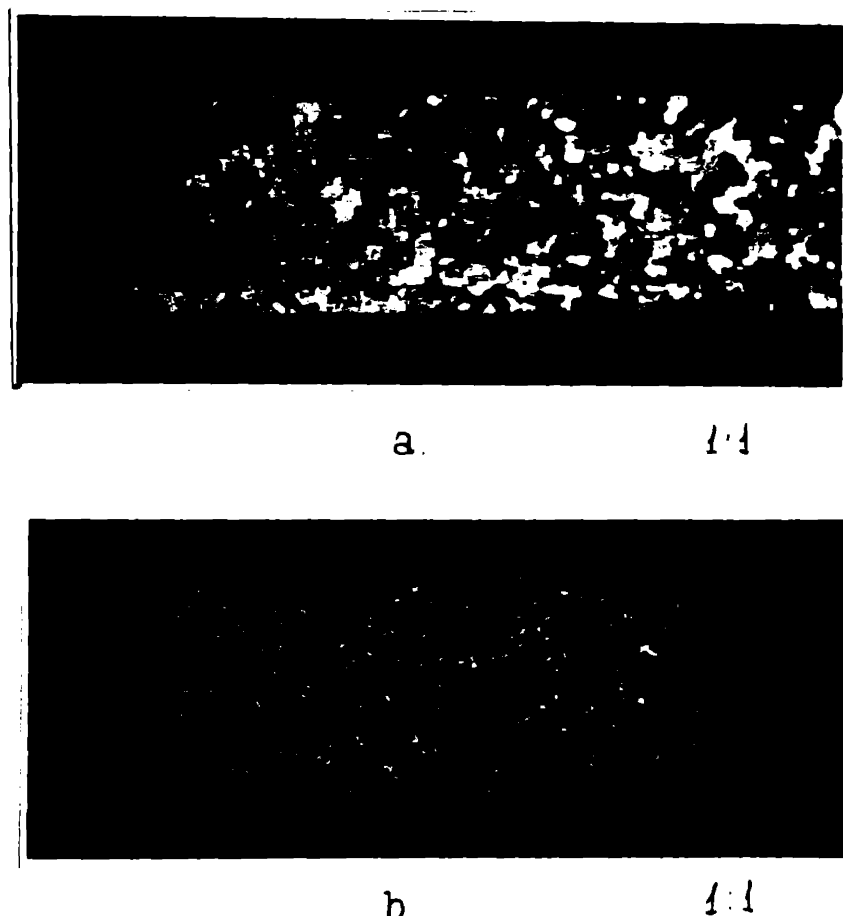


Fig. 77 Aspectul macro al granulației benzii finele:

a - bandă M_5 ;

b - bandă M_{10} .

De economie valorile intenității relative a planului (110) (raportul dintre intenitățea integrală a liniei lăție emisă și a sealeșeui liniști pe o probă de putere P_0) cînt în stîrșină legături cu gradul de texturare, înregistrând valorile 2, 4 (E_{10}) și 4,5 (E_{11}).

d) granulația influențează direct proprietățile magnetice. De observat că la granulații mici ($0,5 \text{ mm}^3$ poartă E_{10}) se înregistrează proprietăți magnetice mai slabe. Totuși, tocmai astăzi ca baza finală și ultimă (granulație mare). În figura 7 se prezintă granulația uscată pe cele două tipuri de bani.

În concluzie, se poate spune că factorii structurașii jucău un rol important în obținerea unei bani de calitate care să poată să urmărească o aplicație directă în economia națională.

Rezultatele obținute unei bani din oval 1000 și cu caracteristicile supradese rezultă din următoarea considerație:

•• o bani și proprietăți magnetice superioare comparativ cu transformatoare de înaltă putere cu grăutate redusă, rezultând în final o creștere de vîrf.

•• utilizarea baniilor de calitate conduce la creșterea competiției naționale, astfel, după cum este arătat mai sus, pierderile totale sunt de la aproximativ (E_{10}) în 0,85 milioane în cazul unei bani de calitate. Această diferență de aproximativ $0,5 \text{ milioane rupături}$ sunt într-un transformator de înaltă putere de 1000000 la vîrf și de coarde electrice de $1,4 \text{ kV}$.

•• creșterea numărului transformatoarelor din județul Vâlcea contribuie la calitatea conducerii la cîtitorul competitivității pe plan internațional.

•• cel mai important aspect al fabricării baniilor electrorotehnici îl constituie resursele eficientării vîlător național. În 1965 - 1986 se preconizează fabricarea a 20000000 de bani, din care aproximativ 10000 tone vor fi utilizate în fabricația transformatorelor.

Afectând un calcul simplu rezulta economia cu :

10000 tone x 15000' = 150000000 ₦

Având în vedere că într-o alocuție publică de la începutul anului 1980 sunt anunțări electrorotehnici, se poate arăta că problema obținerii unei bani de calitate din oval 1000 și cu caracteristicile supradese, este o problemă majoră a economiei naționale.

Capa 4 Coordonatii

Oglodinile electrotehnice sunt materiale magnetice mai, care trebuie să aibă un cîmp de magnetizare liniar, posibilitatea magne-
tizării fără că pierderi să înceteze.

De cînd că magnetizarea și demagnetizarea ferromagnetilor
se caracterizează ca anisotropie care difere de cîrceea în cîmpuri slabă, se
produce în urma deplasării limitelor domenilor.

Rotodatil, orientarea volumului domenilor (vectorii de magne-
tizare \mathbf{H}) care nu este nici unghi cu cîmpul magnetic exterior
este condiționată de domeniile magnetice care au orientarea sub
un unghi nu este faza de cîmpul exterior. În cîmpurile mai faible,
atunci cînd aceste incidează pe procesul de depolarizare (acestea concen-
tate cu el) are loc rotirea vectorului de magnetizare \mathbf{H} , astfel
incit direcția lui să apropie de direcția cîmpului exterior. În urmă,
în cîmpurile magnetice tehnice importante, în care se aplică
oglodinile electrotehnice, procesul de magnetizare și demagnetizare
se realizează în principal prin depolarizarea limitelor domenilor.

Procesul de magnetizare a cristalelor materialelor ferro-
magnetice necesită diferențe considerabile de energie în funcție de
orientarea cristalelor. Dacă formula energetică anisotropiei magnetice,
rezultă din punct de vedere energetică că de vîrcoare în cîmpul magnetic
care [100], iar vîrcoare în cîmpul magnetic care nu este
cum [111]. Aceste [110] se ajung în acest casă o poziție intermedie.

In baza cu textură "cab pe mochiso" în majoritatea cristalelor
nu din cauza de magnetizare vîrcoare <100> coincide aproximativ
cu direcția laecimării. În urma anisotropiei pozitiei cristalelor,
orientarea vectorilor în a domenilor deoarece laecimării altor domenii
de tip <100> care fac cu planul bazei vîrcoare cu aproximativ 45° nu
este avantajosă din punct de vedere energetică că de vîrcoare în cîmpul
texturii pe mochiso, în final, se obține posibilă o orientare
magnetica nucială cu cîrceea de domenii plane, paralele, orientate deoarece
laecimării de laecimării. Ca urmare la magnetizarea și demagne-
tizarea tablăi texturate în direcția laecimării, se apreciază atât
procesul de depolarizare a limitelor domenilor, cît și procesul de
rotire.

Din datele prezentate rezultă importanța mare a obținării
unei texturi care nu este perfectă.

Textura finală (110) [001] se obține în urmă urmă trăs-
tărește de recristalizare secundară în cîrceea anui proces de creștere
secundară și perfecționării a cristalelor. Recristalizul de formă este

arterii finale a constituit obiectul unor studii efectuate în decursoarele anilor și au tot materialul experimental cunoscut, nu unele ajung la o valoare unanimă acceptată.

Care este ad una din colecțiile principale ale documentelor secrete ale securității sovietice care au fost cumpărate de către înțelegeri?

rolul de inhibător al creșterii strobile a grâncăilor și an inclinarea de 10%, din punct de vedere termodinamic, fricașea exponențială grâncăilor cu inclinări acutărice se determină faptul că ecoulirea de către limită a particulei strobile daco la creșterea infundării suprafetei între faza germinativă inclinației și se urmărește creșterea acelerată superficială a grâncăilor în creștere.

acest factor este în principal procesul de secretarizare primară care este deosebit de important în obținerea structurii finale.

În lumenarea de fapt s-a manifestat evoluția preoților ecclonomistici cu loc în timpul procesării banchii electroteleneice din ceea ce următoarele:

Pentru aceasta experiență să fie efectuată cu urmărit două aspecte : a) evoluția texturii materialului începută cu deformarea la colă și torsiunea cu rezistență crescentă; b) evoluția inhibitorului pe parametri fizici și dezvoltarea texturii șase.

Aceste aspecte au fost analizate și de alți cercetători care au prezentat rezultatele obținute în literatură. Cu specialitatea că cuprind studii efectuate pe materialul lăsat în dispozitivele de experimentare, în lucrarea de său experimentalul în faza efectuată pe material polimeric; din această cauză rezultatul obținut nu este concordant cu datele publicate în literatură, dar el trebuie interpretat în mod ca să se expliciteze diferențele obținute în ceea ce privește rezistența la impact a cristalilor. Mai mult, materialul cupără experimentările efectuate în fluxul industrial de fabricație, din această cauză ca poate afirma că rezultatul obținut, de la un aspect științific și teoretic și un aspect practic decurgere în valoarea lor ca reglajele și abaterile datorate influenței parametrilor de lucru a instalațiilor din fluxul industrial de fabricație. Cu alte cuvinte materialul studiat este materialul procesat industrial încolțit cu toate influențele negative care pot apărea datorită posibilității reduse de a optimiza și corela toți parametrii de lucru între un flux industrial zădă din o instalație de laborator.

Aventajul unor astfel de experimentări constă în faptul că rezultatele obținute aici sunt apropiate de realitate și se obține astfel faza verificării teoretice, faza obligatorie unei lucrări științifice.

În ceea ce privește lucrarea (o faza studiului efectuat cu prezentat în trei luni cuprinde fiecare etapă cu unul sau patru capitoluri).

În capitolul I se prezintă un șir de documente privind studiul acestual al ceramicii și fabricației buclilor din sticlă și lemnul de la Vâlcea. Înainte de prezentarea caracticei noastre trebuie să le adăm baza fizică cu prezintă principalelor caracteristici ale ceramicii și ale lui (capitolul I), să ne referim la creările noastre finale (0,27-0,30M), la următoarele granulații (faza) la care se orientează astăzi (70-80.) la corespondența texturii cristalografe (III) <011> la înălțimea fuziei ceramice (inhibitorul) în structură.

În continuare se prezintă parametrii tehnologici folosiți la fabricarea buclilor din sticlă și lemnul de la Vâlcea în variantele următoare (capitolul I.2.). Principial, tehnologia de realizare a buclilor trebuie să respecte următoarele parametri:

- elegarea în compoziția opacului a elementelor care funcționează ca suport și în constitutie optice pentru a putea juca rolul de inhibitori $3 \sim 4,52\%$ și $Na_2O \sim 1,7\%$,
- susținerea pentru benzișoare la cald trebuie să fie în temperaturi la care faza secundară este complet disolvată în zonă de fusă a opacului ($1400^{\circ}C$);
- în timpul și după încălzire, benzile trebuie stăcăzite rapid în intervalul în care faza secundară precipită ($1200 - 900^{\circ}C$). În urmă zădărind rapid, faza secundară de dimensiuni submicroscopice se obține și se dispersă în toată masă putând juca un rol activ în recristalizare;
- gradul de roșecare în încălzirea la rece se alege astfel ca planul și direcția cristalografină care urmărește formarea texturii, să adui maxim de energia îmaginală în deformare. Din datele publicate în literatură rezulta că gradul de deformare optim pentru benzile electrotehnice cu testuri "tens pe ambele" este de $50-60\%$.
- susținerea pe termen recristalizarea secundară trebuie să se facă la temperaturi care să permită disoluției inhibitorului să crească puternică și urmăriți o granulație orientată. Practic, încălzirea pentru recristalizarea secundară se face la $1100-1200^{\circ}C$.

În capitolul 1.3. se prezintă pe lângă tehnici teoretice ale fenomenelor texturii cristalografice la recristalizarea opalului ca și în documentele devenitilor se au trezut de la începutul cînd ambele texturi "cub pe rîmă", sau cînd ambele texturi cristalografice sunt deosebite de textura "cub pe rîmă", care permite să se formuleze doar de către condiția de obținerea texturii opalului pentru transformare. Cînd ambele texturi cristalografice sunt deosebite de textura "cub pe rîmă" la recristalizarea secundară ca totușă că sună fără multă preocupare, sănătatea pînă în prezent nu este precizată. Din materialul documentar prezentat în acest capitol, se desprind următoarele concluzii:

- structura orientată (110) <001> se obține în termenii tratamentelor termice de recristalizare secundară (1100-1200°C) în cadrul căruia este lăsat o creștere preferanțială a grăunților;
- recristalizarea secundară, apăsă doborâtă de recristalizarea primă care se doboră în principal ca rezultatul de deformare impreună cu mișcarea deformării la recădere, se dezvoltă numai pe secundă solidațiile superficiali ale limitelor, grăunții crescând în direcția concavității limitelor;
- un rol important în procesul recristalizării secundare și jucău particulația de inhibitori care practic învinătă creșterea grăunților în cîmpul recristalizării primare.

La temperaturile finale la care se desfășoară recristalizarea secundară sau năști, aceste particule se disolvă și astfel își inhibă doborârea și dezvoltarea "grăunților" la măslinire.

În capitolul 2 cînt prezentate metodele de lucru utilizate la efectuarea caracterizărilor și interpretarea rezultatelor obținute în cîmpul utilizării unor tehnici specifice de lucru și operațuri moderne de investigație: studiul texturii prin difracție de rezonanță, transforțarea figurilor de poli, studiul prin microscopie electronice de transversală pe zonă și folii, observarea regimurilor termice în microscop și studiul transformărilor strucurale pe probă "in situ"; utilizarea alcătuitorilor de cristalizație automatice în interpretarea rezultatelor, folosindu-se metodologia compozitivă de analiză.

De menționat faptul că această lucru cînd se obține doborârea în cîmpul de năști și se prezintă mijloacele de investigație utilizate în cîmpul pînă în prezent, studiul modificărilor strucurale în cîmpul măslinirilor prin utilizarea și visualizarea lor directă pe probă pe tot parcursul încălzirii.

Această lucru a fost posibil utilizând un dispozitiv special care a permis în cîmpul foliei de măslini să obțină un dislociții în microscopie electronice de transversală.

Necajunul metodei constă în faptul că având la dispoziție un microscop de putere relativ mică (loc KV) foliile transparente nu pot dobândi o grosime de aproximativ loco A^0 și deci se dispune de un volum foarte mic de studiu; mai mult, în acest volum redus anele transformării structurale, cum ar fi de exemplu găurișarea, nu se pot produce în totalitate. De aceea, nu se pot atinge temperaturi superioare temperaturii de 800°C ; ca urmare procesul de recristalizare secundară nu poate fi studiat în microscop.

Cu toate aceste limite, metoda folosită a dat posibilitatea obținerii unor date importante referitoare la dezvoltarea unor procese la scară microscopică, cum ar fi de exemplu formarea celulelor de diaclacă, poligonizarea, formarea sublimitelor, apariția subgraniților, etc.

În capitolul 3 sunt prezentate pe larg experimentările efectuate pe otelul Pe-2. Si procesul în tehnologia de fabricare a benzilor electrotehnice cu graniță orizontală.

Pe banda luminată la cald și normalizată s-a obținut componente de textură (320) [100] și (110) [100] preponderentă fiind ultima. Corelând aceste rezultate cu micrografiiile structurii benzii se observă că la suprafața benzii există o structură de recristalizare, probabil datorită contactului cu cilindrii la luminare. Din această cauză apare majoritară componenta de recristalizare.

În tipul deformării, sistemele de alunecare se rotesc astfel încât să ajungă în poziția cu factorul solid mare. Pentru structura cristalină C.V.C. factorul solid mare corespunde sistemului de alunecare (110) [111], (111) [111]. Dacă deci se acceptă că în materialul deformat să se găsească textura de tipul (h 1) [111], analizând textura benzii deformate la rece cu difenite grade de deformare prin metoda figurilor de poli, s-a pus în evidență componente (100) [100], (111) [110], (112) [110] și (111) [111] și menționat faptul că determinarea componentelor de textură nu s-a făcut direct pe banda deformată la rece, ci după aplicarea unui tratament de recocere. Acest fapt a condus la obținerea unei stări de recristalizare corespunzătoare unui anumit grad de deformare. Din această cauză în texturi eveni utile care sunt de deformare că și componente de recristalizare.

Pentru a evidenția modul cum se formează textura de recristalizare primară s-a studiat procesul de recristalizare pînă în ajutorul microscopiei electronice. În vederea obținării unor informații cît mai detaliate, s-a simulat procesul de recristalizare prin

și prin încălzirea probei în microscop.

Datele obținute au fost complete cu studii efectuate pe probe supuse unui tratament de recristalinare în cărucior controlat.

Analiza efectuată a pus în evidență structura celulelor a materialului deformat : zone foarte mici de material cu rețea redistornicată, de diferite orientări, despărțite prin pereti de dislocații, alocajind acea zisă structură în mesajie.

La încălzirea materialului, rețeaua cristalini se relaxeză prin mișcarea dislocațiilor ; celulele cresc în dimensiuni și în urma procesului de poligonizare a dislocațiilor, se transformă în subgrupei care ulterior devin grăunți.

De asemenea, s-a evidențiat structura în benzi (zone cu densitate diferită de dislocații). La temperatură de recristalinare primară dislocațiile din aceste zone se eliberează formând linii la unghiuri mici.

O dată cu dezvoltarea grăunților echiazi, limitele la unghiuri mici trece în limite cristalizate la unghiuri mari.

In ceea ce privește orientarea grăunților în stare deformată la rece apare majoritar componenta (111) [211].

La încălzire în timpul recristalinării primare această componentă se generalizează prin transformarea componentelor slabă, ca de exemplu (113) [411] care trece în (111) [211]. Mai mult, procesul de apariție a facoi noi (germinarea și creșterea subgrupei) este evidentiat pe plan de tip (111) [211].

In cadrul procesului de recristalinare primară s-a evidențiat și existența unor grăunți (100) și (110) caracteristici texturii de recristalinare secundară. (110) [001], (100) [001].

Se poate afirma deci că în cazul procesului de recristalinare primară apar germonii structurii de recristalinare secundară. De asemenea un rol important îl are componenta (111)[211] care se formează în timpul deformării la rece, decarice se stie că orientarea (110) [001] se obține din (111) [211], prin rotirea cu un unghi de $+35^\circ$ și -35° în jurul unei axei comună. [110].

Faptul că grăunții de orientare (110) [001] se dezvoltă în cadrul procesului de recristalinare primară este pus pe seamă existenței particulelor de inclusiuni "structural active" și cunoscute și sub denumirea de inhibitori. Acestea se găsesc sub formă de particule fine, uniform distribuite în matrice.

Experimental s-a constatat că inclusiunile cu rol activ

cint de fier și fieriod cu roza medie de circa 300 ± 350 A, și cu o densitate medie de $10^{12} \pm 10^{13}$ p/cm³. La încălziri superoare, în intervalul $900 \pm 1200^{\circ}\text{C}$, particulele își modifică formă, dimensiunile și densitățile, și astăzi au dezvoltarea texturii "cub pe nucleu" densitatea de particule crește și pe particulele cu roza medie de fier și fieriod. La jumătatea temperaturii de 1400°C se proiectează / verifică și cu roza medie de circa 1600 ± 1700 A și o densitate de 10^9 p/cm³.

La acestea temperaturi nu se vede niciun sort de a schimbare de lahiere și dimpotrivă de stării care arată că există o adâncitură.

Sănii cu aceste particule atingând preferențial crucea zăriilor (110) [001] nu sunt încă cunoscuți și nu există multe teoria și ipoteze dar nici una nu a reușit să ducă o explicație satisfăcătoare. Dacă nevoim un studiu mai profund cu tehnici de lucru mai avansate.

In cîteva parte a lucrării se face o corelație a caracteristicilor structurale și cristalografice ale bozii și proprietățile magnetice finale. În studiul cooperativ pe două clase de calitate seznă măritorile:

- volumul de terțuri 60%, gradul de perfecționare al texturii și granulația finală influențând direct rezistența magnetică (permeabilitatea magnetică, ciclul de histeresi, pierderea magnetică totală);
- obținerea unor benzi de calitate ecuivalente la ferociosca sau transformatorice de putere și pierderi mici și stabilitate și, ca urmare rezultă o economie de energie electrică și de metale;
- fabricarea bobinelor electrotehnice și de calitate crescută de consecința la reducerea costului valutar național.

S I D E O C R A F I E

- /1/ Transactions of I.E.I.J Japonia, vol.17 p.604-Glo
- /2/ I.E.E.E. Transactions on Magnetics, SUA, vol. MAG 14 sept.1978
p.350-356
- /3/ Letton M, Metal Press, SUA, nr.6, mai 1975, p.1041
- /4/ Oteluri electrotehnico-Contrul de documentare si publicatii
tehnice al Industriei Metalurgice 1971
- /5/ B.V. Molotilov - Julful in otoleurile electrotehnice
- /6/ Austin J - "New Thoughts on Crystallization"
Metal Progress, mai 1963
- /7/ Cahn R - Recrystallization, Grain Growth and Martens, AIME
Jenner Series
- /8/ Dottor E, Zelik J - Trans AIME, 233, 1(1967)
- /9/ Bailey J, Biroch P - Proc Roy Soc 267, A 11(1962)
- /10/ Cahn J, Li - Jour Appl.Phys, 33, 2950 (1962)
- /11/ Burtay, Turnbull D - Recrystallization and Grain Growth in
Metals" Prog.in Metal Phys., 3, 226 (1958)
- /12/ Aust K, Dunn C.G. - Journal of Metals 1957, v.9 Nr.4, p.473
- /13/ Nielsen L.P. - Trans AIME, 1954, v.200 Nr.6, p.6084
- /14/ Becker B, Hertz D - J.Appl.Phys 1951, v.22 p.900
- /15/ Dunn G - Cold working Metals AIME, 1949 v.2 p.113
Acta Metall (1953) v.1 p.163 (1954) v.2 p.173
- /16/ Hertz L, Aust K. - Trans AIME 1960 v.216 p.602
- /17/ Pisicenco metalurgie Pod red. R.Cann, t.31, Mir 1966
(lb.ruad)
- /18/ Ost E , Rotor Dj, V. ob. "Sverbiistic metalii", S-Metallurgie
1966, n.105, n.123 (lb.ruad)
- /19/ Cohore C, Beck P - J.Appl.Phys.1958 v.29, p.1125
- /20/ Aust K. , Rotor J - Trans AIME, 1952, v.224 p.111
- /21/ Dottor E - J of Metals, 1960, Nr.1 p.32
- /22/ Sosolov D.L. i dr. - Gvardiovsk, Caijnoe iedstalistvo, 1961,
n.74 (lb.ruad)
- /23/ Brubakov N.L., Logachev N. - Pisicenco metalov i metalurgicheskoe
1960, t.26, nr.4, s.664 (lb.ruad)
- /24/ Avramov Iu., C i Georgian ARAK, 1965, t.165, nr.2 s.316
(lb.ruad)
- /25/ Brown J.R. - J.Appl.Phys, 1954, v. 9. p.399
- /26/ Matsushita Akiochi-Suzuki, L.I.J 1967, v.7. nr.5 p.238

- /27/ Borodkina N.M. - Zavodskie laboratoria, 1962, t.28 nr.6
s.608 (lb.rusdi)
- /28/ Vernerov G., Creven I. - Teoriya metalloeskikh materialov,
Metallurgia, 1966 s.654 (lb.rusdi)
- /29/ Schulz L.G. - J. Appl. Phys. 1949, v.20 N.11, p.1030-1038
- /30/ Dragg R.H., Peacock C.L. - J. Appl. Phys. 1964, v.35 nro.5, p.1322
- /31/ Spector E. - Zavodskie laboratoria, 1970, t.30 nr.8
s.999 (lb.rusdi)
- /32/ Borodkina N.M., Pocin V.J. - Zavodskie laboratoria, 1972,
t.37, nr.9 s.1105 (lb.rusdi)
- /33/ Reh. Bosorth - Physical Review, vol. 50 p.1076
- /34/ Reh. Bosorth - Physical Review, vol. 42 p.682
- /35/ Reh. Bosorth - Electrical Engineering (AIEE) vol.54 p.1251
- /36/ L.P.Tarasov and F. Litter - Physical Review, vol.52 p.355
- /37/ L.P.Tarasov - Physical Review, vol. 96, p.1251
- /38/ J.R. Hay, D.Furness - Trans. Am. Inst. Min., 212 (1958) p.709
- J. Appl. Phys. Suppl. 30 (1959) p.2205
- /39/ J.C. Flowers, J.P.Barnes - J. Appl. Phys. 38 (1967), p.1085
- /40/ B.V.Molotilov, T.B.Ianovskaya - JET, Akad. Nauk SSSR, seria
Fiz. 34 (1970) p.356
- /41/ W.H.Swift - Metal. Trans. nr.4 (1973), p.153
- /42/ G.L. Greenwood - Acta Met. nr.4 (1956), p.293
- /43/ V.Ya. Goldstein, R.D.Garrison, G.A. Javarone - Sov. Atomekhnika
SSSR, seria Fiz. 43 (1979) p.1407
- /44/ W.H.Swift - Metal. Trans. nr.4 (1973), p. 801
- /45/ J.C. Flowers - JEM Trans. of Hay et. Naga 19 (1979), p.1601
- /46/ J.Svejcek, E.Dorosil, P.Pull, R.Norty - Journ. Mat. and Phys.
Materials 19 (1980) p.45
- /47/ O.Aocel, G.Bonan - Mikrostruktura si frezorce interni la metale
Ed. Pola 1974
- /48/ David Hull. - Introduction to Dislocations
- /49/ Teoria obrazovania tsostur v metalakh i splavakh
- Moscow 1970 (lb.rusdi)
- /50/ J.L. altor, E.P. Eoch - Acta Metallurgica, vol.10, 1962
- /51/ C.J.Barret - Trans. Amer. Inst. Min. (Metall.) Engng 139
(1939), 137 (1940), 147 (1942).
- /52/ Hora Hu - Acta Metallurgica vol.10 (1962) p.1212
- /53/ Bi-ichi Furubayashi - Transactions JSIJ, vol.2 (1909) p.228
- /54/ H.Pujita - J. Phys. Soc. Japan, 16 (1961) p.597
- /55/ John Bayley - Electron Microscopy and Strength of Crystals
(1963) p.535
- /56/

- /56/ K. P. Androsov - Interpretation of Electron Diffraction Patterns
/57/ J. D. Eshrigton - Practical Electron Microscopy in Materials
/58/ S. Amelinckx - The Direct Observation of Dislocations
/59/ Tokuichi Matsushige - Transactions JSIJ, vol.7 (1967) p.19
/60/ H. C. Pielow - Transactions of the Metallurgical Society of AIME, vol.230 (1964) p.95
/61/ Tadomi Tada, Yu-ichi Furabayashi, Shin-ichirochi - Transactions JSIJ, vol.7 (1967) p.95, vol.6 (1966) p.290
/62/ Yutaka Inoue, Chuzo Kondo, Yo Ito, Hiroshi Shibusawa - Transactions JSIJ vol.23 (1963) p.440
/63/ Koh Nakanura, Akio Kaneko - Transactions JSIJ vol.13 (1973) p.170
/64/ Tokuichi Matsushige - Transactions JSIJ vol.8 (1968) p.410
/65/ R. V. Philip, R. B. Lechart - Transactions of the Metallurgical Society of AIME, vol.221 (1961) p.439
/66/ W. R. Hibbard Jr., R. F. Fully - Transactions of the Metallurgical Society of AIME, vol.221 (1961) p.336
/67/ L. M. Stassettites & Org. - Pol. Mat. 1970, nr.1 o.196 (1b.rodz.)
/68/ H. B. Tirkle - Pol. Mat. (1972) t.34 o.361 (1b.rodz.)
/69/ A. V. Seydel - Transactions of the Metallurgical Society of AIME (1959), vol.215, p.796
/70/ C. G. Dunn, J. L. Walter - Journal of Applied Physics vol.30 (1959) p.1067
/71/ C. G. Dunn - Journal of Applied Physics - vol.30 (1959) p.850
/72/ P. K. Kob - Transactions of the Metallurgical Society of AIME vol.215 (1959) p.1043
/73/ J. L. Walter, C. G. Dunn - Transactions of the Metallurgical Society of AIME vol.215 (1959) p.465, vol.216 (1960) p.1033
/74/ P. K. Kob, C. G. Dunn - Transactions of the Metallurgical Society of AIME vol.215 (1959) p.65
/75/ Hsun Hu - Transactions of the Metallurgical Society of AIME vol.215 (1959) p.330
/76/ H. C. Pielow - Journal of Applied Physics vol.30 (1959) p.361
/77/ R. G. Aspden - Transactions of the Metallurgical Society of AIME vol.215 (1959) p.986
/78/ H. P. Frost, L. P. Cook, C. G. Dunn - Transactions of the Metallurgical Society of AIME vol.215 (1959) p.90
/79/ D. Ball, G. Mirza, L. Pogorely, A. Constantinescu - Metallurgia nr.6 (1961) p.255
/80/ G. D. Rieck - Metallurgical Transactions vol.2 (1971) p.349

- /81/ J. Williams - Acta Metallurgica vol.6 (1958) p.434
/82/ P. Bovland - J. Inst. Metals. vol.42 (1970) p.455
/83/ L.K. Jetter, R.O. Williams - J. Appl. Phys., vol.29 (1956) p.368
/84/ S. S. Gorelik - Recristallization of metallics i splavov, K. Metallurgia (1967) (lb.ručn.)
/85/ A. V. Guriev, L. Peplitski - Temperaturnye mikroskopicheskie issledovaniya i splavov, K. Metallovedeniye (1974) (lb.ručn.)
/86/ J. T. Bookar, J. A. Charles - Iron and Steel Institute vol.210 (1972) p.76
/87/ J. F. Baratry - Acta Metallurgica vol.5 (1967) p.101
/88/ A. Clément, G. Durand - J. Appl. Crystallogr. vol.8 (1975) p.509
/89/ Recovery and Recrystallization of Metals" Ed. by I. Bannet. New York, Interscience Publ., (1963)
/90/ J. Hocconor Jr. "Recrystallization of Metallic Materials" (1978) p.40
/91/ Degita J. - J. of Metals, vol.9 (1971) p.17
/92/ Inogaki N., Iida T. - "Texture", 1, 1972, p.129
/93/ Kotcherova J. K. - Fizika metallov i metallovedenie 1962 p.14
/94/ Matsushita T. - Transactions JSIJ, vol.6 1968, p.409
/95/ Aronsson B., Granö L - Metallurgical Transactions, vol.2 (1971) p.1087
/96/ Ueda K., Kondo I. - Trans. JSIJ vol.13 (1975) p.174
/97/ Michalek S., Demmann G., Michalek E. - Acta Metallurgica, vol.32 (1984) p.2115
/98/ Gorolik SS - "Recrystallization" in Metals Alloys (1978) p.326
/99/ Gorobetshev V., Molotilov B., Sosulin V. - Fizika metallov i metallovedeniya, 1970, p.29 (lb.ručn.)
/100/ Lifshits B. G., Novikov V., Roschina S. S. - Fizika metallov i metallovedeniya (1972) p.34
101/ R. J. Mallinina i drs. "Ciornais metallurgia" t.11 (1978) s.107 (lb.ručn.)
/102/ R. J. Mallinina - "Ciornais metallurgia" t.1 (1981) s.83 (lb.ručn.)
/103/ B. G. Lissicov, R. J. Mallinova - "Ciornais metallurgia" t.5 (1978) s.106 (lb.ručn.)
/104/ B. G. Lissicov i drs. - "Ciornais metallurgia" t.2 (1978) s.120 (lb.ručn.)
/105/ B. G. Balandin i drs. - Fizika metallov i metallovedeniya, t.49 (1981) s.590 (lb.ručn.)

- /106/ L.Grof - Ciocanici metallurgia t.5 (1981) c.104 (lb.rus)
- /107/ J.e.K. Kennedy, Pelle Smith, R.C.Sherman - Metallurgical Transactions vol.4 (1973) p.629
- /108/ L.e. Seiko i dr. - Pisica metalov i metallocedonie t.51 (1981) c.262 (lb.rus)